

PROJET

FIN ETUDES

PROJET

: Conception d'un Chateau d'Eau de 100 m³
dont la côte du Radier c'est à 10m IGN
suivant les Règles B.A.E.L. 80

Conçu par

CONCEPTEUR : Omar CISSE

GENIE : CIVIL

DATE : JUIN 1987.

DIRECTEUR DE PROJET : Mr AQUIN

REMERCIEMENTS

Je tiens à remercier tout d'abord Mr Thomas Aquin, professeur à l'Ecole Polytechnique de Thies, mon directeur de projet pour sa constante disponibilité et son soutien sans relâche.

Je remercie ensuite :

- Mr Elhadji Thiam et Mr Aliou Diack, professeurs à l'Ecole Polytechnique pour leurs conseils multiformes et leur soutien manifeste du fait des nombreux documents qu'ils mirent à ma disposition ;
 - Mr Mbacké, ingénieur à la SVTP pour sa bienveillance ;
 - Mr Aziz Guèye, étudiant en 5^e Civil pour son aide au centre de calcul ;
 - Mr Khouma, étudiant en Première Année ;
- Et enfin, tous ceux qui ont du près ou du loin contribué à la réussite de cette étude.

SOMMAIRE

Ce présent rapport est la synthèse de l'étude technique du château d'eau de 100 m³, de forme cylindrique dont le côté du radier est à +10m I.G.N et bâti à BATA dans la région de Tambacounda.

Ce dimensionnement s'est fait suivant les règles B.A.E.T 80, mis à jour 83. Le choix de forme a été commandé par la petiteur de la curv (100 m³) et le faible économie que' entraînerait, en conséquence, la mise en place de coupoles comme toiture et fond de curv comparé aux coûts tributaires à leur coffrage et coulage.

Ainsi, j'ai eu à choisir les dimensions de différents éléments du château et à calculer leurs armatures respectives

Pour terminer, j'ai eu à conseiller des techniques pratiques de préfabrication de la curv.

TABLE DES MATIERES

	Page
Chapitre I INTRODUCTION	1
Chapitre II Determination préliminaire des dimensions de la curv	2
Chapitre III Design de la couverture	4
3-1 Choix des armatures au niveau du contour	5
3-2 Choix des armatures au droit du moment en travée	6
3-3 Verifications suivant les états limites de service.	7
a) Compression du béton	7
b) Ouverture des fissures	8
3-4 Longueur de développement (b_d) et	9
Longueur de recouvrement (b_r)	9
3-5 Effort tranchant	
Chapitre IV Calcul des armature dans la paroi cylindrique	11
4-1 - Appel théorique et calcul des efforts et absisses	11
4-2 Calcul des armatures	18

	Page
4-2-1 Armatures longitudinales: cercles	18
4-2-2 Choix des armatures transversales	21
Chapitre V : Calcul des armatures dans le radier.	
5-1 - Calcul de la contrainte dans le béton à la base de la paroi	24
5-2 - Calcul des moments de design dans le radier	24
5-3 - Calcul des aciers longitudinaux	26
5-4 - Calcul des aciers transversaux	29
- 5-5 - Vérification suivant les états limites de service	30
5-6 - Longueur de scellement - Points d'arrêt	33
Chapitre VI. Calcul des colonnes, traverses et semelles:	
6-1 - Introduction	34
6-2 - Calcul des Poutres	38
6-2-1 Traverse supérieure	38
6-2-2 Traverse médiane	44
6-2-3 Traverse inférieure	47
6-3 Calcul des Colonnes	49
6-3-1 Poteau I	49

6 - 3 - 2	Poteau <u>II</u>	52
6 - 3 - 3	Poteau <u>III</u>	54
6 - 3 - 4	Calcul des stries	54
6 - 3 - 5	Longueur de recouvrement	56
6 - 4	Calcul des semelles	57
6 - 4 - 1	Choix préliminaire des dimensions de la semelle	57
6 - 4 - 2	Calcul des armatures	58
6 - 4 - 3	Détermination des longueurs de barres	60
Chapitre <u>VII</u>	Prefabrication du cylindre du Reservoir	61
Chapitre <u>VIII</u>	Conclusion et Recommandations	64
Annexes :		
Annexe 1 : Détermination des valeurs de α , β et $1000 E_s$ en fonction de n		67
Annexe 2 : Figures pour déterminer		

les efforts et leurs abscisses dans la paroi -- 69

Annexe 3 - Diagramme des efforts

dans la cuve - - - - 73

Annexe 4 - Elements de calcul des

Colonnes - - - - 76

Annexe 5 - Figures d'illustration des
éléments préfabriqués

de la cuve - - - 83

Annexe 6 - Efforts des membrures
determinés dans le CADRE
de DESIGN par le logiciel

P-FRAME - - - - 86

Annexe 7 - Plans de ferrailage - - 87

Annexe 8 - Tableaux et notices - - 89
divers

Bibliographie - - - - - 96

Dans le cas du programme de l'hydraulique villageoise et pastorale du Sénégal, il a été confié à la S.V.T.P la réalisation de chateaux d'eau de faible capacité (inférieur à 200 m^3) appropriée aux petites communautés rurales des zones reculées du Sénégal .

L'étude du chateau d'eau que j'ai effectuée est inscrite dans ce cadre (100 m^3) et ce dernier est situé en région de Tambacounda .

J'ai effectué cette étude en Règles BAEL 80 (Norme AFNOR) pour des raisons d'uniformité car la SVTP est française et au Sénégal les méthodes dimensionnement française sont les plus répandues et aussi parce que les Règles BAEL sont naturellement sorties et ne sont obligatoires que depuis peu en France .

Du fait que la SVTP s'est chargée de beaucoup de petits ouvrages de cette nature, il a fallu générer une méthode optimale de fabrication en série, ce qui s'avère possible par la préfabrication, surtout des éléments du cylindre. Cette étude qui peut être assimilé à un prédimensionnement, pourrait avec les apports d'expérience, être améliorée en vue de la rendre très opérationnelle mais elle aura posé les jalons du dimensionnement des réservoirs avec les Règles BAEL .

Chapitre 2 Determination Preliminare des Dimensions de la Cuve

Des études menées par Fonlladosa ont permis d'établir des relations entre certaines dimensions de la cuve.

Exemple: relation entre d : diamètre intérieur et V : volume de la cuve.

$$d = 1.405 \sqrt[3]{V}$$

Comme nous disposons d'un réservoir de $100m^3$ alors

$$d = 1.405 \sqrt[3]{100} m = 6.52 m$$

Ainsi nous allons pouvoir déterminer la hauteur de l'eau dans le réservoir : h_0

$$h_0 = \frac{V}{\frac{\pi d^2}{4}} \rightarrow h_0 = \frac{100}{\frac{3.14 \times 6.52^2}{4}} = 3.00 m$$

D'après ce même Fonlladosa, la hauteur libre du niveau de l'eau jusqu'à la couverture est déterminée par la relation suivante: $h_1 = 0.10 d$

$$\text{donc } h_1 = 0.65 m$$

Ainsi la hauteur totale du cylindre devient: h

$$h = 3.00 m + 0.65 m = 3.65 m$$

Des règles de bonne pratique nous incitent à obtenir au moins une hauteur h pas trop différente du diamètre ainsi nous allons réajuster ces deux grandeurs

En définitive nous allons considérer: $h = 4.75 m$
et $d = 5.5 m$

Pour la couverture du cylindre, du fait des faibles dimensions de ce réservoir, de la difficulté d'opter pour le choix des voûtes et des faibles surcharges d'exploitation sur la toiture, j'ai préféré une dalle plate mince.

Comme épaisseur de la dalle couverture, j'ai choisi 120mm

Pour la paroi, j'ai choisi une épaisseur de 150mm constante qui est supérieure au minimum de 70mm ou 120mm d'après le règlement de la chambre syndicale de France.

Cette dimension ferait l'affaire dans le cas où on aurait au niveau de la paroi deux (2) lits de cercles

Pour le radier, nous allons aussi choisir une dalle plate car l'ération de coupoles serait très onéreuse alors que l'économie sur le matériau, du fait de la petiteur des dimensions du cylindre, ne serait pas appréciable.

Son épaisseur est prise égale 250mm.

A cet égard le diamètre extérieur du cylindre ; D sera :

$$D = d + 2 \times 0.150 \text{ m} = 5.80 \text{ m}$$

Chapitre 3 Design de la couverture

La surcharge à considérer dans ce cas est de 1 kN m^{-2} (surcharge minimale) car elle ne prévoit que le cas où des réparations auraient nécessité la présence de personnes au dessus.

Comme charge permanente, nous considérer uniquement le poids mort de la dalle

$$G = 25 \text{ kNm}^{-3} \times 0.12 \text{ m} = 3.0 \text{ kNm}^{-2}$$

$$Q = 1 \text{ kNm}^{-2}$$

D'après "Concrete Information", les moments sont les suivants :

- moments radiaux : M_r

- au centre $M_r = +0.075 p l^2$

- au contour $M_r = -0.125 p l^2$

avec $l = \text{rayon du cylindre}$ donc $l = \frac{d}{8}$

- moments tangentiels : M_t

- au contour $M_t = -0.025 p l^2$

- au centre $M_t = 0.075 p l^2$

Le sont des moments par unité (m) de longueur.

Donc nous allons recalculer les armatures :

- en traverse avec $M = 0.075 \frac{d^2}{4} \cdot p$ par m de longueur

- au contour avec $M = -0.125 \frac{d^2}{4} \cdot p$ par m de longueur.

Voir Annexe: 1 fig:

p = la charge pondérée au niveau de la couverture

$$p = 1.35 G + 1.5 Q = 1.35 \times 3.0 + 1.5 \times 1.0 = 5.55 \text{ kNm}^{-2}$$

J'aurais calculer les moments sous charges mortes (M_m) et sous charges vives (M_v) pour le centre du courroie et pour le contour

. Au centre :

$$M_m = 1.71 \text{ kNm par m}$$

$$M_v = 0.57 \text{ kNm par m}$$

donc le moment pondéré $M = 1.71 \times 1.35 + 1.5 \times 0.57 = 3.2 \text{ kNm par m}$

. Au contour

$$M_m = -2.9 \text{ kNm par m}$$

$$M_v = -0.95 \text{ kNm par m}$$

$$M = 1.35 \times 2.9 + 1.5 \times 0.95 = 5.4 \text{ kNm par m}$$

Comme armatures, nous allons choisir $\phi 8 \text{ mm}$. (valable car inférieur $\frac{h_0}{10} = 12 \text{ mm}$)

3.1 • Choix des armatures au niveau du contour

$\phi 8$ Acier Fe E 40 type I : aciers à haute adhérence

$$d = h - c - \frac{\phi}{2} \quad \text{avec } c = \text{protection} = 30 \text{ mm}$$

$$d = 120 - 30 - \frac{8}{2} = 86 \text{ mm}$$

La détermination des armatures se fera toujours en considérant une bande de largeur 1m passant par le centre de la couverture. Donc, nous allons considérer une bande radiale.

Le moment de design $= M = 5.4 \text{ kNm par m de largeur}$

$f_{c28} = 25 \text{ MPa}$ = résistance du béton en compression à 28 jours

$$\bar{\sigma}_b = \text{Contrainte du béton} \quad \bar{\sigma}_b = \frac{f_{c28} \times 0.85}{\gamma_b}$$

avec γ_b = coefficient de sécurité = 1.5 (situations non accidentelles)

$$\text{Ainsi } \bar{\sigma}_b = \frac{0.85 \times 25}{1.5} = 14.17 \text{ MPa} = 14.2 \text{ MPa}$$

$$N = \frac{M}{\bar{\sigma}_b \cdot b \cdot d^2} = \frac{5.4 \times 10^3}{14.2 \times 100 \times 8.6^2} = 0.0514$$

$M_l = 0.392$ pour FeE40 type I \rightarrow

si $\mu < NL$ donc $\sigma_s = 348 \text{ MPa}$ avec $\sigma_s = \frac{f_e}{\gamma_s}$

avec γ_s : coefficient de sécurité (dans les cas autres que accidentels $\gamma_s = 1.15$)

Pour $\gamma = 0.0514 \rightarrow \mu < 0.392 \rightarrow \sigma_s = 348 \text{ MPa}$
car $\sigma_s = \frac{f_e}{\gamma_s} = \frac{400}{1.15} \text{ MPa} = 348 \text{ MPa}$

D'après Annexe 1 figure tableau 1

$$\beta = 0.973$$

A = section d'acier en cm^2

$$A = \frac{M}{B d \sigma_s} = \frac{5400}{0.973 \times 8.6 \times 348} = 1.85 \text{ cm}^2$$

donc nous allons choisir $4 \phi 8 = 2.01 \text{ cm}^2$

Donc sur une bande de 1m nous avons 4 barres $\phi 8$. Donc l'écartement des barres sur une nappe est $\frac{1600}{4} \text{ mm} = 250 \text{ mm} \leq 3 \times h = 3 \times 120 \text{ mm} = 360 \text{ mm}$
 $\Downarrow 33 \text{ cm}$

je rappelle que ces barres sont placées radialement.

3-2 . Choix des armatures au droit du moment en traction

Même procédure que précédemment.

$$M = 3.2 \text{ kNm par m}$$

Choisissons une largeur de bande de 1m.

$$\mu = \frac{3200}{14.2 \times 100 \times 8.6} = 0.0305 < 0.392 = NL$$

donc $\sigma_s = 348 \text{ MPa}$

$$\text{donc } \mu = 0.0305 \rightarrow \beta = 0.984$$

$$A_s = \frac{3200}{348 \times 8.6 \times 0.984} = 1.087 \text{ cm}^2$$

$$\rightarrow 3 \phi 8 = 1.51 \text{ cm}^2$$

Donc nous aurons un espace de $E = 300 \text{ mm}$

$$\begin{aligned} E &\leq 330 \text{ mm} \\ &\leq 3 \times 120 \text{ mm} \end{aligned}$$

. Vérification suivant les états limites de service

a. Compression du béton

La contrainte limite est de $0.6 f_{c28} = 15 \text{ MPa}$

charge de service : $G = 3 \text{ kN/m}^2$; $Q = 1 \text{ kN/m}^2$

* Au droit du moment en contour : $A = 4 \phi 8 = 2.01 \text{ cm}^2$

$$M = -3.8 \text{ kNm / m}. \quad \text{Pour une bande de } 1 \text{ m}$$

$$M = -3.8 \text{ kNm} \quad P_1 = \frac{100 A}{bd} = \frac{100 \times 2.01}{100 \times 8.6} = 0.234$$

D'après Annexe 1 figure

$$\beta_1 = 0.923 \quad k = 0.020$$

$$\sigma_s = \frac{M}{bdA} = \frac{3800}{0.923 \times 8.6 \times 2.01} = 238 \text{ MPa}$$

$$\sigma_b = k \sigma_s = 0.020 \times 238 \text{ MPa} = 4.8 \text{ MPa}$$

σ_b : contrainte dans le béton

σ_b^{-1} = contrainte maximale admissible dans la bâton.

$$\sigma_b^{-1} = 0.6 f_{c28} = 0.6 \times 25 = 15 \text{ MPa}$$

$\sigma_b < \sigma_b^{-1}$ donc il n'est pas nécessaire de prendre des armatures compressives.

* Au droit du moment en trave

$$M = 2.3 \text{ kNm}$$

$$A = 3 \phi 8 = 1.51 \text{ cm}^2 \quad P_1 = \frac{100 \times 1.51}{100 \times 8.6} = 0.175$$

$$\rightarrow \beta_1 = 0.933 \quad k = 0.017$$

$$\sigma_s = \frac{2300}{0.933 \times 8.6 \times 1.51} = 189.8 \text{ MPa}$$

$$\sigma_b = 0.017 \times 189.8 \text{ MPa} = 3.23 \text{ MPa} < \sigma_b^{-1}$$

donc les armatures de la section sont adéquates

b. Ouverture des fissures

la fissuration est considérée comme très préjudiciable
comme nous savons des rauers FeE40 type I

$$f_e = 400 \text{ MPa} \quad \gamma = 1.6$$

η = coefficient de fissuration

la contrainte d'traction des armatures tendues doit être inférieure à minimum de $0.5 f_e$ et 110γ
donc dans notre cas $\sigma_s \leq 200 \text{ MPa}$; 176 MPa
 $\rightarrow \sigma_s \leq 176 \text{ MPa}$

* Au droit du moment sur contour

Determinons les armatures requises avec $\sigma_s = 176 \text{ MPa}$

$$M_1 = \frac{3800}{100 \times 8.6^2 \times 176} = 0.00292 \quad \rightarrow \beta_1 = 0.910; k = 0.025$$

$$\sigma_b = k \sigma_s = 0.025 \times 176 \text{ MPa} = 4.4 < \sigma_b^{-1}$$

$$A_2 = \frac{M}{\beta_1 d \sigma_s} = \frac{3800}{0.910 \times 8.6 \times 176} = 2.76 \text{ cm}^2$$

$$A_2 > A = 2.01 \text{ cm}^2$$

Donc on choisira $6 \phi 8 \rightarrow 3.02 \text{ cm}^2$

$$E = \text{Espacement} = \frac{1000}{6} \text{ mm} = 167 \text{ mm}$$

donc nous allons prendre $E = 160 \text{ mm}$

* Au droit du moment sur travee

$$M_1 = \frac{2300}{100 \times 8.6^2 \times 176} = 0.00177 \quad \rightarrow \beta_1 = 0.930 \\ k = 0.018$$

$$\sigma_b = 0.018 \times 176 = 3.17 \text{ MPa} < \sigma_b^{-1}$$

$$A_2 = \frac{2300}{0.930 \times 8.6 \times 176} = 1.64 \text{ cm}^2 > 1.51 \text{ cm}^2$$

\rightarrow nous allons choisir $4 \phi 8 \rightarrow 2.01 \text{ cm}^2$
 $E = 250 \text{ mm}$

la distance entre axe des armatures d'une même nappe doit être $\leq 20\text{cm}$ et $1.5 \cdot d_{mc} \leq 20\text{cm}$ et 18cm

Ceci est vérifié pour les barres au contour car si les barres au droit de la trave ne la respecte pas

Donc nous allons prendre pour les barres au niveau de la trave $E = 180\text{mm}$ \rightarrow nous aurons $6 \phi 8$ sur une largeur de bande de 1m .

3-4 • Longueur de développement (L_d) et longueur de recouvrement (L_r)

- Longueur de développement

- Au niveau du contour

$$L_d = 1/4 \cdot d = 1/4 \times 5.5\text{m} = 1.375\text{m}$$

- Au niveau de la trave

Comme les moments en trave s'annulent à $0.65 \cdot R$ à partir du centre. Nous allons prendre la longueur totale sur laquelle les barres doivent être réparties égale à : $2 \times 0.65 \times 2.75\text{m} = 3.6\text{m}$ passant par le centre et passant par 2 directions orthogonales

Ainsi nous pouvons arrêter la moitié des barres à cette distance donc à 1.8m du centre, l'autre moitié est prolongée jusqu'au contour.

- Longueur de recouvrement

$$L_r = 40 \phi \quad (\text{Fe E } 40)$$

comme $\phi = 8\text{mm}$ partout donc $L_r = 40 \times 8 \text{ mm} = 320\text{mm}$

3-5. Effort tranchant

$$T_r = \text{effort tranchant} = -0.5 q a f \quad (\text{voir Annexe})$$

avec $a = \text{rayon de la plaque}$

$$f = \frac{r}{a} \quad r = \text{rayon de la plaque}$$

$$\rightarrow T_r = -0.5 q r / m$$

$$q = \text{charge pondérée} = (1.35 \times 3 + 1.5 \times 1.0) \text{ kNm}^{-2} = 5.55 \text{ kNm}^{-2}$$

T_f est calculé aux faces

$$T_f = -0.5 \times 5.55 \times 2.75 = -7.63 \text{ kN} \text{ par m de largeur}$$

En choisissant une bande de 1 m de largeur

$$T_{\max} = -7.63 \text{ kN}$$

* Calcul de τ_u : contrainte tangentielle

$$\tau_u = \frac{V_u}{b \cdot d} \quad \text{avec } V_u = T_{\max} = 7.630 \text{ kN}$$

$$\text{donc } V_u = 7630 \text{ N}$$

$$\tau_u = \frac{7630}{100 \times 86} = 0.089 \text{ MPa}$$

Comme pour les dalles, aucune armature transversale n'est requise quand $\tau_u < 0.05 f_{c28}$

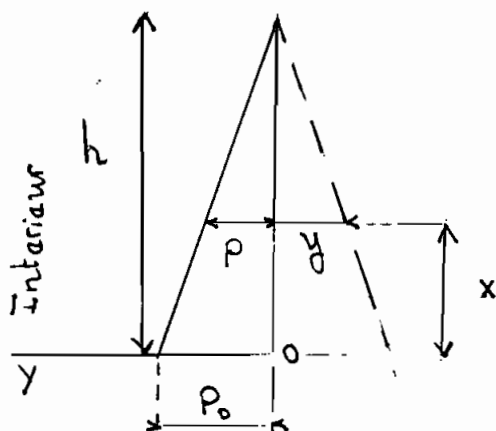
$$0.05 f_{c28} = 1.25 \text{ MPa} > 0.089 \text{ MPa}$$

donc aucune armature transversale n'est nécessaire

Chapitre:4Calcul des armatures dans la paroi cylindrique4-1. Rappel théorique et calculs des efforts et abscisses

Nous sommes devant un cas qui comprend aussi bien un encastrement de la paroi dans le radier qu'un autre de cette même paroi dans la courbure.

Toutefois, il faut reconnaître que l'influence du radier est plus appréciable.



Si le déplacement des extrémités inférieures et supérieures des poutres n'était nullement entravé, la paroi cylindrique avant remplissage du réservoir, devient tronconique sous l'effet de la pression hydrostatique, comme le montre la figure ci-dessus.

La déformation radiale au niveau x au dessus du fond est : $y = -\frac{P R \times R}{E \alpha} = -\frac{P_0 (h-x) R^2}{h E \alpha}$

avec E = module d'élasticité du béton

α = coefficient de la paroi

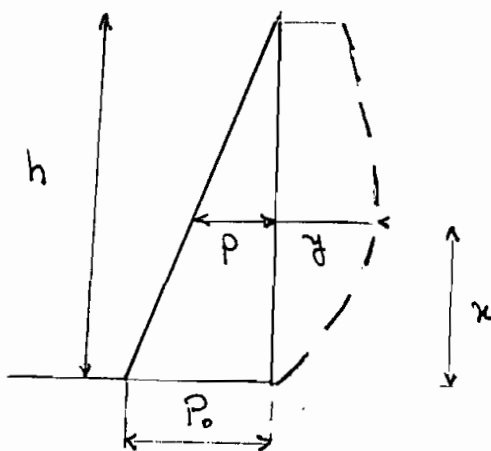
R = rayon du feuillet moyen de la paroi

P_0 = pression au niveau de la base de la paroi

P_0 = part de la pression du liquide équilibrée par les pontres

p_2 = part du liquide équilibrée par les anneaux
 p = pression au niveau.

Quand la paroi est encastrée au radier, nous aurons la figure ci-dessous



$\frac{d^2 M}{dx^2}$ avec M moment fléchissant dans les poutres

$M = EI \frac{d^2 y}{dx^2}$ en négligeant ν le coefficient de poisson

$$p_1 = -EI \frac{d^4 y}{dx^4}$$

la contrainte dans l'anneau est $p_2 = R$ et le déplacement correspondant $y = -\frac{p_2 R^2}{Ec} e^{-\beta x}$

$$\text{On a donc } p = p_1 + p_2$$

$$\rightarrow EI \frac{d^4 y}{dx^4} + E \frac{\alpha}{R^2} y + p = 0$$

$$\text{Comme } \frac{h^2}{ad} = 23.4 > 16$$

donc l'équation s'écrit : $y = A e^{-\beta x} \cos \beta x + B e^{-\beta x} \sin \beta x$

$$\text{avec } \beta = \frac{1.3165}{\sqrt{Ra}}$$

$$K = \frac{E_a}{R^2}$$

Si le réservoir est complètement plein

$$y = A e^{-\beta x} \cos \beta x + B e^{-\beta x} \sin \beta x - \frac{P_0(h-x)}{Kh}$$

En tenant compte de l'ancastrement de la paroi dans le radiateur uniquement, nous aurons dans notre cas :

$$\beta = \frac{1.3165}{\sqrt{2.75 \times 0.15}} = 2.049$$

Dans notre cas $y = 0$, $\frac{dy}{dx} = 0$ pour $x = 0$

$$\rightarrow A = \frac{P_0}{k} \quad B = \frac{P_0}{k} \left(1 - \frac{1}{\beta h} \right)$$

On posera :

$$\varphi(\beta x) = e^{-\beta x} (\cos \beta x) + e^{-\beta x} \sin \beta x$$

$$\psi(\beta x) = e^{-\beta x} (\cos \beta x - \sin \beta x)$$

$$\theta(\beta x) = e^{-\beta x} \cos \beta x$$

$$\xi(\beta x) = e^{-\beta x} \sin \beta x$$

$$\text{Donc } p_1 = P_0 \left[\theta(\beta x) + \left(1 - \frac{1}{\beta h} \right) \psi(\beta x) \right]$$

$$M = \frac{P_0}{2\beta^2} \left[-\left(1 - \frac{1}{\beta h} \right) \theta(\beta x) + \xi(\beta x) \right]$$

$$T = \frac{P_0}{2\beta} \left[\psi(\beta x) + \left(1 - \frac{1}{\beta h} \right) \varphi(\beta x) \right]$$

A l'ancastrement on a $p_1 = P_0$; $p_2 = 0$

$$M_0 = -\frac{P_0 \sqrt{R_a}}{3.464} \left(1 - \frac{\sqrt{R_a}}{1.3165 h} \right)$$

$$T_0 = \frac{P_0 \sqrt{R_a}}{2.633} \left(2 - \frac{\sqrt{R_a}}{1.3165 h} \right)$$

La méthode de Labelle qui avait donné les résultats antérieurs suppose l'encastrément parfait de la paroi dans le radier, ce qui est en fait une limite supérieure car l'encastrément n'est qu'élastique. Ainsi, nous allons admettre la méthode de Hangan - Soare.

$$y = \frac{\delta R^2}{Ee} (h-x) - \frac{\delta R^2 h}{Ee} e^{-\beta x} \cos \beta x - \frac{M_0}{2EI\beta^2} e^{-\beta x} \sin \beta x$$

M_0 et T_0 sont respectivement le moment et l'effort tranchant à l'encastrément.

Nq = effort courant les cales

$$Nq = \delta R (h-x) - \delta R h e^{-\beta x} \cos \beta x - 2 M_0 R \beta^2 e^{-\beta x} \sin \beta x$$

$$M = \frac{\delta h}{2\beta^2} e^{-\beta x} \sin \beta x + M_0 e^{-\beta x} \cos \beta x$$

$$T = -\frac{\delta h}{2\beta} e^{-\beta x} (\cos \beta x - \sin \beta x) - M_0 \beta e^{-\beta x} (\cos \beta x + \sin \beta x)$$

Moment à l'encastrément inférieur : M_0

$$M_0 = K \delta h^3$$

$$\delta = \text{poids volumique de l'eau} = 10 \text{ kN m}^{-3}$$

K étant donné en abaque par le biais de $\frac{e}{e'}$, et βh ,

K peut aussi être trouvé par l'équation suivante :

$$\left(\frac{e}{e'}\right)^3 k^{3/2} + \frac{3}{2\beta h} \cdot k - \frac{3}{4(\beta h)^3} \left(1 - \frac{1}{\beta h}\right) = 0$$

En utilisant les abques, nous avons :

$$\frac{e}{e'} = \frac{150}{250} = 0.6 = \operatorname{tg} \varphi \rightarrow \varphi = 34.4^\circ$$

$$\beta h = 2.049 \times 4.75 = 9.73$$

$$\text{D'après figure 3} \rightarrow k = 0.0042$$

$$M_0 = 0.0042 \times 10 \times 4.75^3 = 4.5 \text{ kN m/m}$$

* Abscisse x_0 du moment de flexion nul.

$$x_0 = k_0 \cdot h$$

D'après figure 2

$$k_0 = 0.068$$

$$\text{D'après les calculs : } k_0 = \frac{\arctg [2k (\beta h)^2]}{\beta h}$$

$$k_0 = \arctg [2 \times 0.0042 \times (2.049 \times 4.75)^2] / (2.049 \times 4.75)$$

$$k_0 = 4.396^\circ = 0.077$$

$$x_0 = 0.077 \times 4.75 = 0.36 \text{ m}$$

* Abscisse x_1 du moment de flexion négatif maximal

$$x_1 = k_1 \cdot h$$

$$k_1 = \frac{\pi}{4\beta h} + k_0 = \frac{3.14}{4 \times 2.049 \times 4.75} + 0.077 = 0.158$$

$$x_1 = 0.158 \times 4.75 = 0.75 \text{ m} \quad (\text{Voir figure 4})$$

* Moment de flexion négatif maximal : M'

$$M' = -k' f h^3$$

$$k' = k e^{-\beta x_1} \left[\cos \beta x_1 - \frac{1}{2k(\beta h)^2} \sin \beta x_1 \right]$$

$$k' = 0.0042 \cdot e^{-2.049 \times 0.75} \left[\cos(2.049 \times 0.75) - \frac{\sin(2.049 \times 0.75)}{2 \times 0.0042 \times (2.049 \times 4.75)^2} \right]$$

$$k' = 0.00087$$

$$M' = -0.00087 \times 10 \times 4.75^3 \text{ kNm/m} = -0.93 \text{ kNm/m}$$

(Voir figure 6)

* Abscisse x_2 de l'effort N_q maximal enrouant les cercles

$$x_2 = k_2 \cdot h$$

D'après la figure 1

$$, k_2 = 0.249$$

$$x_2 = 0.249 \times 4.75 \text{ m} = 1.18 \text{ m}$$

* Effort N_q maximal durant les carbes

$$N_q \text{max} = k'' S R h$$

D'après figure $k'' = 0.775$

$$N_q \text{max} = 0.775 \times 10 \times 2.75 \times 4.75 \text{ KN/m}$$

$$N_q \text{max} = 101.2 \text{ KN m / m} \quad (\text{Voir figure 5})$$

Ces valeurs ont été trouvées sans tenir compte du facteur de majoration des charges hydrostatiques à l'état limite ultime de résistance. Comme le niveau de l'eau varie peu dans le réservoir, nous pouvons considérer la pression d'eau comme une charge permanente donc le coefficient de pondération sera de 1.35

$$\text{donc : } M_o = 1.35 \times 4.5 \text{ KN m / m} = 6.07 \text{ KN m / m}$$

$$M' = -1.35 \times 0.93 \text{ KN m / m} = -1.25 \text{ KN m / m}$$

$$N_q \text{max} = 1.35 \times 101.2 \text{ KN/m} = 136.6 \text{ KN / m}$$

Pour tenir compte de l'encaissement de la paroi avec la couverture, nous allons utiliser les tables de "Concrete Information" dans la section Wall with moment Applied at Top.

les moments et tensions ainsi déterminés sont ajoutés (Principe de superposition) à ceux déjà trouvés quand nous avons considéré uniquement l'encaissement de la paroi dans le radier.

Nous allons utiliser les tables VI et XI pour déterminer les moments et les tensions quand la paroi est encastrée dans la couverture

$$M = 5.4 \text{ kN.m} \text{ par m de largeur}$$

$$\frac{MR}{H^2} = \frac{5.4 \times 2.75}{4.75^2} = 0.66 \text{ kN/m}$$

$$\frac{H^2}{Dt} = \frac{4.75^2}{5.5 \times 0.15} = 27.3 \quad \text{compris entre 24 et 32}$$

Voir tableau 3 les moments et tensions obtenus aux différentes hauteurs

Les valeurs obtenues ont déjà pondérées car 5.4 kN.m/m est obtenu après pondération

Sous charges de service

$$\frac{MR}{H^2} = \frac{3.8 \times 2.75}{4.75^2} = 0.46 \text{ kN/m}$$

4-2. Calcul des armatures

4-2-1 . Armatures horizontales : cercles

Nous allons commencer par les tranches de la base en allant vers le haut

Il nous allons choisir des armatures en Acier Fe E 40 type 1

$$\gamma_s = 1.15$$

La σ_{10} correspondant à un allongement de 10% est égal, pour l'acier Fe E 40 type 1, à $\sigma_s = 348 \text{ MPa}$

Tranche I

$$A = \frac{Nq}{\sigma_{10}} = \frac{Nq}{\sigma_s} = \frac{67.5 \times 10^3}{348} = 194.0 \text{ mm}^2$$

$$A = 1.94 \text{ cm}^2 \rightarrow 4 \phi 9 = 2.54 \text{ cm}^2$$

Tranche II

$$A = \frac{130.0 \times 10^3}{348} = 3.73 \text{ cm}^2 \rightarrow 5 \phi 9 = 3.81 \text{ cm}^2$$

Tranche III

$$A = \frac{100.0 \times 10^3}{348} = 2.87 \text{ cm}^2 \rightarrow 5 \phi 9 = 3.18 \text{ cm}^2$$

Tranche IV

$$A = \frac{68.5 \times 10^3}{348} = 1.97 \text{ cm}^2 \rightarrow 4 \phi 9 = 2.54 \text{ cm}^2$$

Tranche V

$$A = \frac{42.5 \times 10^3}{348} = 1.22 \text{ cm}^2 \rightarrow 2 \phi 9 \rightarrow 1.27 \text{ cm}^2$$

Variification de la condition de non-fragilité

Pour que les règles BAEL soient applicables,

Il faut que la pièce fasse partie du domaine du béton armé, c'est à dire qu'elle présente une section minimale d'armatures. On dit alors que la pièce est non fragile.

Est considérée comme non-fragile une action, tendue ou fléchie, telle que la sollicitation provoquant la fissuration du béton dans cette section entraîne dans les armatures tendues une contrainte au plus égale à leur limite d'élasticité.

$S_t B$: la section de béton brute

A : la section d'acières tendus

f_{tj} : la résistance caractéristique du béton à la traction en jours. Nous allons prendre $j=28$

$$f_{tj} = 0.6 + 0.06 f_{cj}$$

$$\text{donc } f_{t28} = 0.6 + 0.06 f_{c28} = 0.6 + 0.06 \times 28 \text{ mpa}$$

$$f_{t28} = 2.1 \text{ mpa}$$

Comme les sections de béton sont égales, au niveau des banches, chacune à $150 \times 1000 \text{ mm}^2 = 150000 \text{ mm}^2$

Pour une section entièrement tendue,

la vérification de la condition de non-fragilité s'écrit comme suit: $B \leq \frac{f_e A}{f_{tj}}$ ①

avec $f_e = 400 \text{ mpa}$ dans ces cas d'acier.

f_e = limite élastique

① est vérifiée quand $A \gg \frac{B f_{tj}}{f_e}$

donc ① est vérifiée quand $A \geq \frac{150.000 \times 2.1}{400}$
 $\rightarrow A \geq 7.85 \text{ cm}^2$

Cette section d'armatures est supérieure à toutes celles trouvées dans les toutes les tranches

Vérification aux états limites de service

. Effort dans les cercles

$\sigma_s = \text{contrainte maximale admise dans les armatures tendues}$

Comme la fissuration est préjudiciable (t2s)

$$\bar{\sigma}_s = 176 \text{ MPa}.$$

$A = \frac{N}{\sigma_s}$ avec N obtenu sous les charges de service

$$\text{Tranche I : } A = \frac{55.0 \times 10^3}{176} = 3.12 \text{ cm}^2 \rightarrow 5 \phi 9 = 3.18$$

$$\text{Tranche II : } A = \frac{94.5 \times 10^3}{176} = 5.37 \text{ cm}^2 \rightarrow 9 \phi 9 = 5.72$$

$$\text{Tranche III : } A = \frac{69.5 \times 10^3}{176} = 3.95 \text{ cm}^2 \rightarrow 7 \phi 9 = 4.45$$

$$\text{Tranche IV : } A = \frac{49.0 \times 10^3}{176} = 2.78 \text{ cm}^2 \rightarrow 5 \phi 9 = 3.18$$

$$\text{Tranche V : } A = \frac{22 \times 10^3}{176} = 1.25 \text{ cm}^2 \rightarrow 2 \phi 9 = 1.27$$

Toutes sections sont inférieures à 7.85 cm^2

Donc nous allons prendre partout $A = 7.85 \text{ cm}^2$
 et des diamètres $\phi 10$ disposés par paire

Ainsi dans une tranche de 1m, nous aurons 5 paires
 de $\phi 10$ d'où un espace entre les E

$$E = \frac{1000}{5} \text{ mm} = 200 \text{ mm} = 20 \text{ cm}$$

4-2-2. Choix des armatures transversales

* à l'état limite ultime de résistance

- Au droit du moment portif maximal (fibres intérieures tendues)

$$M = +6.07 \text{ kNm /m de largeur}$$

Choisissons une bande de 1m de largeur sur toute la hauteur du cylindre, un enrobage de 4cm (milieu agrégatif)

Acier Fe E 40 type I $\phi 8$

$$\frac{\sigma_b}{\gamma_b} = 0.85 \frac{f_{c28}}{\gamma_b} \quad \text{avec } \gamma_b = 1.5 \quad , \quad d = 150 - 40 - 8/2$$

$$\rightarrow d = 106 \text{ mm} \quad \frac{\sigma_b}{\gamma_b} = 14.2 \text{ MPa}$$

$$N = \frac{M}{\frac{\sigma_b b d}{\gamma_b}^2} = \frac{6.07 \times 10^3}{14.2 \times 100 \times 10.6}^2 = 0.0380 < Nl = 0.392$$

$$\rightarrow \sigma_s = 348 \text{ MPa}.$$

$$\beta = 0.981 \quad A = \frac{M}{\beta d \sigma_s} = \frac{6.07 \times 10^3}{0.981 \times 10.6 \times 348}^2 = 1.68 \text{ cm}^2$$

$$\rightarrow 4 \phi 8 = 2.01 \text{ cm}^2$$

- Au droit du moment négatif (fibres extérieures tendues)

$$M = -5.4 \text{ kNm /m de largeur}$$

$$N = \frac{5.4 \times 10^3}{14.2 \times 100 \times 10.6}^2 = 0.0358 < Nl \rightarrow \sigma_s = 348 \text{ MPa}$$

$$\beta = 0.982 \quad A = \frac{5.4 \times 10^3}{0.982 \times 10.6 \times 348}^2 = 1.497 \text{ cm}^2$$

$$A = 1.50 \text{ cm}^2 \quad \text{donc } 3 \phi 8 = 1.51 \text{ cm}^2$$

* Vérification suivant les états limites de service
· Au droit du moment positif maximal

$$M = 4.5 \text{ kN.m/m}$$

$\bar{\sigma}_s$ = Contrainte maximale de traction dans les aciers

$$\text{tendus} = 176 \text{ MPa.}$$

$$N_1 = \frac{4.5 \times 10^3}{100 \times 176 \times 10.6}^2 = 0.00227 \rightarrow k = 0.021$$

$$\beta_1 = 0.920$$

$$\sigma_b = k \bar{\sigma}_s = 0.021 \times 176 \text{ MPa} = 3.70 \text{ MPa}$$

$$\sigma_b < \sigma_b^{-1} = 0.6 f_{c28} = 15 \text{ MPa}$$

$$A = \frac{4.5 \times 10^3}{0.920 \times 10.6 \times 176}^3 = 2.62 \text{ cm}^2 \rightarrow 6\phi 8 = 3.02 \text{ cm}^2 \\ > 5\phi 8$$

$$\text{Espacement} = E = 167 \text{ mm}$$

· Au droit du moment négatif (fibres catarractées tendues) $M = -3.8 \text{ kN.m/m}$

$$N_1 = \frac{3.8 \times 10^3}{100 \times 176 \times 10.6}^2 = 0.0019 \text{ donc } k = 0.019$$

$$\text{et } \beta_1 = 0.925$$

$$\sigma_b = 0.019 \times 176 = 3.34 \text{ MPa} < \sigma_b^{-1}$$

$$A = \frac{3.8 \times 10^3}{0.925 \times 10.6 \times 176}^3 = 2.20 \text{ cm}^2 \text{ donc } 5\phi 8 = 2.51 \text{ cm}^2 \\ > 3\phi 8$$

$$E = \frac{1070}{5} \text{ mm} = 200 \text{ mm}$$

D'après la norme, pour les dalles et voiles, l'espacement entre les armatures d'une même nappe doit être inférieur au minimum de 20 cm et de 1.5 h.

Dans notre cas $E \leq 20 \text{ cm}$ et $1.5 \times 15 \text{ cm}$

Bonc $E \leq 20 \text{ cm}$. Ce qui est vérifié pour les sections déjà étudiées

Aussi bien au droit du moment négatif qu'à celui du moment positif une portion des barres ainsi déterminée sera prolongée jusqu'à l'autre extrémité pour servir principalement d'acier de construction durant l'atelier les cercas.

Au droit du moment positif, une moitié des barres donc $3\phi 8$ dans une largeur de 1m sera prolongée jusqu'à la couverture, l'autre moitié sera arrêtée à une distance de $0.8h$ du point de moment nul (x_0) donc à 112mm de x_0 ou à $112 + 36 = 148$ mm de la base.

Même considération pour les barres au droit du moment négatif où l'autre moitié sera arrêtée à $0.20H + 112$ mm de la couverture donc à 113.6 mm du sommet de la couverture. La moitié qui est prolongée jusqu'au reblier reprendra aussi le moment $M' = -1.25 \text{ kNm}$.

Chapitre 5 CALCUL DES ARMATURES DANS LE RADIER

5-1. Calcul de la contrainte dans le béton à la base de la paroi

La curvature induisant une force de compression F à l'encastrément paroi-radiers

$$F = 0.120 \times \frac{5.78^2 \times 3.14}{4} \times 25 \times 1.75 + 1.5 \times 1 \times 3.14 \times 5.78^2 / 4 \\ + 1.35 \times 0.150 \times 4.75 \times 3.14 \times 5.5 \times 25$$

$$F = 510.2 \text{ kN} \quad (\text{du à aux poids de la courbure et du cylindre}) . \quad \sigma_b = \text{contrainte dans le béton}$$

$$\sigma_b = 510.2 / (0.15 \times 3.14 \times 5.5) = 147.5 \text{ kN m}^{-2}$$

$$\sigma_b = 0.0015 \text{ MPa} = 0.15 \text{ MPa}$$

$$\bar{\sigma}_b = \text{contrainte admissible} = \frac{0.85 f_{c28}}{\gamma_b} = 14.2 \text{ MPa}$$

Donc la contrainte σ_b est admissible

5-2. CALCUL DES MOMENTS DE DESIGN DANS LE RADIER

Si nous allons considérer au contour les moments d'encastrément avec la paroi calculés précédemment à l'état limite ultime de résistance et à l'état limite de service.

Le radier est calculé comme étant encastré à quatre (4) poutres donc nous allons calculer les moments comme si c'était une dalle载荷

continues sur son pourtour.

$\alpha = \frac{Lx}{Ly} = 1$ dans notre cas car les côtés sont égaux

Or niveau des poutres nous savons le moment M_1 et au centre du radier M_2 .

Le coefficient de Poisson avant fixation $\nu = 0.2$.

p est la charge totale appliquée sur radier

D'après Cours Supérieur de Baton Armé de Paul Brinquequin

$$M_1 = 0.50 M_x$$

$$M_2 = 0.75 M_x \quad \text{avec } M_x = 0.044 p l^2$$

l = longueur des côtés de la dalle.

$$\rightarrow M_1 = 0.50 \times 0.044 p l^2 = 0.022 p l^2$$

$$M_2 = 0.75 \times 0.044 p l^2 = 0.033 p l^2$$

* Calcul de p :

- Charge due au poids de l'eau : p_1

$$p_1 = 100 \text{ m}^3 \times 10 \text{ kN m}^{-3} \times \frac{1}{3.14 \times 5.5^2 \text{ m}^2} \times 4 = 42.12 \text{ kN m}^{-2}$$

- Poids mort du Radier : p_2

$$p_2 = 25 \times 0.25 \text{ kN m}^{-2} = 6.25 \text{ kN m}^{-2}$$

À l'état ultime de l'résistance, en considérant l'eau comme une charge permanente (cas où le niveau de l'eau dans le réservoir varie peu)

$$p = 1.35 \times (42.12 + 6.25) \text{ kN m}^{-2} = 65.3 \text{ kN m}^{-2}$$

$$M_1 = -65.3 \times 0.022 \times 4.0^2 = -22.1 \text{ kNm / m}$$

$$M_2 = +65.3 \times 0.033 \times 4.0^2 = 33.1 \text{ kNm / m}$$

avec 4.0 longueur des poutres est :

$$l = \frac{5.5}{2} \frac{+1}{\sin 45^\circ} = 3.9 \text{ m} \approx 4.0 \text{ m}$$

Le moment à l'enca斯特ment avec la paroi étant M_3

$M_3 = -5.4 \text{ kNm/m}$ donc comme moment aux appuis nous allons considérer $M_1 > M_3$ en valeur absolue, les barres déterminées ainsi seront prolongées jusqu'à l'enca斯特ment.

Comme nous avons une dalle carrée, le calcul des armatures sera le même dans les deux directions.

À la base de la cuve, l'eau induit un effort tranchant qui génère une traction dans le radier.

D'après "Concrete Information", pour $\frac{H^2}{2t} \approx 27$ donc nous avons un effort tranchant $V = 0.095 w H^2$
d'après Table XVI : SHEAR AT BASE OF CYLINDRICAL WALL

V pondéré vaut : $1.35 \times 0.095 \times 10 \times 4.75^2 \text{ kN/m de l'ar-}\text{gue}$.

$$V = 28.9 \text{ kN/m}$$

Cet effort V indique la traction nécessaire dans le radier.

Après ces considérations, nous allons donc dimensionner le radier comme un élément en flexion composée.

5- 3. Calcul des aciers longitudinaux

V étant appliquée au sommet du radier, il peut être décomposé en un effort de traction : N agissant au centre de gravité de la section du radier et en un moment tendant à mettre les armatures supérieures en tension : M'

$$M' = N \frac{h}{2} = 28.9 \times 0.125 \text{ kNm/m} = 3.6 \text{ kNm/m}$$

- Donc aux appuis, $M_1 = 22.1 + 3.6 = 25.7 \text{ kNm/m}$
et $N = 28.9 \text{ kN/m}$

Ce système peut être remplacé par un effort N' appliqué au centre de pression distant du centre de gravité O de e

$$e = \frac{M_1}{N} = \frac{25.7}{28.9} \text{ m} = 0.889 \text{ m} \text{ donc le centre de pression se trouve à l'extérieur du radier car } h = 0.250 \text{ m}$$

ainsi la section est au niveau des appuis partiellement tendue (comprimée).

Par rapport au centre de gravité de armatures tendues

$$M_2 = M_1 - 28.9 \times (0.125 - 0.040) = 23.24 \text{ kNm/m}$$

Pour les calculs d'armatures, considérons une bande de 1 m de largeur passant par le centre du radier

$$\sigma_b = 14.2 \text{ MPa} \quad \text{Avec Fe E 40 type 1} \quad \phi 12$$

$$\sigma_s = 348 \text{ MPa} \quad d = 250 - 40 \cdot \frac{12}{2} = 204 \text{ mm}$$

$$M = \frac{M}{\sigma_b b d^2} = \frac{23.24 \times 10^3}{14.2 \times 100 \times 204^2} = 0.039 < 0.392$$

donc quantités d'armatures tendues seront nécessaires ($A' = 0$ armatures comprimées) et $\sigma_s = 348 \text{ MPa}$

$$\rightarrow \alpha = 0.0498 \text{ et } \beta = 0.980$$

$$A_1 = \frac{M}{\beta d \sigma_s} = \frac{23.24 \times 10^3}{0.980 \times 20.4 \times 348} = 3.34 \text{ cm}^2$$

$$\text{Donc } A = A_1 + \frac{N}{100 \sigma_s} = 3.34 + \frac{28.9 \times 10^3}{348 \times 100} = 4.17 \text{ cm}^2$$

$$\rightarrow 4 \phi 12 = 4.52 \text{ cm}^2$$

- Détermination des barres à prolonger tout au long du radier pour reprendre la traction $N = 28.9 \text{ kN}$

$$A = \frac{N}{\sigma_s} = \frac{N}{348} = \frac{28.9 \times 10^3}{348} = 0.71 \text{ cm}^2 \rightarrow 1 \phi 12 = 1.13 \text{ cm}^2$$

• Au droit du moment entrancé : M_2

$$M_2 = 33.11 \frac{\text{kNm}}{\text{m}} ; N = 28.9 \frac{\text{kN}}{\text{m}}$$

Par rapport au centre de gravité des armatures tendues $M'_2 = M_2 - 28.9 \times 0.204 = 27.21 \text{ kNm/m}$

Considérons une bande de 1 m de largeur passant par le centre.

$$\alpha = \frac{27.21 \times 10^3}{100 \times 14.2 \times 20.4} = 0.046 < 0.392 \rightarrow A' = 0.$$

$$\beta = 0.976 \quad A_2 = \frac{27.21 \times 10^3}{0.976 \times 20.4 \times 348} = 3.93 \text{ cm}^2$$

$$A = 3.93 + \frac{28.9 \times 10^3}{100 \times 348} = 4.76 \text{ cm}^2$$

Dans la direction perpendiculaire : $d = 19.2 \text{ cm}$

$$\alpha = \frac{27.21 \times 10^3}{14.2 \times 100 \times 19.2} = 0.052 < 0.392 \rightarrow A' = 0$$

$$\beta = 0.973 ; \sigma_s = 348$$

$$A_2 = \frac{27.21 \times 10^3}{0.973 \times 19.2 \times 348} = 4.18 \text{ cm}^2$$

$$A = 4.18 + \frac{28.9 \times 10^3}{100 \times 348} = 5.01 \text{ cm}^2$$

$$\rightarrow 5 \phi 12 = 5.65 \text{ cm}^2$$

dans les deux directions donc au niveau des lits supérieurs et inférieurs.

- Ecart d'acier minimal (condition de non-fragilité)

- Au niveau des sections en tirante

Comme la présence des portes nous a permis de considérer une dalle cannelée avec $l_u = l_y = 4.0 \text{ m}$

Donc nous devons avoir $\rho_x = \rho_y = \rho_0 = 0.0008$

Pour une largeur de bande 1m, soit B la section brute de béton.

$$B = 1000 \times 250 \text{ mm}^2 = 250000 \text{ mm}^2$$

$$A_{\min} = \rho_0 \times B = 250000 \text{ mm}^2 \times 0.0008 = 2 \text{ cm}^2$$

$A_{\min} < 4.76 \text{ cm}^2$ donc l'épaisseur minimal d'acier respecté

- Au niveau des sections sur appuis

dans la direction du moment maximal, nous avons

$$\rho = \frac{4.52}{100 \times 25} = 0.0019 \Rightarrow \rho_0 = 0.0008$$

→ la section d'acier est satisfaisante

5 - 4 - Calcul des aciers transversaux

D'après Paul Dinneguin $T = \frac{p l}{3}$

T = force tranchante . p = charge pondérée

$T = 0.446 \text{ q a par m de largeur}$.

avec $a = 4.0 \text{ m}$

$$q = (42.12 + 6.25) \times 1.35 \text{ KN m}^{-2} = 65.3 \text{ KN m}^{-2}$$

$$T = 0.446 \times 65.3 \times 4.0 \text{ KN m}^{-1} = 116.5 \text{ KN m}^{-1}$$

$$F_u = \frac{V_u}{bod} = \frac{T}{bod}$$

Choisissons une bande de largeur 1m

$$\bar{\epsilon}_u = \frac{116.5}{1000 \times 204} = 0.57 \text{ mpa}$$

$$0.05 f_{c28} = 0.05 \times 25 \text{ mpa} = 1.25 \text{ mpa}$$

$\rightarrow \bar{\epsilon}_u = 0.57 \text{ mpa} < 0.05 f_{c28}$ donc aucune armature transversale n'est nécessaire

5-5 - Vérification suivant les états limites de service

- Détermination des armatures

- Au droit du moment négatif (aux appuis)

$$M_s = (42.12 + 6.25) \times 0.022 \times 4.0^2 \text{ KN.m/m} = 17.0 \text{ kNm/m}$$

$$N = 21.4 \text{ KN/m}$$

Pour une bande de 1m de largeur.

$\bar{\sigma}_s$ = contrainte maximale admissible dans les aciers tendus = 176 mpa. (fixation très préférable)

$\frac{M_s}{N} = 0.809 \text{ m}$ donc la section est partiellement comprimée

Moment par rapport au centre de gravité des aciers tendus :

$$M'_s = 17.0 + 21.4 \times (0.040 + 0.006) = 18.0 \text{ kNm}$$

$$M_1 = \frac{18.0 \times 10^3}{100 \times 20.4^2 \times 176} = 0.0024 \rightarrow \beta_1 = 0.918, k = 0.022$$

$$\sigma_b = k \bar{\sigma}_s = 0.022 \times 176 \text{ mpa} = 3.9 \text{ mpa} < \sigma_b^{-1} = 15 \text{ mpa}$$

$$A_1 = \frac{18.0 \times 10^3}{0.918 \times 20.4 \times 176} = 5.46 \text{ cm}^2$$

$$A = 5.46 + \frac{18.0 \times 10^3}{100 \times 176} = 6.50 \text{ cm}^2$$

$$\rightarrow 6 \phi 12 = 6.98 \text{ cm}^2 \quad E = \frac{1000 \text{ mm}}{6} = 167 \text{ mm}$$

- Au droit du moment positif : M'_2

$$M_2 = (42.12 + 6.25) \times 0.033 \times 4.0^2 = 25.5 \text{ kN.m/m}$$

$$N = 21.4 \text{ kN.m}^{-1}$$

$$\sigma_s = 176 \text{ MPa}$$

$\frac{M_2}{N} = \frac{25.5}{21.4} = 1.19 \text{ m}$ donc la section est partiellement comprimée. Moment par rapport au centre de gravité des armatures tendues : M'_2 .

$$M'_2 = 25.5 - 21.4 \times (0.250 - 0.045) \text{ kN.m/m} = 21.0 \text{ kN.m/m}$$

Considérons une bande de 1 m de largeur

$$n_1 = \frac{21.0 \times 10^3}{100 \times 176 \times 20.4} = 0.0028 \rightarrow \beta_1 = 0.912 ; k = 0.024$$

$\sigma_b = k \sigma_s = 0.024 \times 176 \text{ MPa} = 4.2 \text{ MPa} < 15 \text{ MPa} \rightarrow$
pas d'armatures comprimées. $A' = 0$

$$A_1 = \frac{21.0 \times 10^3}{20.4 \times 176 \times 0.912} = 6.41 \text{ cm}^2$$

$$A = A_1 + \frac{21.4 \times 10^3}{100 \times 176} = 7.6 \text{ cm}^2 \rightarrow 7\phi 12 = 7.92 \text{ cm}^2$$

$$E = \frac{1000}{7} \text{ mm} = 143 \text{ mm}$$

- Barres à prolonger pour reprendre la traction

$$N = 21.4 \text{ kN/m} \quad \sigma_s = 176 \text{ MPa}$$

Pour une bande de 1 m de largeur

$$A = \frac{N}{\sigma_s \times 100} = \frac{21.4 \times 10^3}{176 \times 100} = 1.21 \text{ cm}^2 \rightarrow 2\phi 12 = 2.26 \text{ cm}^2$$

Donc au droit du moment négatif (aux appuis) nous allons prolonger 2φ12 sur 6φ12.

. Vérification de la flèche

Voir Article B.7.5 Règles BAEL R3.

Soit M_2 = moment au traveau quand les quatre (4) bords du radier sont complètement appuyés - (Moment enjambant)

M_y = même définition mais enjambant y

Comme nous avons une dalle carrée : $M_n = M_y$

$M_t = \text{moment en trarée quand les bords sont encastrés.} = M_2 = 25.5 \text{ kN m/m de largeur}$

$$M_n = M_y = 0.044 \text{ p cm}^2 = 0.044 \times (42.12 + 6.25) \times 400^2$$

$$M_n = 34.05 \text{ kN m/m de largeur}$$

$$A = \text{action d'armatures par bâche} = 7.92 \text{ cm}^2$$

$$b = 100 \text{ cm} \quad , \quad l_u = l_y = 4.0 \text{ m} \quad ; \quad h = 250 \text{ mm}$$

$$d = 205 \text{ mm}$$

$$f_e = 400 \text{ MPa}$$

Il nous savons que la vérification de la flèche n'est pas nécessaire quand les 2 conditions suivantes sont vérifiées :

$$1 - \frac{h}{l_u} > \frac{M_t}{20 M_n}$$

$$2 - \frac{A}{bd} \leq \frac{2}{f_e}$$

$$\text{Pour 1 - } \frac{h}{l_u} = \frac{250}{4000} = 0.0625$$

$$\frac{M_t}{20 M_n} = \frac{25.5}{20 \times 34.05} = 0.037 < 0.0625$$

$$\text{donc nous avons vérifier } \frac{h}{l_u} > \frac{M_t}{20 M_n}$$

$$\text{Pour 2 - } \frac{A}{bd} = \frac{7.92}{20.5 \times 100} = 0.0039$$

$$\frac{2}{f_e} = \frac{2}{400} = 0.005 > 0.0039$$

$$\text{donc } \frac{A}{bd} \leq \frac{2}{f_e} \quad \text{ainsi la vérification de la flèche n'est pas nécessaire.}$$

5- 6- Longueur de scallament - Points d'arrêt

• Au droit du moment positif (entrée)

Pour une bande de 1m de largeur, sur les 7 φ 12, 4 seront prolongés jusqu'aux appuis, les 3 autres sont arrêtés à une distance au plus égal à $\frac{1}{10}$ portée des appuis donc ca 400 mm des appuis.

• Au droit du moment négatif (appuis)

la longueur des barres à partir des appuis est égale au $\frac{1}{5}$ de la plus grande portée des deux appuis encadrant l'appui considéré (s'il s'agit d'un appui en appartenant pas à une trave de rive) donc la longueur sera égale à 800 mm.

Ces barres seront encastrées dans la paroi du cylindre d'une longueur l_3 tel que : $l_3 - 2.21 \lambda \leq l_1 + 1.89 l_3$

$$\text{avec } l_3 = \frac{\phi f_a}{4 \bar{\epsilon}_s} \quad \bar{\epsilon}_s = 0.6 \psi_s^2 f_t 28$$

Pour FeE 40 type 2 $\psi_s = 1.5 \rightarrow \bar{\epsilon}_s = 2.8 \text{ mpa}$

$$\rightarrow l_3 = 428.6 \text{ mm}$$

$$l_2 = d - 6\phi = 106 - 72 = 34 \text{ mm}$$

$$\lambda = 5.5 \phi = 5.5 \times 12 \text{ mm} = 66 \text{ mm}$$

l_3 = distance disponible entre la face intérieure de la paroi du cylindre jusqu'au début de courbure des barres pour l'amerrage.

$$\text{donc } 1.89 l_3 \geq 428.6 - 34 - 2.21 \times 66$$

$$\rightarrow l_3 \geq 131.6 \text{ mm}$$

donc nous allons prendre $l_3 = 140 \text{ mm}$

Chapitre:6 Calcul des Colonnes,

Traverses et Semelles

G-1 Introduction

Cet ensemble d'éléments sera calculé en considérant un cadre chargé et ainsi les efforts en bouts de membrures seront calculés. Ces derniers vont nous permettre de calculer les armatures des colonnes, traverses et semelles après avoir estimé leurs dimensions.

Le cadre est bidimensionnel car tous les 4 cadres que nous pouvons considérer ont des effets similaires et la descente des charges y est appliquée de la même procédure. Le cadre considéré est représenté à la figure 7.

La charge trapézoïdale de la traverse supérieure n'est qu'une approximation de la zone I figure

Les charges verticales pondérées de 60.8 kN sont dues au poids du cylindre et de la couverture qui ont été ainsi réduits par les forces aristiques.

Les efforts horizontaux et les moments appliqués aux extrémités sont fonction du vent.

Vérifions la stabilité d'ensemble du château d'eau:

Pour la stabilité de l'ensemble, elle est assurée quand la rémetante des forces verticales et des forces horizontales passe par le moyen central c'est à dire à moins de $D/8$ du centre de la tour.

Soit M_r = moment de renforcement par rapport au centre des semelles

$$M_r = 4.8 \times 2 \times 5 \text{ kNm} + 17.0 \times 12.5 \text{ kNm} = 260.5 \text{ kNm}$$

avec 4.8 kN et 17.0 kN, efforts horizontaux dus au vent appliqués à 5m et 12.5m des semelles.

Le cas critique à considérer est celui qui suppose le réservoir vide et le vent appliqué.

Calcul des forces verticales

N_1 = poids propre de la cuve et de la construction

$$N_1 = H \times 121.9 \text{ kN}$$

N_2 = Poids du radier et des portes supérieures

$$N_2 = 1.35 \times 6.75 \times 3.14 \times \frac{5.78^2}{4} + 0.5 \times 0.4 \times 4 \times 25 \times 1.35 \times 4$$

$$N_2 = 347 \text{ kN}$$

$$N = N_1 + N_2 = (347 + 4 \times 121.9) \text{ kN} = 834.6 \text{ kN}$$

$$D/8 = \frac{5.78 \text{ m}}{8} = 0.722 \text{ m}$$

$$\frac{M_r}{N} = \frac{260.5}{834} \text{ m} = 0.312 \text{ m} < D/8$$

Donc la stabilité de l'ensemble est assurée

Calcul des efforts de vent

• Au niveau du réservoir

P : pression due au vent

$$P = C_f \cdot q \cdot C_g \cdot C_a$$

avec q = pression dynamique ; C_f = coefficient de traînée

C_a = coefficient d'exposition et C_p = coefficient de protection extérieure. C_g = coefficient de rafale

D'après les travaux, émanant d'une exploitation météorologique $q = 0.37 \text{ kNm}^{-2}$ voir Note I

$$\frac{H}{D} = \frac{15.22 \text{ m}}{5.78 \text{ m}} = 2.63 \rightarrow \text{baton } 0.5 < C_f < 0.6$$

Si on prend $C_f = 0.6$ pour une sécurité

C_g est pris égal à 2.0.

$$C_a = \left(\frac{Z}{10}\right)^{0.28} \quad \text{avec } Z = \text{hauteur moyenne du}$$

reservoir = 12.5 m

$$C_a = \left(\frac{12.5}{10}\right)^{0.28} = 1.06$$

$$P = C_f \cdot q \cdot C_g \cdot C_a \rightarrow \text{force totale} = F_1 = q \cdot q \cdot C_g \cdot C_a \cdot A$$

avec $A = \text{aire du réservoir sous l'vent}$

$$\text{donc } F_1 = 0.6 \times 0.37 \times 2.0 \times 1.06 \times 5.12 \times 6.0 = 14.5 \text{ kN}$$

- Au niveau des colonnes

$$P = q \cdot C_a \cdot C_g \cdot C_p \cdot$$

$$Z = 5 \text{ m} \rightarrow C_a = \left(\frac{5}{10}\right)^{0.28} = 0.83$$

$$\text{Force totale horizontale} = F_2 = F_h = k C_{as} C_g C_a L \times h \times p$$

$$F_2 = 0.65 \times 0.37 \times 2.0 \times 0.83 \times 2.0 \times 10.0 \times 0.5 \text{ kN} = 3.99 \text{ kN}$$

$$F_2 \approx 4.0 \text{ kN} \quad \text{après pondération : } F_2 = 1.2 \times 4.0 = 4.8 \text{ kN}$$

avec $h = 0.500 \text{ m}; L = \text{longueur de l'élément} = 10.0 \text{ m}$

$C_{as} = \text{Coefficient de trainée pour un élément infiniment long}$

$k = \text{coefficient de couplage des éléments d'élançlement fini fonction de } L/h_e \text{ avec } h_e \text{ diagonale de la section du poteau} = 0.7 \text{ m}$

$$\rightarrow \frac{L}{h_e} = 14 \rightarrow k = 0.65$$

$$C_{as} = C_\infty \quad \text{car vent normal} \rightarrow \alpha = 0^\circ$$

$$\text{donc } C_{as} = 2.0$$

F_2 est réduit à un moment de 42.5 kNm et une force horizontale de 17 kN (après pondération 14.2 × 1.2) appliqués au sommet du poteau comme monté à figure 8

Demême pour F_1 dont les moments réduits sont 7.7 kNm et l'effort horizontal est 4.8 appliqués à l'encastrément

pot en traversse inférieure.

La résolution de ce cadre alors la détermination des efforts en tout de membrures, s'est fait à l'aide d'un logiciel P-frame en considérant 4 cas de chargement qui sont les suivants :

- ① Réservoir vide sans vent
- ② Réservoir vide avec vent
- ③ Réservoir plein sans vent
- ④ Réservoir plein avec vent

Dans l'enumeration de ces cas de chargement et du calcul des efforts relatifs, nous constatons d'après les efforts en tout de membrure obtenus, que le design des ponts (traverses) et colonnes est commandé par le cas de chargement N° ④ qui est le cas :

① dans les résultats imprimés à l'ordinateur.

Pour les semelles, nous constatons que les moments induits par le cas ① et le cas ③ sont quasi égaux alors que les charges axiales sont maximales dans le cas ①

Donc le design du cadre se fera en considérant le cas de chargement où le réservoir est plein et le vent est maximal.

6.2 CALCUL DES POUTRES

6.2.1. Traverse Supérieure

Elle est coulée en même temps que le radier, donc elle sera calculée comme une poutre en T.

Les efforts de design sont d'après les résultats fournis à l'ordinateur, les suivants :

$$\text{Effort axial} = 74.9 \text{ kN}$$

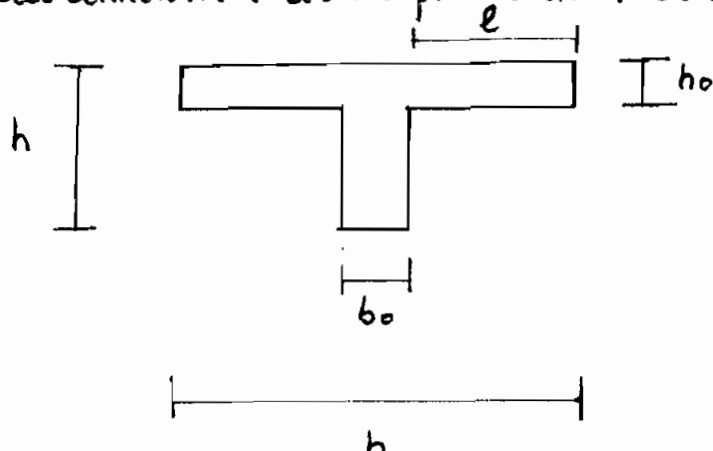
$$\text{Moment caux appris} = 209.6 \text{ kNm}$$

$$\text{Effort tranchant} = 380.0 \text{ kN}$$

$$\text{Moment en trarée} = 212.9 \text{ kNm}$$

Donc cette poutre sera considérée comme une poutre en T en trarée

Choix des dimensions de la poutre en T en trarée :



D'après les Règles BAEL 83 :

$$l \leq 1/10 \text{ Portée} = 0.40 \text{ m}$$

$$l \leq 2/3 \times \text{distance entre ce point et l'appui extrême} \rightarrow l \leq 2/3 \times \frac{4.0}{2} \text{ m} = 1.33 \text{ m}$$

$$l \leq \text{moitié de la distance entre faces minimes de deux nervures consécutives} \rightarrow l \leq 2.0 \text{ m}$$

donc $l \leq 0.39\text{m}$ → prenons $l = 0.35\text{m}$

Chimissons $b_0 = 400\text{mm}$

$$b = 2l + b_0 = 2 \times 0.35\text{m} + 0.400\text{m} = 1100\text{mm}$$

Prenons $h = 750\text{mm}$; $h_0 = 250\text{mm}$

- Calcul des armatures

* au droit du moment en tranchée

Position du centre de pression: $M = 212.9 \text{ kNm}; N = 74.9$

La position du centre de pression par rapport au centre de gravité G est GC avec C centre de pression

$$GC = \frac{M}{N} = \frac{212.9}{74.9} \text{ m} = 2.8\text{m} > 0.750\text{m} \text{ donc le centre de pression se trouve à l'extérieur du segment limité par les armatures donc la section est partiellement comprimée.}$$

Par rapport au centre de gravité des armatures tendues, calculons

M :

$$h = 750\text{mm} \quad \phi 20 \quad \text{Enrobage } 30\text{mm} \quad \text{Étai } \phi 10$$

$$\rightarrow d = 697.5\text{mm}$$

$$M = 212.9 + 74.9 \times 0.200 = 227.9 \text{ kNm}$$

Moment équilibré par la table de compression: M_t

$$M_t = b h_0 \bar{\sigma}_b \left(d - \frac{h_0}{2} \right) = 1100 \times 250 \times 14.2 \left(700 - \frac{250}{2} \right) \times 10^{-6} \text{ KNm}$$

$$M_t = 1265.1 \text{ kNm} > M_u = 227.9 \text{ kNm}$$

donc la table n'est pas entièrement comprimée, on est ramené au calcul d'une section rectangulaire de largeur b et de hauteur utile d

$$d = (750 - 10 - 21 - 30)\text{mm} = 70\text{cm}$$

$$n = \frac{227.9 \times 10^3}{14.2 \times 110 \times 70^2} = 0.030 < n_l = 0.392$$

donc la section ne comportera que des armatures tendues. $B = 0.985$

$$A_1 = \frac{227.9 \times 10^3}{0.985 \times 70 \times 348} = 9.50 \text{ cm}^2$$

$$A = A_1 - \frac{74.9 \times 10^3}{100 \times 348} = 7.34 \text{ cm}^2 \rightarrow 3\phi 20 = 9.42 \text{ cm}^2$$

* Au droit du moment sans appuis

$$M = 209.6 \text{ kNm} \quad N = 74.9 \text{ kN}$$

La table se trouve dans la partie tendue de la poutre
donc la poutre sera considérée de dimensions $b = 400 \text{ mm}$ et
 $h = 750 \text{ mm}$ ($d = 700 \text{ mm}$)

Moment par rapport au centre de gravité des aciers tendus:

$$M = 209.6 + 74.9 \times 0.45 b \text{ kNm} = 243.3 \text{ kNm}$$

$$w = \frac{243.3 \times 10^3}{14.2 \times 40 \times 70^2} = 0.087 < 0.392$$

pas d'armatures comprises

$$\beta = 0.954 \quad A_1 = \frac{243.3 \times 10^3}{0.954 \times 70 \times 348} = 10.46 \text{ cm}^2$$

$$A = 10.46 \text{ cm}^2 - \frac{74.9 \times 10^3}{100 \times 348} \text{ cm}^2 = 8.31 \text{ cm}^2 \rightarrow 3\phi 20 \\ \rightarrow 9.42 \text{ cm}^2$$

* Vérification de la condition de non-fragilité

$$A > 0.001 b h = 0.001 \times 40 \times 75 \text{ cm}^2 = 3 \text{ cm}^2 = A_{\min}$$

Donc cette condition est respectée.

* Effort tranchant : Armatures transversales

$$V_u = 323.3 \text{ kN} \quad \text{au niveau du l'appui de droite}$$

$$\sigma_u = \frac{V_u}{b \cdot d} = \frac{323.3 \times 10^3}{400 \times 700} = 1.15 \text{ MPa} \quad \text{contrainte de cisaillement maximale}$$

J'en prends que de armatures droites (cônes) transversales

$$\text{donc doit être } \leq 0.13 f_c 28 = 3.25 \text{ MPa}$$

Ceci est vérifié car $1.15 \text{ MPa} < 3.25 \text{ MPa}$

Etiers ϕ_{E6}^{10}

Comme nous sommes en flexion composée :

$$\textcircled{1} \quad \frac{At}{b \cdot st} \geq \frac{\gamma_{Gk} - 0.3 f_{tk} k}{0.8 f_c (\cos \alpha + \tan \alpha)} \quad \text{avec } At = \text{section des etiers}$$

st = espace entre les étiers

$$k = 1 + 3 \frac{5\text{cm}}{f_{c28}} \quad \text{avec } 5\text{cm} = \frac{N}{B} = \frac{74.9 \times 10^3}{700 \times 400} = 0.26 \text{mpa}$$

$$At = \frac{2\pi \phi_E^2}{4} = 157.0 \text{mm}^2$$

$$k = 1 + \frac{3 \times 0.26}{2.1} = 1.031. \quad \alpha = 90^\circ$$

$$\textcircled{1} \rightarrow st \leq \frac{0.8 f_c At}{b \cdot (\gamma_{Gk} - 0.63 k)} = \frac{0.8 \times 400 \times 157}{400 (1.15 - 0.63 \times 1.031)} = 251.0 \text{mm}$$

$$\rightarrow st \leq 251.0 \text{mm}$$

- Espace minimal : st_{\min}

$$\frac{At f_c}{b \cdot st} \geq 0.4 \text{mpa} \rightarrow st \leq \frac{157 \times 400}{400 \times 0.4} = 392.5 \text{mm}$$

$$251.0 \leq 392.5$$

Donc nous allons prendre tout au long de la poutre $st = 250 \text{mm}$

* Vérification aux états limites de service

- Détermination des armatures

En entrée : $M = 144.8 \text{ kNm}$ $N = 52.8 \text{ kN}$

$$\frac{M}{N} = 2.7 \text{m} > h \rightarrow \text{section partiellement comprimée}$$

Moment par rapport au centre de gravité des armatures tendues :

$$M = 144.8 \text{ kNm} + 52.8 \times (0.250 - 0.050) = 155.4 \text{ kNm}$$

Moment d'équilibre par la table : M_0

$$M_0 = \frac{\bar{\sigma}_s}{30} \times \frac{d - h_0}{d - h_0} \times b h_0^2 \quad \text{Nous pouvons considérer la}$$

flambaison comme être négligeable. $\rightarrow \bar{\sigma}_s = 176 \text{ MPa}$

$$M_0 = 553.7 \text{ kNm} \rightarrow M_0 = 155.4 \text{ kNm}$$

donc seule la tâche est compressive.

$$\text{dimensions} \quad b = 1100 \text{ mm} \quad h = 750 \text{ mm}$$

$$w_1 = \frac{M}{bd^2 \bar{\sigma}_s} = \frac{155.4 \times 10^3}{110 \times 75^2 \times 176} = 0.0016 \rightarrow \beta_1 = 0.932 \\ k = 0.017$$

$$\sigma_b = k \bar{\sigma}_s = 0.017 \times 176 \text{ MPa} = 3.0 \text{ MPa}$$

$$\sigma_b^{-1} = 0.6 f_{c28} = 15 \text{ MPa} \cdot \text{ donc } \sigma_b < \sigma_b^{-1}$$

$$\text{donc } A_1 = \frac{155.4 \times 10^3}{0.932 \times 70 \times 176} = 13.53 \text{ cm}^2$$

$$A = A_1 - \frac{52.8 \times 10^3}{150 \times 176} = 10.53 \text{ cm}^2 \rightarrow 3\phi 25 = 14.78 \text{ cm}^2$$

E = écartement des armatures unies Enrobage = 30 mm

$$E = \frac{450 - 2 \times 40 - 3 \times 25}{2} = 122 \text{ mm} \rightarrow E = 120 \text{ mm}$$

$$120 > 20 \\ > 1.5 C_g$$

Ces barres sont continues jusqu'aux colonnes pour servir de barres de montage.

$$\text{Aux appuis : } N = 52.8 \text{ kN} \quad M = 148.4 \text{ kNm} \quad \frac{M}{N} = 2.8 \text{ m}$$

$$\frac{M}{N} > h \rightarrow \text{section partiellement comprimée}$$

Moment par rapport au centre de gravité des aciers tendus : M

$$M = 148.4 \text{ kNm} + 52.8 \times 0.450 = 172.2 \text{ kNm}$$

$$w_1 = \frac{172.2 \times 10^3}{40 \times 70^2 \times 176} = 0.0050 \rightarrow \beta_1 = 0.888 \\ k = 0.084$$

$$\sigma_b = k \bar{\sigma}_s = 0.084 \times 176 \text{ MPa} = 5.98 \text{ MPa} < \sigma_b^{-1}$$

$$A_1 = \frac{172.2 \times 10^3}{0.888 \times 70 \times 176} = 15.7 \text{ cm}^2$$

$$A = A_1 - \frac{52.8 \times 10^3}{150 \times 176} = 12.76 \text{ cm}^2 \rightarrow 3\phi 25$$

Ces barres sont ancrées dans les colonnes

* Détermination des longueurs d'ancrage

$$l_s = \frac{\phi}{4} \frac{f_e}{E_f} \quad \text{avec } \bar{e}_s = 2.8 \text{ mpa}, \phi = 25 \text{ et } f_e = 400 \text{ mpa}$$

$\rightarrow l_s = 893 \text{ mm}$. Cette longueur n'étant pas disponible dans la profondeur de la colonne donc les barres seront courbées et prolongées dans la colonne jusqu'à une distance $l = 893 - (500 - 52.5) = 445 \text{ mm}$

moins allons prendre $l = 450 \text{ mm}$

* Vérification de la flèche

Soit M_0 : moment maximal en entrée en supposant la poutre reposant sur deux appuis libres (sans charge de service)

$$M_0 = M_1 + M_2 \quad \text{avec } M_1 = \frac{wl^2}{8} = \frac{3.7 \times 4.0^2}{8} = 7.4 \text{ kNm}$$

$$M_2 = \frac{Wl}{6} \quad W = \frac{(161.5 + 3.7) \times 4}{2}$$

$$\rightarrow M_2 = 210.4 \text{ kNm}$$

$$\text{donc } M_0 = 217.4 \text{ kNm}.$$

M_t = moment en entrée dans les conditions actuelles (continuité)

$$M_t = 144.8 \text{ kNm}.$$

$$b_0 = 400 \text{ mm}; \quad d = 450 \text{ mm}; \quad A = 14.73 \text{ cm}^2; \quad h = 500 \text{ mm}; \quad l = 4 \text{ m}$$

$$\frac{h}{l} = \frac{500}{4000} = 0.125 \quad \frac{1}{16} = 0.0625$$

$$\frac{1}{10} \frac{M_t}{M_0} = \frac{1}{10} \times \frac{144.8}{217.8} = 0.066 \rightarrow$$

$$\textcircled{1} \quad \frac{h}{l} > \frac{1}{16} \quad \text{et} \quad \frac{h}{l} > \frac{1}{10} \frac{M_t}{M_0} \quad \textcircled{2}$$

$$\textcircled{3} \quad \frac{A}{b_0 d} = 0.0082 < \frac{4.2}{f_e} = 0.0106$$

Comme ces trois conditions sont vérifiées alors la vérification de la flèche n'est pas nécessaire

6-2-2. Traverse médiane

Moment en travee : 0.736 kNm

Moment sur appui : 19.9 kNm

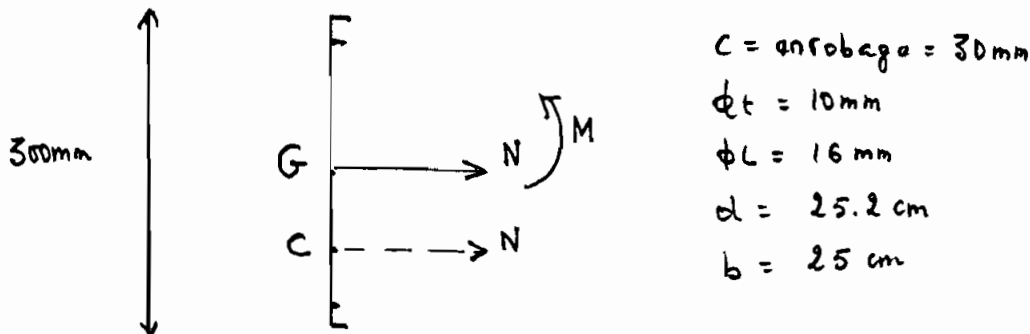
Effort normal : 79.0 kN, (Traction)

Effort tranchant : 12.1 kN

Nous avons une section soumise à la flexion composée

* Aux appuis :

$$GC = \text{position du centre de pression} = \frac{M}{N} = \frac{19.9}{79.0} = 0.251 \text{ m}$$



Donc le centre de pression se trouve à l'intérieur du segment limité par les armatures \rightarrow section partiellement tendue

. Par rapport au centre des gravités des armatures tendues

$$M = 19.9 + 79.0 \times 0.102 = 11.8 \text{ kNm}$$

$$w = \frac{11.8 \times 10^3}{14.2 \times 25 \times 25.2} = 0.052 < w_e \rightarrow A' = 0$$

$$\rightarrow B = 0.973$$

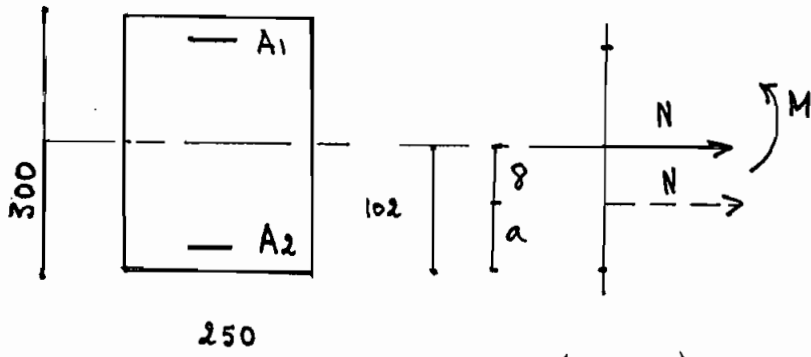
$$A_1 = \frac{11.8 \times 10^3}{0.973 \times 348 \times 25.2} = 1.38 \text{ cm}^2$$

$$A = A_1 + \frac{N}{100 \text{ F.S}} = 1.38 \text{ cm}^2 + \frac{79.0 \times 10^3}{100 \times 348} \text{ cm}^2 = 3.65 \text{ cm}^2$$

$$\rightarrow 2 \phi 16 = 4.02 \text{ cm}^2$$

* En travee : Moment ≈ nul donc nous pouvons considérer la section comme entièrement tendue . $GC \approx 0$. donc le centre de pression à l'intérieur du segment . $GC = \frac{0.736}{79} \approx 0.008 \text{ m}$

$$GC = 8 \text{ mm}$$



$$a = (102 - 8) \text{ mm} = 94 \text{ mm}$$

FeE 40 type I $\sigma_{10} = \sigma_3 = 348 \text{ MPa}$. Enrobage = 30

$$\phi t = 10 \text{ mm} \quad \rightarrow c_1 = 48 \text{ mm}$$

$$A_1 = \frac{Na}{100(d - c_1)\sigma_{10}} = \frac{79.0 \times 10^3 \times 94}{100(252 - 48) \times 348} = 1.04 \text{ cm}^2$$

$$A_2 = \frac{N}{100\sigma_{10}} - A_1 = \frac{79.0 \times 10^3}{100 \times 348} - 1.04 = 1.23 \text{ cm}^2$$

$$\rightarrow A_2 = 2\phi 12 = 2.26 \text{ cm}^2$$

Pour A_1 , nous allons continuer le $2\phi 16$ des appuis tout au long de la poutre donc nous avons $A_1 = 2\phi 16 = 4.02 \text{ cm}^2$

* Vérification de la condition de non-fragilité

- Sections aux appuis :

$$A_1 \text{ entrée} = 2.26 \text{ cm}^2$$

$$+ \frac{1}{2} A_2 \text{ aux appuis} = \frac{2.01 \text{ cm}^2}{4.27 \text{ cm}^2}$$

$$B = \text{section du bâton} = 300 \times 250 \text{ mm}^2$$

$$0.002 B = 150 \text{ mm}^2 = 1.5 \text{ cm}^2$$

Comme $4.27 \text{ cm}^2 > 1.5 \text{ cm}^2 \rightarrow$ condition de non fragilité vérifiée

- Entrée :

La règle du millième est vérifiée car $2.26 \text{ cm}^2 > 0.001 B h$

$$2.26 \text{ cm}^2 > 0.75 \text{ cm}^2$$

Donc la poutre n'est pas fragile.

* Effort tranchant : $V_{umax} = 12.1 \text{ kN}$

$$\sigma_u = \frac{12.1 \times 10^3}{360 \times 250} = 0.16 \text{ MPa} . \quad \text{très faible donc } \sigma_u = 0.63 \text{ kN} < 0 \\ \text{impossible}$$

Donc nous allons choisir un emplacement et des barres en considérant l'emplacement maximal et l'espacement minimal - en choisissant $\phi t = 6 \text{ mm}$:

$$- \quad s_t \leq 0.3 d \\ \leq 40 \text{ cm} \quad \rightarrow \quad s_t \leq 227 \text{ mm}$$

$$- \quad \frac{A_t f_u}{b \cdot s_t} \geq 0.4 \text{ MPa} \quad \rightarrow \quad s_t \leq \frac{A_t f_u}{b \cdot 0.4} = 226 \text{ mm}$$

Donc nous allons prendre $s_t = 220 \text{ mm}$; $\phi t = 6 \text{ mm}$

* Vérification suivante les états limites de service :

- La fixation n'est pas préjudiciable donc les sections d'armature tourées restent valables
- la vérification de la flèche ne s'imposera pas car le poutre ne supporte que son poids propre.

6-2-3 • Travee inférieure

Moment en travee : 2.312 kNm

Moments aux appuis : 16.2 kNm

Effort normal : 19.7 kN (compression)

Effort tranchant : 11.8 kNm

* Aux appuis :

Flexion composite.

$$\text{Determination du centre de gravite} : \frac{M}{N} = \frac{16.2}{19.7} = 0.822 \text{ m} = 822 \text{ mm}$$

Considérons donc une section partiellement tendue.

$$\phi t = 6 \text{ mm} ; \phi L = 12 \text{ mm} \quad c = \text{enrobage} = 30 \text{ mm} ; d = 258 \text{ mm}$$

Moment par rapport au centre de gravité des armatures tendues :

$$M = 16.2 + 19.7 \times 0.108 = 18.33 \text{ kNm}$$

$$w = \frac{18.33 \times 10^3}{14.2 \times 25 \times 25.8}^2 = 0.077 < 0.392 = \gamma_2 \\ \rightarrow A' = 0. \quad B = 0.959$$

$$A_1 = \frac{18.33 \times 10^3}{348 \times 25.8 \times 0.959} = 2.12 \text{ cm}^2.$$

$$A = 2.12 \text{ cm}^2 - \frac{19.7 \times 10^3}{100 \times 348} = 1.55 \text{ cm}^2 \rightarrow 2 \phi 12 = 2.26 \text{ cm}^2$$

* En travee :

$$G_C = \frac{2.312}{19.7} = 0.117 \text{ m} > 0.108 \text{ m} \rightarrow \text{section partiellement comprimée.}$$

Moment par rapport au centre de gravité des armatures tendues :

$$M = 2.312 + 19.7 \times 0.108 = 4.43 \text{ kNm}$$

$$w = \frac{4.43 \times 10^3}{14.2 \times 25 \times 25.8}^2 = 0.019 < 0.392 \\ A' = 0. \quad B = 0.990$$

$$A_1 = \frac{4.43 \times 10^3}{348 \times 25.8} = 0.50 \text{ cm}^2$$

$$A = 0.50 - \frac{19.7 \times 10^3}{100 \times 348} = -0.06 \text{ cm}^2 \text{ impossible}$$

Nous allons prendre comme section d'armature en tiré, la section vérifiant la condition de non fragilité.

Avec la règle du millième : $A > 0.001B = 0.75 \text{ cm}^2$

donc nous allons prendre $2\phi 16 = 1.57 \text{ cm}^2$

aux appuis, A vérifie la condition de non fragilité.

* Effort tranchant

$$V_{u \max} = 11.8 \text{ kN}$$

→ mêmes termes qui pour la traction longitudinale

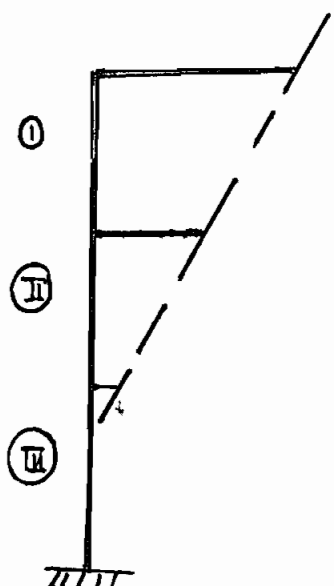
$$\text{donc } s_t = 220 \text{ mm} \quad \phi_t = 6 \text{ mm}$$

* Les vérifications courantes dans les états limites de sécurité ne s'imposent pas

6-3

CALCUL DES COLONNES

Ces poteaux sont associés chacun à 2 cadres, donc les efforts axiaux trouvés doivent être multipliés par 2. Pour les moments nous avons 2 moments égaux dont les axes font un angle de 90° .

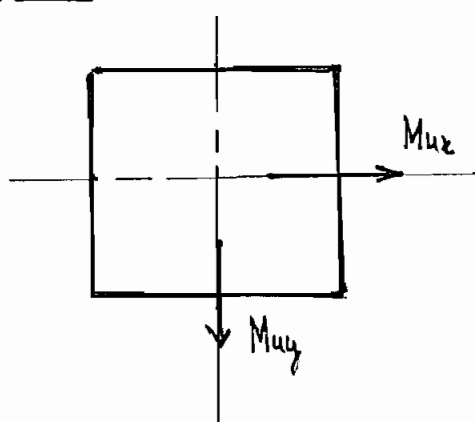


Ainsi nous aurons 3 colonnes

①, ② et ③

Chacune d'elles est considérée contraréée moins que le cadre est lui non contraréé.

Nous allons calculer les 3 colonnes séparément.

6-3-1 Poteau ①

$$Mu_x = Mu_y = 209.6 \text{ kNm}$$

$$Nu = 384.2 \times 2 \text{ kN} = 768.4 \text{ kN}$$

Donc nous avons considéré
le moment max entre celui
appliqué en haut et l'autre
du bas du poteau

1- Calcul des excentricités

La longueur des poteaux est presque égale à : $l = 3.4 \text{ m}$

$$e_a = \text{excentricité accidentelle} = \text{Max}(2\text{cm}, l/250)$$

$$= \text{Max}(2\text{cm}, 1.36\text{cm}) = 2\text{cm}$$

$$e_1 = \text{excentricité du premier ordre} = \frac{M}{N} \text{ carac } M = M_F$$

$$M_F = (M_{ux}^2 + M_{uy}^2)^{1/2} = 296.4 \text{ kNm}$$

$$e_1 = \frac{296.4}{768.4} \text{ m} = 0.385 \text{ m} = 38.5 \text{ cm}$$

e_2 = excentricité liée aux effets du second ordre, liés aux déformations de la structure.

$$e_2 = \frac{3l_f^2}{10^4 h} (2 + d\phi) \text{ carac} = \text{Moment du second ordre du}$$

aux charges permanentes / moment total du premier ordre

$$\alpha = M_p/M_F \quad M_p = (2M_p z)^{1/2} = (2 \times 69.16)^{1/2} = 97.8 \text{ kNm}$$

$$M_F = 296.4 \text{ kNm} \quad \alpha = \frac{97.8}{296.4} = 0.330$$

$$l_f = k l$$

$$\phi = 2.0$$

- Calcul de k :

Les poteaux sont considérablement supposés contrarétes

$$\begin{aligned} \psi_A &= \frac{0.5^4 \times 1}{12 \times 3.4} / \frac{2 \times 0.4 \times 0.5^3 \times 1}{12} = 0.74 \\ \psi_B &= \frac{2 \times 0.5^4 \times 1}{12 \times 3.4} / \frac{2 \times 0.3^2 \times 0.25 \times 1}{12} = 10.9 \end{aligned} \quad \left. \begin{array}{l} \\ \end{array} \right\} k = 0.83$$

$$l_f = 0.83 \times 3.4 \text{ m} = 2.82 \text{ m}$$

$$e_2 = \frac{3 \times 282^2}{10^4 \times 500} (2 + 0.33 \times 2) = 12.7 \text{ mm}$$

$$\text{Max}\left(15, \frac{20a_1}{h}\right) = \text{Max}(15, 15.4) = 15.4$$

$$\frac{l_f}{h} = 5.64 < \text{Max}\left(15, \frac{20a_1}{h}\right) \quad \text{Donc nous pouvons}$$

calculer la section en flexion composée sous les sollicitations

$$N \text{ et } M = N a \quad \text{carac } a = a_1 + a_2 + e_a$$

$$a = (385 + 20 + 12.7) \text{ mm} = 417.7 \text{ mm}$$

$$M = 768.4 \times 0.418 = 321.2 \text{ kNm}$$

Les courbes d'interaction obtenues dans les abaqus de Capra et Davidovici nous auraient permis d'obtenir les sections d'armatures requises car ces dernières prennent le cas du flambement des poteaux carre's avec armatures symétriques même dans le plan diagonal. Ces abaqus se trouvant dans "Le guide Pratique d'utilisation des Règles BHEL-Eyrolles" ne sont pas encore disponibles dans les librairies sénégalaises. Ainsi, je me suis référé aux courbes d'Interaction du Metric Design Handbook, ACNOR.

$\frac{L_f}{h} < \text{Max}\left(15, \frac{200}{h}\right)$ j'aurai pu chercher les armatures en flexion composée, mais ne disposant de sections d'armatures symétriques aux 4 faces, les courbes d'Interaction du Metric Design parviennent les seules indiquées.

Ainsi pour le Poteau I :

Majorons M_u de 10% comme nous avons vu en flexion droite
 $M_{u0} = 353.2 \text{ kNm}$; $P_u = 468.4 \text{ kN}$

$$\frac{P_u}{A_g} = \frac{468.4 \times 10^3}{500^2} = 3.07 \text{ MPa}; \quad \frac{M_u}{Agh} = \frac{353.3 \times 10^6}{500^3} = 2.82 \text{ MPa}$$

Nous allons supposer une égale section d'armatures sur les quatre (4) faces. $\phi_L = 25 \text{ mm}$; $\phi_t = 10 \text{ mm}$. Encrage = 30

$$\gamma = \frac{500 - 2 \times 30 - 2 \times 12.5 - 2 \times 10}{500} = 0.79 \approx 0.8$$

D'après la figure avec $f'_c = 20 \text{ MPa}$ et $f'_y = 400 \text{ MPa}$

$$\rho_g = 1.75\% \rightarrow A_s = 43.75 \text{ cm}^2$$

$$\text{dmc } 4 \phi 25 + 8 \phi 20 = 44.76 \text{ cm}^2$$

Vérification des armatures

$$\gamma = 0.80 \quad . \quad \frac{c_x}{h} = \frac{c_y}{h} \quad \text{donc } c_x = c_y \text{ car la même}$$

moment s'applique dans les 2 axes orthogonaux

$$c_x = \frac{209.6}{768.4} = 0.272 \text{ m} \rightarrow \frac{c_x}{h} = \frac{c_y}{h} = 0.54$$

$$\beta_g = \frac{4476}{500^2} = 1.8\%$$

$$\rightarrow \frac{P_{ux}}{A_g} = 5.8 \text{ MPa} ; \frac{P_{uy}}{A_g} = 5.8 \text{ MPa} ; \frac{P_{uo}}{A_g} = 16.8 \text{ MPa}$$

$$\frac{A_g}{P_u} = \frac{A_g}{P_{ux}} + \frac{A_g}{P_{uy}} - \frac{A_g}{P_{uo}} \rightarrow \frac{1}{P_u} = \frac{1}{5.8} + \frac{1}{5.8} - \frac{1}{16.8}$$

donc $P_u = 876.2 \text{ kN} > 768.4 \text{ kN}$ donc section

d'armature valide

$$A = 44.76 \text{ cm}^2$$

A_{min} = Min en flexion composite

6.3.2 Poteau II Flexion due à la flexion composite
M_{ux} et M_{uy}.

Vérifions si les sections sont entièrement comprimées ou partiellement.

$$M_{ux} = M_{uy} = 50.8 \text{ kNm} \rightarrow M_r^0 = 71.8 \text{ kNm} ; M_r^2 = 29.4 \text{ kNm}$$

$$P_u = 2 \times 333.3 \text{ kN} = 666.6 \text{ kN}$$

Position du centre de gravité :

$$\text{Sous l'axe des x : } \frac{M_{ux}}{P_u} = 76 \text{ mm}$$

$$\text{Sous le diagonale : } \frac{M_r}{P_u} = 107.7 \text{ mm} < 250 \text{ mm}$$

donc le centre position se trouve à l'intérieur du segment limité par les armatures

Nous allons faire le calcul des armatures en prenant la colonne contreventée

$$\Psi_A = \Psi_B = 10.9 \rightarrow k = 0.96$$

$$\frac{k\ell_u}{r} = \frac{0.96 \times 3.4}{0.3 + 0.5} = 21.8$$

$$34 - 12 \frac{M_1}{M_2} \text{ comme nous avons une courbure constante } \frac{M_1}{M_2} < 0$$

$$34 - 12 \frac{M_1}{M_2} = 34 - 12 \times \frac{29.4}{71.8} = 38.8$$

Comme $\frac{k\ell_u}{r} < 34 - 12 \frac{M_1}{M_2}$ → nous sommes en présence d'une colonne courte. Nous avons donc M_r^0 de 15%

$$\rightarrow M_c = \text{moment de design} = 1.15 \times 71.8 \text{ kNm} = 82.6 \text{ KNm}$$

En choisissant des diamètres $\phi 20$

$$P_u/A_g = 666.6 \times 10^3 / 500^2 \text{ MPa} = 2.67 \text{ MPa}$$

$$M_u/A_{gh} = 82.6 \times 10^6 / 500^3 \text{ MPa} = 0.67 \text{ MPa}$$

$$Y = \frac{500 - 2 \times 30 - 10 - 10}{500} \text{ mm} = 0.8$$

La racine du diagramme d'interaction nous donne $f_g = 0$; donc nous allons prendre $f_g = 1\%$ qui est la $f_{g \min}$.

$$\text{Donc } A_s = A_{s \min} = 500^2 \times 0.01 \text{ mm}^2 = 25 \text{ cm}^2$$

Vérification des sections d'aciors

$$e_x = e_y = \frac{50.8}{666.6} = 0.076 \text{ m} = 76 \text{ mm}$$

$$\frac{e_x}{h} = \frac{76}{500} = 0.15 = e_y/h$$

$$P_{ux}/A_g = 10.2 \text{ MPa} ; P_{uy}/A_g = 10.2 \text{ MPa}$$

$$P_{uo}/A_g = 14.6 \text{ MPa}$$

$$\Rightarrow P_u = \frac{1}{\left(\frac{1}{P_{ux}} + \frac{1}{P_{uy}} - \left[\frac{P_{uo}}{1} \right]^{-1} \right)} = 1959.5 \text{ kN} \\ > 666.6 \text{ kN}$$

$$\text{donc } A_s = 8 \phi 20 = 25.13 \text{ cm}^2$$

6.3.3 Colonne III

Même constat que pour la colonne II du fait de la petiteur du moment par rapport à l'effort axial.

$$\text{Donc } f_g = 1\% \rightarrow A_s = 25 \text{ cm}^2 \quad 8 \phi 20 = 25.13 \text{ cm}^2$$

6.3.4 CALCUL DES ETRIERS

Poteau I

$$V_u = 74.9 \text{ kN} \quad \varepsilon_u = \frac{V_u}{b \cdot d} = \frac{74.9 \times 10^3}{500 \times 450} = 0.33 \text{ mpa}$$

les armatures d'âme sont des armatures droites, donc $\varepsilon_u \leq \min(0.13 f_{c28}, 4.0 \text{ mpa}) \rightarrow \varepsilon_u \leq 3.25 \text{ mpa}$

Ceci est vérifié car $0.33 \text{ mpa} < 3.25 \text{ mpa}$

$$\text{Prenons } \phi t = 8 \text{ mm} \quad A_t = 100.48 \text{ mm}^2$$

$$\textcircled{1} \quad \frac{A_t}{b \cdot s_t} \geq \frac{\varepsilon_u - 0.3 f_{tj} k}{0.8 f_a} \quad \text{avec } k = 1 + 3 \frac{5 \text{ cm}}{f_{c28}}$$

$$\sigma_{tm} = \frac{N_u}{B} = \frac{768.4 \times 10^3}{661.2} = 3.67 \text{ mpa} \rightarrow k = 1.37$$

$$\textcircled{1} \rightarrow s_t \leq \frac{0.8 A_t f_a}{b_0 (\varepsilon_u - 0.3 f_{tj} k)} = \frac{0.8 \times 100.48 \times 400}{500 (0.33 - 0.63 \times 1.37)}$$

$s_t \leq 0$ donc nous allons prendre pour tous les poteaux (I, II, III) les conditions limites d'espacement

Une section est entièrement comprimée quand, pour un effort de compression, le centre de pression tombe à l'intérieur du segment limité par les armatures et la condition suivante est vérifiée :

$$N(d - c') - M_1 \leq \left(0.337 - 0.81 \frac{c'}{h}\right) b h^2 \bar{\sigma}_b$$

Poteau I

$$c' = 50 ; d = 450$$

M_1 : moment par rapport au centre de gravité des armes

éures tendues

$$\text{Dans ce cas } M_1 = 209.8 + 768.4 \times 0.2 = 363.5 \text{ kNm}$$

$$\bar{\sigma}_b = 14.2 \text{ MPa} \quad N = 768.4 \text{ kN}$$

Determination du centre de pression :

$$\frac{M}{N} = \frac{209.8}{768.4} = 0.273 \quad \text{donc le centre de pression est}$$

à l'extérieur du segment limité par les armatures, donc la section de béton est partiellement tendue (comprimée)

- Ainsi nous devons vérifier l'épaisseur et la section d'armatures minimales :

$$1- At_{fe}/b_0 s_t \geq 0.4 \text{ MPa} \rightarrow s_t \leq At_{fe}/b_0 \times 0.4 = 200.96$$

$$2- s_t \leq \min(0.4d, 40 \text{ cm}) \rightarrow s_t \leq 405 \text{ mm}$$

Donc nous choisissons $s_t = 20 \text{ cm}$ et $\phi_t = 8 \text{ mm}$

- Il nous devons aussi vérifier suivant la constitution des paires comprimées :

$$1- \phi_t = 8 \text{ mm} \geq \phi_L/3 = 20/3 \text{ mm} \quad \text{Exact!}$$

$$2- s_t \leq 15\phi_L = 300 \text{ mm} ; \text{ vérifie car } 200 \text{ mm} < 300 \text{ mm}$$

$$3- s_t \leq 400 \text{ mm} \quad \text{Vérifié}$$

$$4- s_t \leq (\text{plus petite dimension de la section augmentée de } 10 \text{ cm})$$

$$\rightarrow s_t \leq (50 \text{ cm} + 10 \text{ cm}) \rightarrow s_t \leq 600 \text{ mm} \quad \text{Vérifié}$$

cas $s_t = 200 \text{ mm}$

Poteau II

$$\frac{M}{N} = \frac{71.8}{666.6} \text{ m} = 0.108 \text{ m} \rightarrow \text{centre de pression}$$

à l'intérieur des segments

$$M_1 = 71.8 + 666.7 \times 0.2 = 205.14 \times 10^6 \text{ Nmm}$$

$$N(d - c') - M_1 = 666.7 \times 10^3 \times 450 - 205.14 \times 10^6$$

$$= 61540000 \text{ Nmm} = 61.5 \text{ kNm}$$

$$(0.337 - 0.81 \times \frac{c'}{h}) b h^2 \bar{\sigma}_b = (0.337 - 0.81 \times \frac{50}{550}) 550^3 \times 14.2$$

$$= 454.4 \text{ kNm}$$

$$\text{donc } N(d - c') - M_1 \leq (0.337 - 0.81 \frac{c'}{h}) b h^2 \bar{\sigma}_b$$

donc la section est partiellement comprimée.

- Vérification de l'espacement et de la section minimale d'acier

Pour les mêmes raisons que pour le poteau I, $s_t = 20 \text{ cm}$

- Vérification sur les pièces comprimées

Même conclusion que pour le poteau I

Poteau III.

$$N = 816.2 \text{ kN} \quad M = 68.3 \text{ kNm}$$

$$\frac{M}{N} = \frac{68.3}{816.2} = 0.084 \text{ m} = 84 \text{ mm} \text{ donc } l_a$$

Contre au premier est à l'intérieur du segment limité par les armatures

$$M_1 = (68.3 + 816.2 \times 0.2) \text{ kNm} = 231.5 \text{ kNm}$$

$$N(d - c') - M_1 = 816.2 \times 10^3 \times (450 - 50) - 231.5 \times 10^6 = 95.0 \times 10^6 \text{ Nmm}$$

$$(0.337 - 0.81 \times \frac{c'}{h}) b h^2 \bar{s}_b = 454.4 \times 10^6 \text{ Nmm}$$

$$\text{donc } N(d - c') - M_1 < (0.337 - 0.81 \times \frac{c'}{h}) b h^2 \bar{s}_b$$

La section de béton est donc partiellement comprimée

Même constat que pour le colonne II

Donc tout au long du poteau (incluant I, II et III) nous prenons

$$s_t = 20 \text{ cm} \text{ et } \phi_t = 8 \text{ mm}$$

6-3-5 Longueur de recouvrement

Elles sont sans crochets car les poteaux sont comprimés
Comme les armatures sont susceptibles d'être tendues
nous prenons la longueur de recouvrement comme
dans le cas des barres tendues

l_r = longueur de recouvrement

$l_r = 40 \phi$ (parfaitaire) pour Acier F_{ck} = 40 (barres
sans crochet)

Pour $\phi = 20 \text{ mm}$

$$l_r = 40 \times 20 \text{ mm} = 800 \text{ mm}$$

Pour $\phi = 25 \text{ mm}$

$$l_r = 40 \times 25 \text{ mm} = 1000 \text{ mm}$$

Donc nous allons prendre, $l_r = 1000 \text{ mm sur } 1 \text{ m}$.

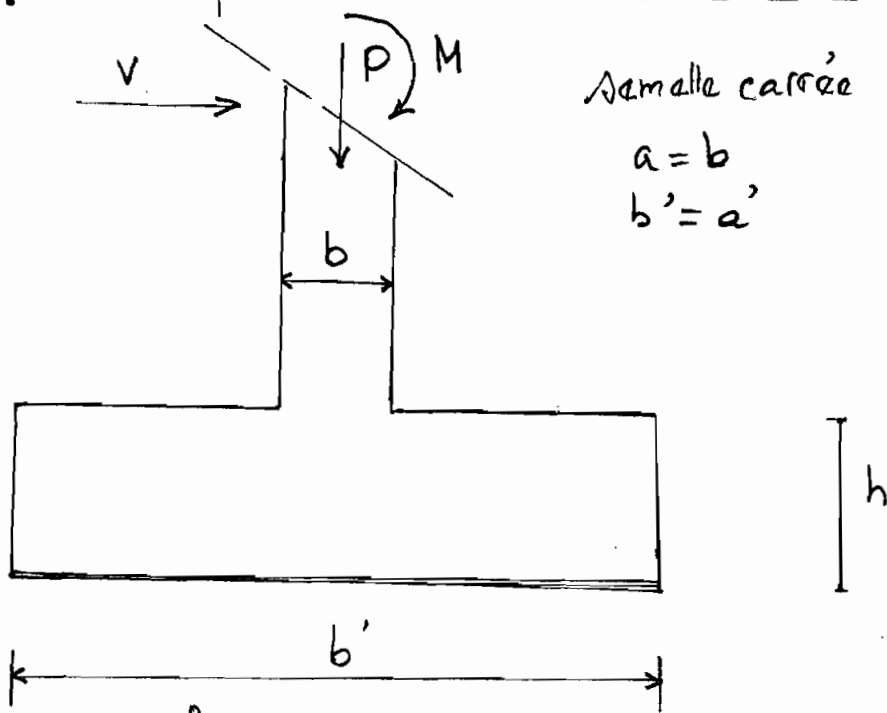
G-4 CALCUL DES SEMELLES

Comme dans le cas des colonnes, les charges axiales sont multipliées par 2 pour tenir compte des 2 cadres encadrant les colonnes individuellement.

$$\text{Donc } P = 816.2 \text{ kN}$$

De même, pour le moment et l'effort horizontal, ils peuvent être appliqués dans les 2 directions perpendiculaires (sans et direction du vent variant)

G-4-1. Choix préliminaire des dimensions de la semelle



Semelle carrée

$$\begin{aligned} a &= b \\ b' &= a' \end{aligned}$$

Les dimensions de la semelle sont homothétiques

$$\text{car } \frac{a'}{b'} = \frac{a}{b}$$

En supposant des $\phi 16$. Enrobage = 3 cm

Prenons $h = 60 \text{ cm} \rightarrow d_a = 54.6 \text{ cm et } d_b = 55.8 \text{ cm}$

comme $a = h$ et $a \geq 6\phi + 6 \rightarrow a \geq 102 \text{ mm}$

Verifié car $600 \text{ mm} \geq 102 \text{ mm}$

Les 2 autres conditions à vérifier sont :

$$\textcircled{1} \quad a' - a \geq 2b \quad \text{et} \quad da \geq \frac{b' - b}{4} \quad \textcircled{2}$$

$$\text{Prenons } b' = a' = 250 \text{ cm} = 2500 \text{ mm}$$

$$\textcircled{1} \rightarrow 2500 - a \geq 558 \rightarrow a \leq 1942 \text{ mm}$$

$$\rightarrow b \leq 1942 \text{ mm}$$

$$\textcircled{2} \rightarrow 548 \text{ mm} \geq \frac{2500 - b}{4} \rightarrow b \geq 316 \text{ mm}$$

donc $a \geq 316 \text{ mm}$

Si on va prendre $a = b = 500 \text{ mm}$

Si on va prendre $\sigma_{sol} = 250 \text{ kPa}$

6 - 4 - 2. Calcul des armatures

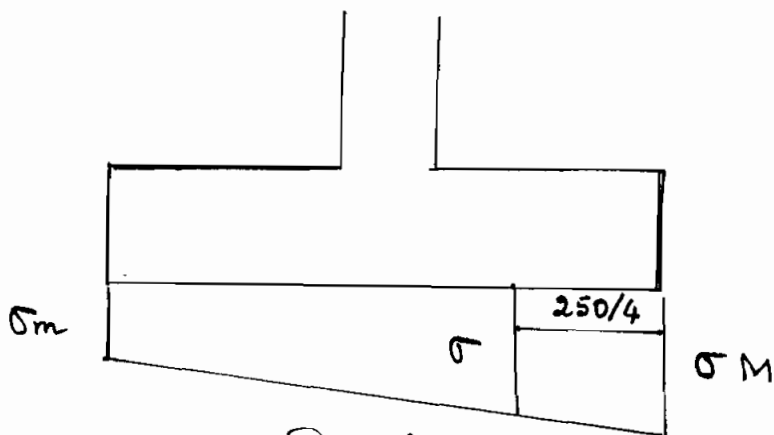
* Etat limite ultime de résistance

$$M = 48.3 \text{ kNm} \quad P = 816.2 \text{ kN}$$

$$\frac{M}{P} = \epsilon_0 = \frac{48.3}{816.2} = 0.059 \text{ m} = 59 \text{ mm}$$

$$\frac{b'}{6} = \frac{2500}{6} \approx 416.7 \text{ mm} \rightarrow \epsilon_0 < \frac{b'}{6}$$

Donc le diagramme des contraintes sera trapézoïdal



$$\sigma M = \frac{P}{a' \times b'} \left(1 + \frac{6\epsilon_0}{b'} \right) = \frac{816.2}{2.5 \times 2.5} \left(1 + 6 \cdot \frac{59}{2500} \right) = 149.1 \text{ KN/m}^2$$

$$\sigma_m = \frac{P}{a' \times b'} \left(1 - 6 \frac{a_0}{b} \right) = 112.1 \text{ kN/m}^{-2}$$

$$\sigma = \frac{3\sigma_m + \sigma_m}{4} = 139.8 \text{ kN/m}^{-2} \rightarrow \sigma = 139.8 < \sigma_{sol} = 200 \text{ kN/m}^{-2}$$

$$\frac{b}{6} = \frac{500}{6} \text{ mm} = 83.3 \text{ mm} \text{ donc } a_0 < \frac{b}{6}$$

donc le pilier est entièrement comprimé à sa base.

$$\sigma_M - \sigma_m = 37.1 \text{ kN/m}^{-2}$$

$$\frac{1}{2} \frac{\sigma_M + \sigma_m}{2} = 65.3 \text{ kN/m}^{-2}$$

$$\rightarrow \sigma_M - \sigma_m < \frac{1}{2} \times \frac{\sigma_M + \sigma_m}{2}$$

$$\text{Comme } a_0 < \frac{b'}{24} \text{ car } 59 \text{ mm} < \frac{2500}{24} \text{ mm} = 104.2 \text{ mm}$$

$$\text{donc } a_0 < \frac{b'}{18}.$$

Donc nous allons utiliser la méthode des bâties

$$P' = P \left(1 + 3 \frac{a_0}{b'} \right) = 816.2 \times \left(1 + 3 \times \frac{59}{2500} \right) = 874.0 \text{ kN}$$

$$\text{Comme } a_0 < \frac{b}{6} \text{ et } a_0 < \frac{b'}{24}$$

$$A'a' = P \left(1 + 3 \frac{a_0}{b'} \right) \left(\frac{a' - a}{8 d c \sigma_s} \right) = 874 \times 10^3 \left(1 + 3 \frac{59}{2500} \right) \left(\frac{2500 - 500}{8 \times 38 \times 10^3} \right)$$

$$A'a' = 12.50 \text{ cm}^2 \rightarrow 12 \phi 12$$

$$A'b' = P \left(1 + 3 \frac{a_0}{b'} \right) \left(\frac{b' - b}{8 d b \sigma_s} \right) = 874 \times 10^3 \left(1 + 3 \frac{59}{2500} \right) \left(\frac{2500}{8 \times 38 \times 10^3} \right)$$

$$A'b' = 12.13 \text{ cm}^2 \rightarrow 12 \phi 12 = 13.57 \text{ cm}^2$$

* Etat limite de service

Firmeation préfabriciable $\sigma_s = 240 \text{ mpa}$

$$P = 286.2 \times 2 \text{ kN} \quad M = 39.8 \text{ kNm}$$

$$a_0 = \frac{M}{P} = \frac{39.8}{286.2 \times 2} = 0.069 \text{ m} = 69 \text{ mm}$$

Le diagramme des contraintes sera trapézoïdal

$$\text{car } a_0 < \frac{b'}{6}$$

$$\sigma_M = 104.6 \text{ kN/m}^{-2}; \sigma_m = 78.6 \text{ kN/m}^{-2}$$

$$\sigma_M < \sigma_{sol} \rightarrow \sigma < \sigma_{sol}$$

$$q_0 = 69 \text{ mm} < \frac{b}{6} = 83.3 \text{ mm}$$

$$\frac{1}{2} \frac{\sigma_m + \sigma_m}{2} = 45.8 \text{ kNm}^{-2} \rightarrow \sigma_m - \sigma_m = 26.0 \text{ kNm}^{-2}$$

$$\frac{b'}{24} = 104.2 \text{ mm} \rightarrow q_0 < \frac{b'}{24} \quad (a' < \frac{b'}{18})$$

Donc nous allons utiliser la méthode des barres :

$$P' = P_x \left(1 + 3 \frac{q_0}{b'} \right) = 572.4 \times \left(1 + \frac{3 \times 69}{2500} \right) = 619.7 \text{ kN}$$

Comme $q_0 < \frac{b}{6}$ et $q_0 < \frac{b'}{24}$.

$$A_{a'} = 619.7 \times 10^3 \left(\frac{1 + 3 \times 69}{2500} \right) \left(\frac{2500}{8 \times 538 \times 240} \right) = 1299.2 \text{ mm}^2$$

$$A_{a'} = 12.99 \text{ cm}^2 \rightarrow 12 \phi 12 = 13.57 \text{ cm}^2$$

$$A_{b'} = 619.7 \times 10^3 \left(1 + \frac{3 \times 69}{2500} \right) \left(\frac{2500}{8 \times 554 \times 240} \right) = 1261.7 \text{ mm}^2$$

$$A_{b'} = 12.62 \text{ cm}^2 \rightarrow 12 \phi 12$$

Donc les armatures trouvées en état limite ultime de résistance demandent donc des fûts.

6-4-3. Détermination des longueurs de barre

$$l_s = \text{longueur de recouvrement} = \phi f_a / 4 \bar{\epsilon}_s$$

$$\bar{\epsilon}_s = 0.6 \psi_s^2 f_t 28 = 0.6 \times 1.5 \times 2.1 = 2.8 \text{ mpa}$$

$$l_s = \frac{12 \times 4500}{4 \times 2.8} = 428.6 \text{ mm}$$

$$\frac{b'}{4} = \frac{2500}{4} \text{ mm} = 625 \text{ mm} ; \quad \frac{b'}{8} = 312.5 \text{ mm}$$

$$\text{donc } \frac{b'}{8} < l_s \leq \frac{b'}{4}$$

Toutes les barres doivent être prolongées jusqu'aux extrémités de la nouvelle mais elles peuvent ne pas comporter de crochets.

Chapitre 7Préfabrication duCylindre du Réservoir

9, L'erection du réservoir, à quai, c'est ce qu'il y a de la mise en place de la cuve, des energies souvent très dispendieuses. Ceci relève de la difficulté de conter la cuve à une hauteur élevée (dans notre cas +10m IGN) donc de la mise sur pied d'un échafaudage complexe, générant considérablement les travaux de coulage. Cette difficulté est d'autant plus grande qu'il est nécessaire d'éviter les coulages intermittents, facteur de séchage différentiel d'où des possibilités de fissures plus importantes en fait des défaillances dans le monolithisme.

Comptant bien tous ces facteurs, il m'est venu à l'esprit l'idée de préfabriquer la cuve sur sol, de diminuer ainsi les pertes de temps, les risques et les frais d'acquisition de l'échafaudage très onéreux.

Il ne faut pas oublier que l'avantage primordial de la préfabrication des éléments est la possibilité d'en disposer en série et à l'unité. Cette procédure éviterait les déplacements d'installations artificielles démontant des sites des chantiers car les produits essentiels sont généralement les appareils de levage :

Verin et grues et certains produits de finition. Dans le cas de notre Château d'eau, nous choisissons de préfabriquer les éléments de la couve en panneaux demi-circulaires. Ceci nous permet d'en utiliser qu'un seul morceau pour en fabriquer 10 dans le cas d'une hauteur d'un cylindre de 5 m (avec une hauteur de panneau de 1 m).

La jonction de deux éléments demi-circulaires pour constituer l'élément circulaire est assurée par l'existence d'attentes des cercles au niveau de ces éléments. La continuité de la jonction est assurée par les longueurs de ceinturement L_r avec $L_r = 40 \phi$ pour FeE 40 type Z. Dans notre cas $\phi = 10 \rightarrow L_r = 400 \text{ mm}$

Voir figure 9

La jonction de deux panneaux superposés doit être concue pour éviter le déplacement relatif de ces derniers, pour assurer l'étanchéité et pour reprendre les forces de cisaillement et les moments. Ainsi pour restaurer la continuité de ces deux panneaux dont l'un est au dessus de l'autre, nous avons mis en place la liaison de la figure.

Comme nous avons des éléments préfabriqués, la couverture reposera librement sur le cylindre.

Pour éviter le déplacement relatif entre les deux panneaux, nous établissons tout au long de leur hauteur des manchons constitués de constitués de gaine de caoutchouc dans lesquelles nous plongeons des barres d'acier qui traversent la couverture.

Des réservations respectives seront juste posées pour permettre aux panneaux superposés d'être assemblés par des barres filées allant du radier à la couverture. Voir figure 10

La liaison de la base des panneaux avec le radier montrée à la figure 11 permet de reprendre le moment négatif à la base de la paroi.

Les barres filées à la base qui sont prolongées tout au long du cylindre peuvent aussi reprendre les forces de cisaillement dans la paroi.

Pour assurer l'anchorage de la cuve, la paroi intérieure est finie par un mortier avec hydrofuge (SIKALITE) d'une épaisseur d'environ 9mm. Voir "Notice Technique" "SIKALITE"

Chapitre 8 CONCLUSION ET RECOMMANDATIONS

Comme je l'avais souligné au début, le choix de la forme du château d'eau a été commandé par sa petite taille d'où l'inexistence de coupoles.

La présence de ces dernières revêt une grande importance pour les châteaux d'eau de grande dimension car l'économie de matériau (béton - acier) dépasserait largement les coûts de coffrage et de coulage. Pour nous en convaincre, il suffit de comprendre que la présence de coupoles, de coques cylindriques et sphériques impose une transmission des efforts par effet membranaire (tension - compression) d'où l'inexistence ou la quasi-disparition des moments. Ainsi, la cuve devient un système de coques composées (sphère, cylindre circulaire). Dans le cas une transmission des efforts par dilatation se substitue à celle par flexion et une simple comparaison de la flexion et de la dilatation pourrait nous renseigner sur les économies de matériau possibles dans la dilatation.

Voir Tableau de comparaison
Flexion vs Dilatation.

Il en ressort que du point de vue matériel, la transmission des efforts par effet membranaire présente un avantage certain. Mais, certaines exigences imposent au constructeur :

1 - transmission des charges par effet membranaire !
Effet de flexion seulement aux endroits incontournables et là encore sous forme de contraintes secondaires.

2 - éviter les effets de flexion pure (déformation sans dilatation), par exemple en prévoyant des épaissements aux bordures !

Quant à l'utilisation des règles de Capra et Dandorici, elle nous aurait permis de minimiser l'aire des sections d'acier dans les plateaux où nous avons considéré l'aire minimale de la norme ACNOR avec $\ell_g = 1\%$.

Ceci pour la simple raison que BATEL 80 suggère

$$A_{min} \geq \frac{0,2bh}{100} \text{ et } \frac{8(b+h)}{100}$$

Exemple Pour $b = h = 500 \text{ mm}$

D'après ACNOR $A_{min} = 1\% A_g = 0,01 b h$
 $A_{min} = 25 \text{ cm}^2$.

D'après BSEN 80 $A_{min} \geq 5 \text{ cm}^2$ et 8 cm^2
 $A_{min} = 8 \text{ cm}^2$

Ainsi $25 \text{ cm}^2 > 8 \text{ cm}^2$.

Donc dans les poteaux II et III, il nous aurait pu être possible d'utiliser $8 \phi 12 = 9,05$ pour respecter la norme.

En dernier point, il importe de souligner que les techniques de préfabrication suggérées ne trouvent leur importance que dans des constructions de château d'eau en série.

Annexe 1

Annexes

Tableau 7 : Section rectangulaire en flexion simple, sans armatures comprimées,
Pour l'utilisation du tableau dans le cas de la section en T,

μ	α	β	1 000 ϵ_s	μ	α	β	1 000 ϵ_s	μ	α	β	1 000 ϵ_s
0,000	0,0000	1,000	10	0,080	0,1044	0,958	10	0,160	0,2193	0,912	10
0,002	0,0025	0,999	10	0,082	0,1071	0,957	10	0,162	0,2223	0,911	10
0,004	0,0050	0,998	10	0,084	0,1099	0,956	10	0,164	0,2253	0,910	10
0,006	0,0075	0,997	10	0,086	0,1126	0,955	10	0,166	0,2284	0,909	10
0,008	0,0100	0,996	10	0,088	0,1154	0,954	10	0,168	0,2314	0,907	10
0,010	0,0126	0,995	10	0,090	0,1181	0,953	10	0,170	0,2345	0,906	10
0,012	0,0151	0,994	10	0,092	0,1209	0,952	10	0,172	0,2376	0,905	10
0,014	0,0176	0,993	10	0,094	0,1236	0,951	10	0,174	0,2406	0,904	10
0,016	0,0201	0,992	10	0,096	0,1264	0,949	10	0,176	0,2438	0,902	10
0,018	0,0227	0,991	10	0,098	0,1291	0,948	10	0,178	0,2469	0,901	10
0,020	0,0252	0,990	10	0,100	0,1320	0,947	10	0,180	0,2500	0,900	10
0,022	0,0279	0,989	10	0,102	0,1348	0,946	10	0,182	0,2531	0,899	10
0,024	0,0304	0,988	10	0,104	0,1376	0,945	10	0,184	0,2562	0,898	10
0,026	0,0330	0,987	10	0,106	0,1404	0,944	10	0,186	0,2594	0,896	10
0,028	0,0355	0,986	10	0,108	0,1431	0,943	10	0,188	0,2626	0,895	9,83
0,030	0,0381	0,985	10	0,110	0,1460	0,942	10	0,190	0,2658	0,894	9,67
0,032	0,0406	0,984	10	0,112	0,1489	0,940	10	0,192	0,2689	0,892	9,52
0,034	0,0432	0,983	10	0,114	0,1517	0,939	10	0,194	0,2721	0,891	9,36
0,036	0,0459	0,982	10	0,116	0,1546	0,938	10	0,196	0,2753	0,890	9,21
0,038	0,0485	0,981	10	0,118	0,1574	0,937	10	0,198	0,2785	0,889	9,07
0,040	0,0510	0,980	10	0,120	0,1603	0,936	10	0,200	0,2818	0,887	8,92
0,042	0,0536	0,979	10	0,122	0,1631	0,935	10	0,202	0,2850	0,886	8,78
0,044	0,0562	0,978	10	0,124	0,1660	0,934	10	0,204	0,2882	0,885	8,64
0,046	0,0589	0,976	10	0,126	0,1689	0,932	10	0,206	0,2915	0,883	8,51
0,048	0,0615	0,975	10	0,128	0,1719	0,931	10	0,208	0,2948	0,882	8,37
0,050	0,0641	0,974	10	0,130	0,1748	0,930	10	0,210	0,2980	0,881	8,24
0,052	0,0667	0,973	10	0,132	0,1776	0,929	10	0,212	0,3013	0,879	8,12
0,054	0,0694	0,972	10	0,134	0,1805	0,928	10	0,214	0,3046	0,878	7,99
0,056	0,0721	0,971	10	0,136	0,1835	0,927	10	0,216	0,3079	0,877	7,87
0,058	0,0747	0,970	10	0,138	0,1864	0,925	10	0,218	0,3112	0,876	7,75
0,060	0,0774	0,969	10	0,140	0,1894	0,924	10	0,220	0,3146	0,874	7,63
0,062	0,0801	0,968	10	0,142	0,1923	0,923	10	0,222	0,3179	0,873	7,51
0,064	0,0828	0,967	10	0,144	0,1953	0,922	10	0,224	0,3212	0,872	7,40
0,066	0,0854	0,966	10	0,146	0,1983	0,921	10	0,226	0,3246	0,870	7,28
0,068	0,0881	0,965	10	0,148	0,2013	0,919	10	0,228	0,3280	0,869	7,17
0,070	0,0907	0,964	10	0,150	0,2041	0,918	10	0,230	0,3315	0,867	7,06
0,072	0,0935	0,963	10	0,152	0,2071	0,917	10	0,232	0,3349	0,866	6,95
0,074	0,0962	0,962	10	0,154	0,2101	0,916	10	0,234	0,3383	0,865	6,85
0,076	0,0989	0,960	10	0,156	0,2131	0,915	10	0,236	0,3417	0,863	6,74
0,078	0,1016	0,959	10	0,158	0,2162	0,914	10	0,238	0,3451	0,862	6,64

Tableau 1

Annexes

diagramme rectangulaire. Valeurs de α , β et 1 000 ϵ_s , en fonction de μ
voir deuxième partie, chapitre II, section II.

μ	α	β	1 000 ϵ_s	μ	α	β	1 000 ϵ_s	μ	α	β	1 000 ϵ_s
0,240	0,3486	0,861	6,54	0,320	0,5000	0,800	3,500	0,400	0,6910	0,724	1,565
0,242	0,3521	0,859	6,44	0,322	0,5041	0,798	3,443	0,402	0,6966	0,721	1,524
0,244	0,3556	0,858	6,34	0,324	0,5083	0,797	3,386	0,404	0,7023	0,719	1,484
0,246	0,3591	0,856	6,25	0,326	0,5126	0,795	3,328	0,406	0,7080	0,717	1,444
0,248	0,3626	0,855	6,15	0,328	0,5169	0,793	3,271	0,408	0,7138	0,714	1,403
0,250	0,3661	0,854	6,06	0,330	0,5211	0,792	3,217	0,410	0,7196	0,712	1,364
0,252	0,3696	0,852	5,97	0,332	0,5254	0,790	3,162	0,412	0,7256	0,710	1,324
0,254	0,3732	0,851	5,88	0,334	0,5297	0,788	3,107	0,414	0,7316	0,707	1,284
0,256	0,3768	0,849	5,79	0,336	0,5341	0,786	3,053	0,416	0,7376	0,705	1,245
0,258	0,3804	0,848	5,70	0,338	0,5385	0,785	3,000	0,418	0,7438	0,702	1,205
0,260	0,3840	0,846	5,62	0,340	0,5429	0,783	2,947	0,420	0,7500	0,700	1,166
0,262	0,3876	0,845	5,53	0,342	0,5474	0,781	2,894	0,422	0,7562	0,697	1,128
0,264	0,3913	0,843	5,45	0,344	0,5518	0,779	2,843	0,424	0,7626	0,695	1,090
0,266	0,3949	0,842	5,36	0,346	0,5563	0,777	2,792	0,426	0,7691	0,692	1,051
0,268	0,3985	0,841	5,28	0,348	0,5608	0,776	2,741	0,428	0,7756	0,690	1,013
0,270	0,4022	0,839	5,20	0,350	0,5654	0,774	2,690	0,430	0,7822	0,687	974
0,272	0,4059	0,838	5,12	0,352	0,5699	0,772	2,641	0,432	0,7890	0,684	936
0,274	0,4096	0,836	5,04	0,354	0,5745	0,770	2,592	0,434	0,7959	0,682	898
0,276	0,4134	0,835	4,97	0,356	0,5791	0,768	2,544	0,436	0,8028	0,679	860
0,278	0,4171	0,833	4,89	0,358	0,5838	0,766	2,495	0,438	0,8099	0,676	822
0,280	0,4209	0,832	4,82	0,360	0,5885	0,765	2,447	0,440	0,8170	0,673	784
0,282	0,4246	0,830	4,74	0,362	0,5933	0,763	2,399	0,442	0,8242	0,670	746
0,284	0,4284	0,829	4,67	0,364	0,5981	0,761	2,352	0,444	0,8316	0,667	708
0,286	0,4322	0,827	4,60	0,366	0,6029	0,759	2,305	0,446	0,8393	0,664	670
0,288	0,4361	0,826	4,53	0,368	0,6078	0,757	2,258	0,448	0,8469	0,661	633
0,290	0,4399	0,824	4,46	0,370	0,6126	0,755	2,213	0,450	0,8547	0,658	595
0,292	0,4437	0,823	4,39	0,372	0,6175	0,753	2,168	0,452	0,8627	0,655	557
0,294	0,4476	0,821	4,32	0,374	0,6225	0,751	2,123	0,454	0,8709	0,652	519
0,296	0,4516	0,819	4,25	0,376	0,6275	0,749	2,078	0,456	0,8792	0,648	481
0,298	0,4555	0,818	4,18	0,378	0,6325	0,747	2,034	0,458	0,8877	0,645	443
0,300	0,4595	0,816	4,12	0,380	0,6376	0,745	1,990	0,460	0,8965	0,641	404
0,302	0,4634	0,815	4,05	0,382	0,6427	0,743	1,946	0,462	0,9054	0,638	366
0,304	0,4674	0,813	3,99	0,384	0,6479	0,741	1,902	0,464	0,9146	0,634	327
0,306	0,4714	0,811	3,92	0,386	0,6531	0,739	1,859	0,466	0,9240	0,630	288
0,308	0,4754	0,810	3,86	0,388	0,6584	0,737	1,816	0,468	0,9337	0,626	248
0,310	0,4795	0,808	3,80	0,390	0,6637	0,735	1,773	0,470	0,9438	0,622	208
0,312	0,4835	0,807	3,74	0,392	0,6691	0,732	1,731	0,472	0,9542	0,618	168
0,314	0,4876	0,805	3,68	0,394	0,6745	0,730	1,689	0,474	0,9650	0,614	127
0,316	0,4918	0,803	3,62	0,396	0,6799	0,728	1,648	0,476	0,9761	0,610	0,086
0,318	0,4959	0,802	3,56	0,398	0,6854	0,726	1,607	0,478	0,987		

Tableau 2Valeurs de β_1 , k et ρ_1 en fonction de μ_1

μ_1	β_1	k	ρ_1	μ_1	β_1	k	ρ_1	μ_1	β_1	k	ρ_1
0,5222	0,680	1,600	76,80	0,0394	0,770	0,148	5,12	0,0087	0,860	0,048	1,01
0,4498	0,682	1,382	65,95	0,0381	0,772	0,144	4,93	0,0084	0,862	0,047	0,97
0,3940	0,684	1,215	57,61	0,0368	0,774	0,140	4,76	0,0081	0,864	0,046	0,94
0,3498	0,686	1,082	51,00	0,0356	0,776	0,137	4,59	0,0078	0,866	0,045	0,90
0,3139	0,688	0,975	45,63	0,0344	0,778	0,133	4,43	0,0075	0,868	0,044	0,87
0,2842	0,690	0,886	41,19	0,0333	0,780	0,129	4,27	0,0072	0,870	0,043	0,83
0,2591	0,692	0,812	37,45	0,0322	0,782	0,126	4,12	0,0070	0,872	0,042	0,80
0,2377	0,694	0,746	34,26	0,0312	0,784	0,123	3,98	0,0067	0,874	0,041	0,77
0,2193	0,696	0,691	31,51	0,0302	0,786	0,120	3,84	0,0064	0,876	0,039	0,73
0,2032	0,698	0,642	29,11	0,0292	0,788	0,117	3,70	0,0061	0,878	0,038	0,70
0,1890	0,700	0,600	27,00	0,0282	0,790	0,114	3,58	0,0059	0,880	0,037	0,67
0,1764	0,702	0,562	25,13	0,0273	0,792	0,111	3,45	0,0057	0,882	0,037	0,65
0,1652	0,704	0,528	23,47	0,0265	0,794	0,108	3,33	0,0055	0,884	0,036	0,62
0,1551	0,706	0,498	21,97	0,0256	0,796	0,105	3,22	0,0052	0,886	0,035	0,59
0,1460	0,708	0,472	20,63	0,0248	0,798	0,103	3,11	0,0050	0,888	0,034	0,57
0,1378	0,710	0,446	19,41	0,0240	0,800	0,100	3,00	0,0048	0,890	0,033	0,54
0,1303	0,712	0,423	18,30	0,0232	0,802	0,097	2,90	0,0046	0,892	0,032	0,52
0,1233	0,714	0,403	17,28	0,0225	0,804	0,095	2,80	0,0044	0,894	0,031	0,49
0,1170	0,716	0,384	16,35	0,0218	0,806	0,093	2,70	0,0042	0,896	0,030	0,47
0,1112	0,718	0,366	15,49	0,0211	0,808	0,091	2,61	0,0040	0,898	0,029	0,45
0,1058	0,720	0,350	14,70	0,0204	0,810	0,088	2,52	0,0038	0,900	0,029	0,43
0,1008	0,722	0,335	13,97	0,0197	0,812	0,086	2,43	0,0034	0,905	0,027	0,38
0,0962	0,724	0,321	13,29	0,0191	0,814	0,084	2,35	0,0030	0,910	0,025	0,33
0,0919	0,726	0,308	12,65	0,0185	0,816	0,082	2,27	0,0026	0,915	0,023	0,29
0,0878	0,728	0,296	12,06	0,0179	0,818	0,080	2,19	0,0023	0,920	0,021	0,25
0,0840	0,730	0,284	11,51	0,0173	0,820	0,078	2,11	0,0020	0,925	0,019	0,22
0,0805	0,732	0,273	10,99	0,0168	0,822	0,076	2,04	0,0017	0,930	0,018	0,19
0,0771	0,734	0,263	10,51	0,0162	0,824	0,075	1,97	0,0015	0,935	0,016	0,16
0,0740	0,736	0,254	10,05	0,0157	0,826	0,073	1,90	0,0012	0,940	0,015	0,13
0,0710	0,738	0,245	9,62	0,0152	0,828	0,071	1,83	0,0010	0,945	0,013	0,11
0,0682	0,740	0,236	9,22	0,0147	0,830	0,069	1,77	0,0008	0,950	0,012	0,09
0,0656	0,742	0,228	8,84	0,0142	0,832	0,068	1,71	0,0007	0,955	0,010	0,07
0,0630	0,744	0,221	8,47	0,0137	0,834	0,066	1,65	0,0005	0,960	0,009	0,05
0,0606	0,746	0,214	8,13	0,0133	0,836	0,065	1,59	0,0004	0,965	0,008	0,04
0,0584	0,748	0,207	7,81	0,0128	0,838	0,063	1,53	0,0003	0,970	0,007	0,03
0,0562	0,750	0,200	7,50	0,0124	0,840	0,062	1,48	0,0002	0,975	0,005	0,02
0,0542	0,752	0,194	7,21	0,0120	0,842	0,060	1,42	0,0001	0,980	0,004	0,01
0,0522	0,754	0,188	6,93	0,0116	0,844	0,059	1,37	0,0000	0,990	0,002	0,00
0,0504	0,756	0,182	6,66	0,0112	0,846	0,057	1,32				
0,0486	0,758	0,177	6,41	0,0108	0,848	0,056	1,27				
0,0469	0,760	0,171	6,17	0,0104	0,850	0,055	1,23				
0,0453	0,762	0,166	5,94	0,0101	0,852	0,053	1,18				
0,0437	0,764	0,161	5,72	0,0097	0,854	0,052	1,14				
0,0422	0,766	0,157	5,51	0,0094	0,856	0,051	1,10				
0,0408	0,768	0,153	5,31	0,0090	0,858	0,049	1,05				

$y_1 = \alpha_1$

Nous avons

$$\frac{\sigma_b}{\sigma_s} = \frac{y_1}{d - y_1}$$

soit :

$$\sigma_b = \frac{\alpha_1}{15(1)}$$

posons $k = \frac{\alpha_1}{15(1)}$ d'où $\sigma_b = k \sigma_s$

En outre :

$$F_b = \frac{b y_1 \sigma_b}{2}$$

Ecrivons qu

$N_e + N_i = 0$

$M_e + M_i = 0$

D'où :

$$M - F_b (d - y_1) = 0$$

Posons :

$$\frac{M}{b d^2 \sigma_s} = \mu$$

Calculons μ

$$M = F_b (d - y_1)$$

D'où :

$$A = \frac{M}{\beta_1 d \sigma_s}$$

Annexe 2

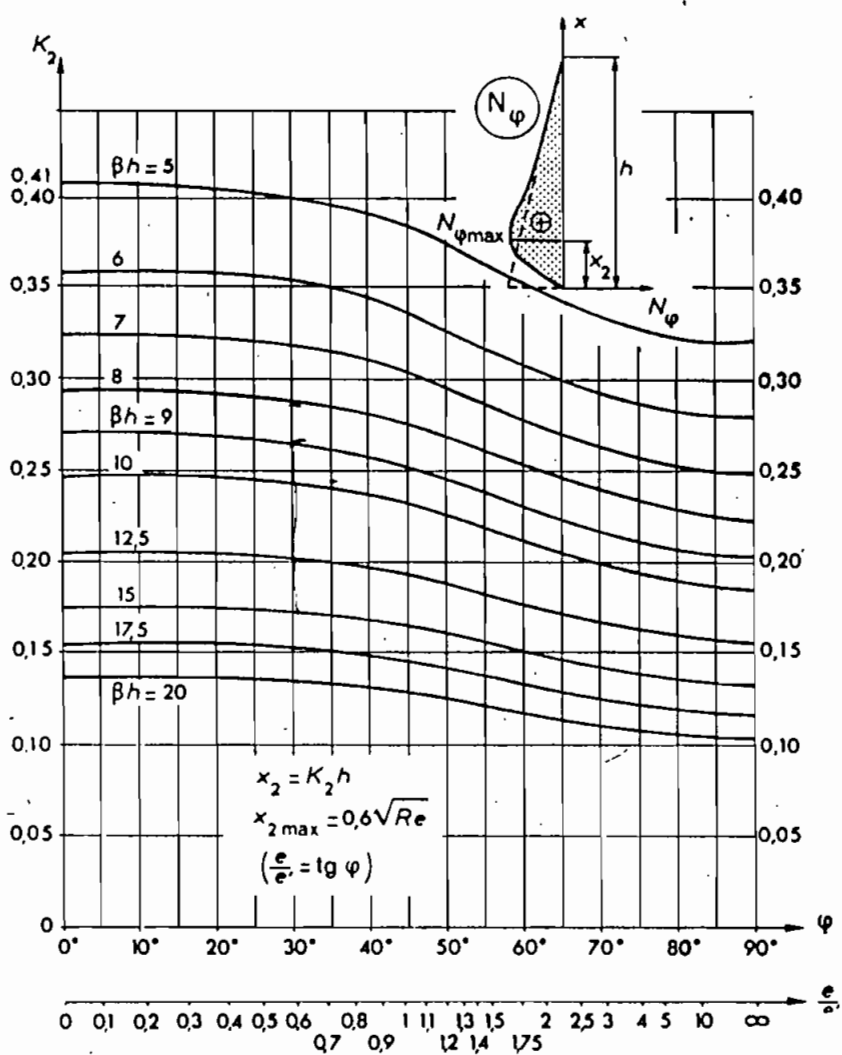


FIG. 3-138.

Figure : 1

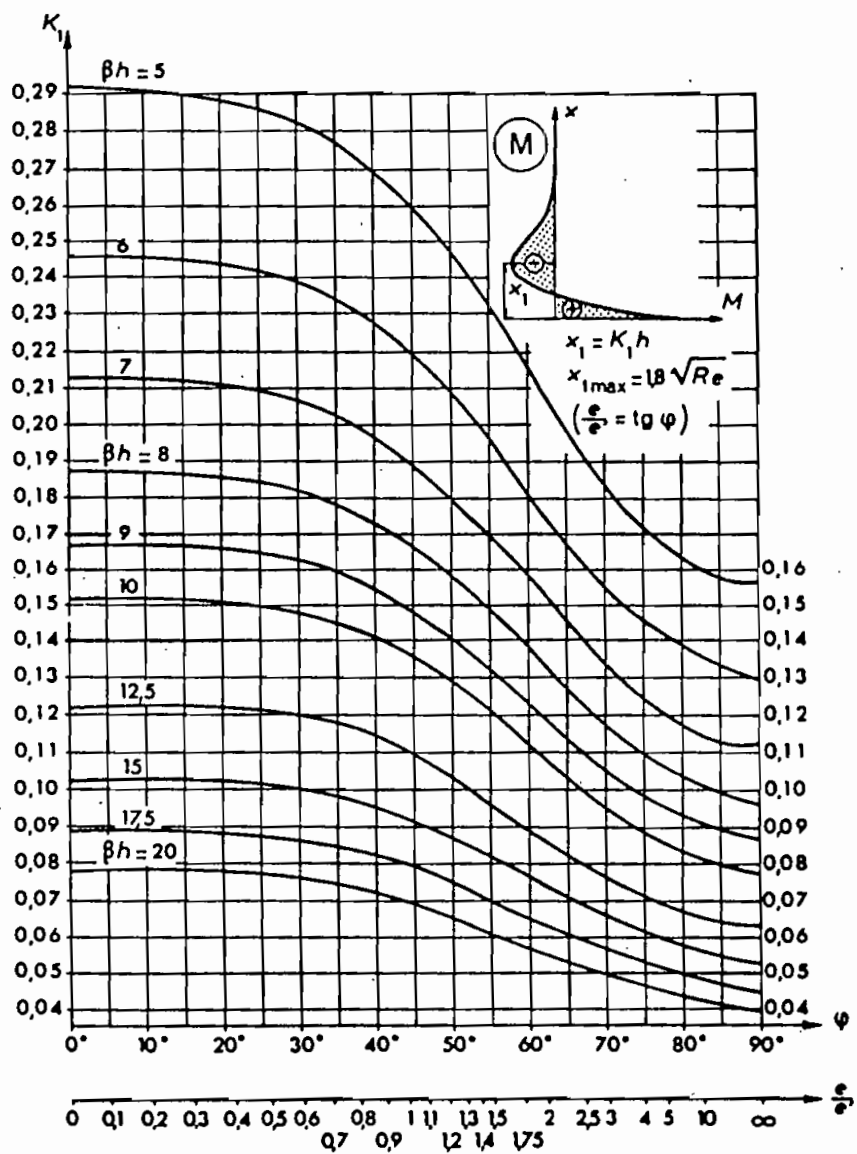


FIG. 3-136.

Figure : 4

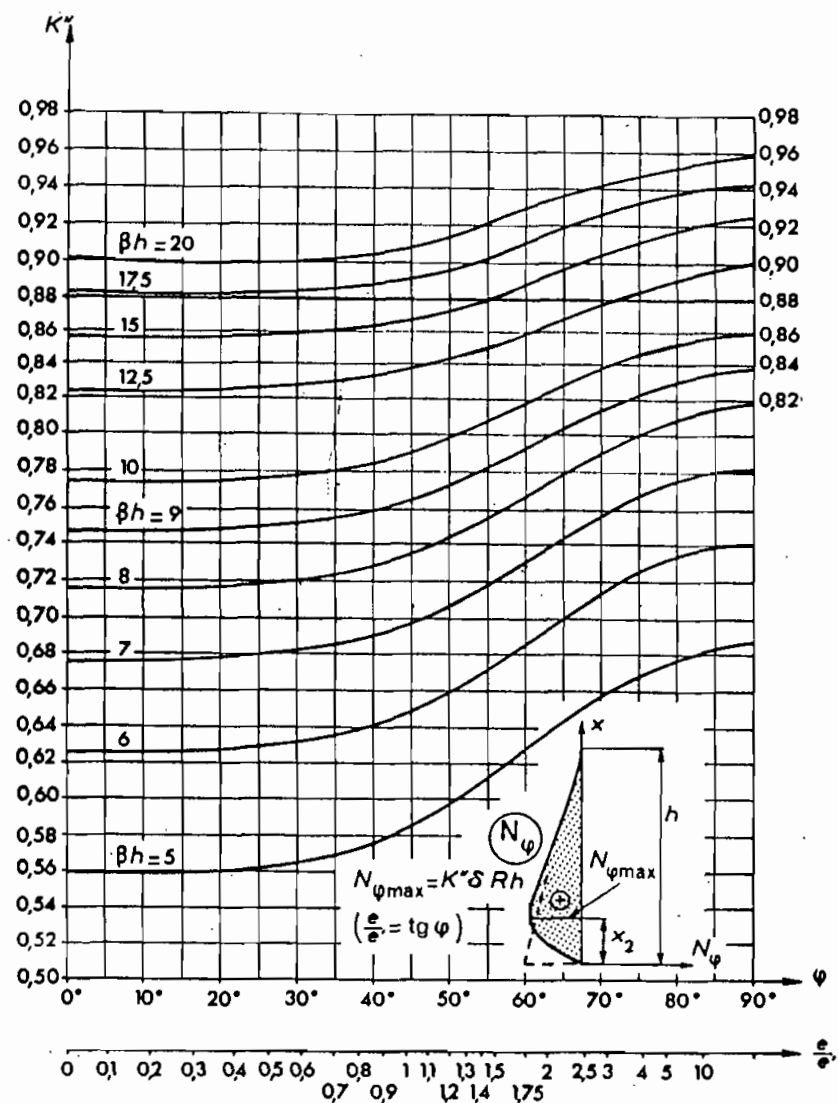


FIG. 3-139.

Figure : 5

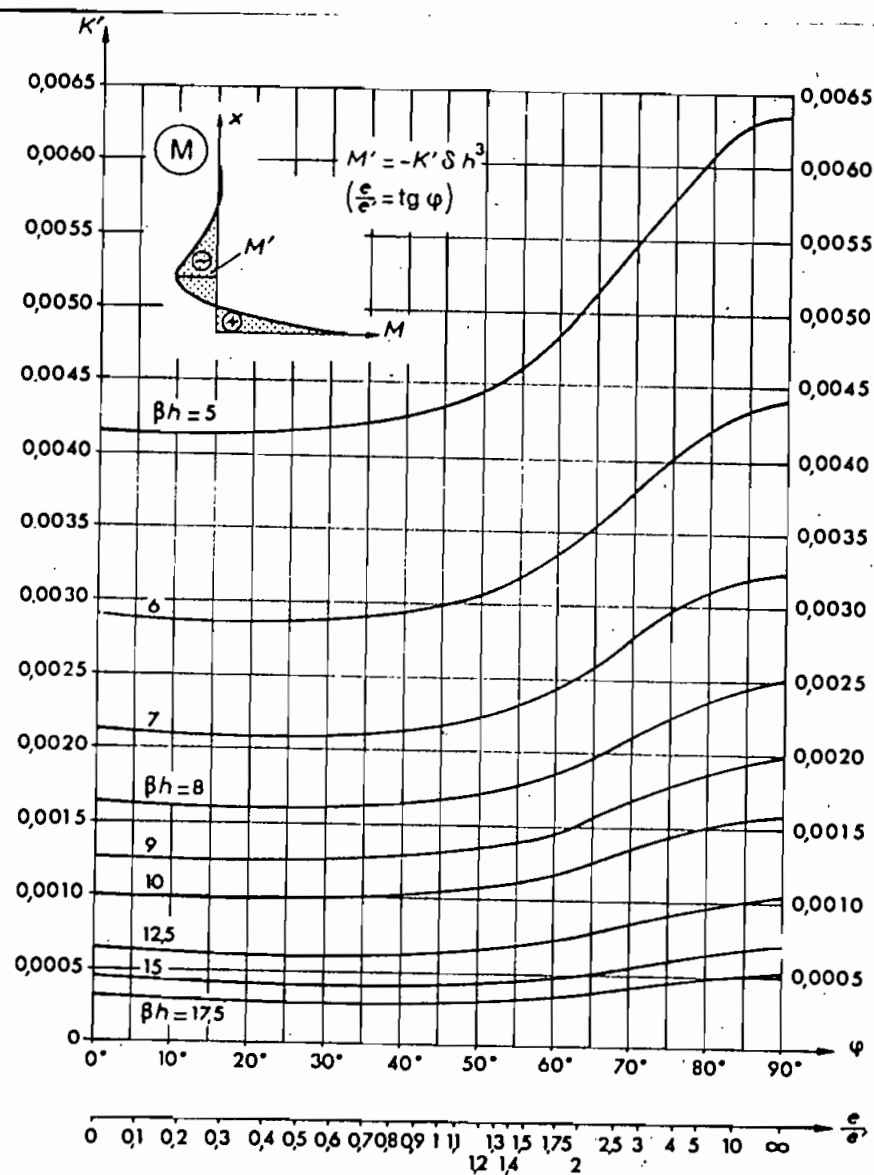
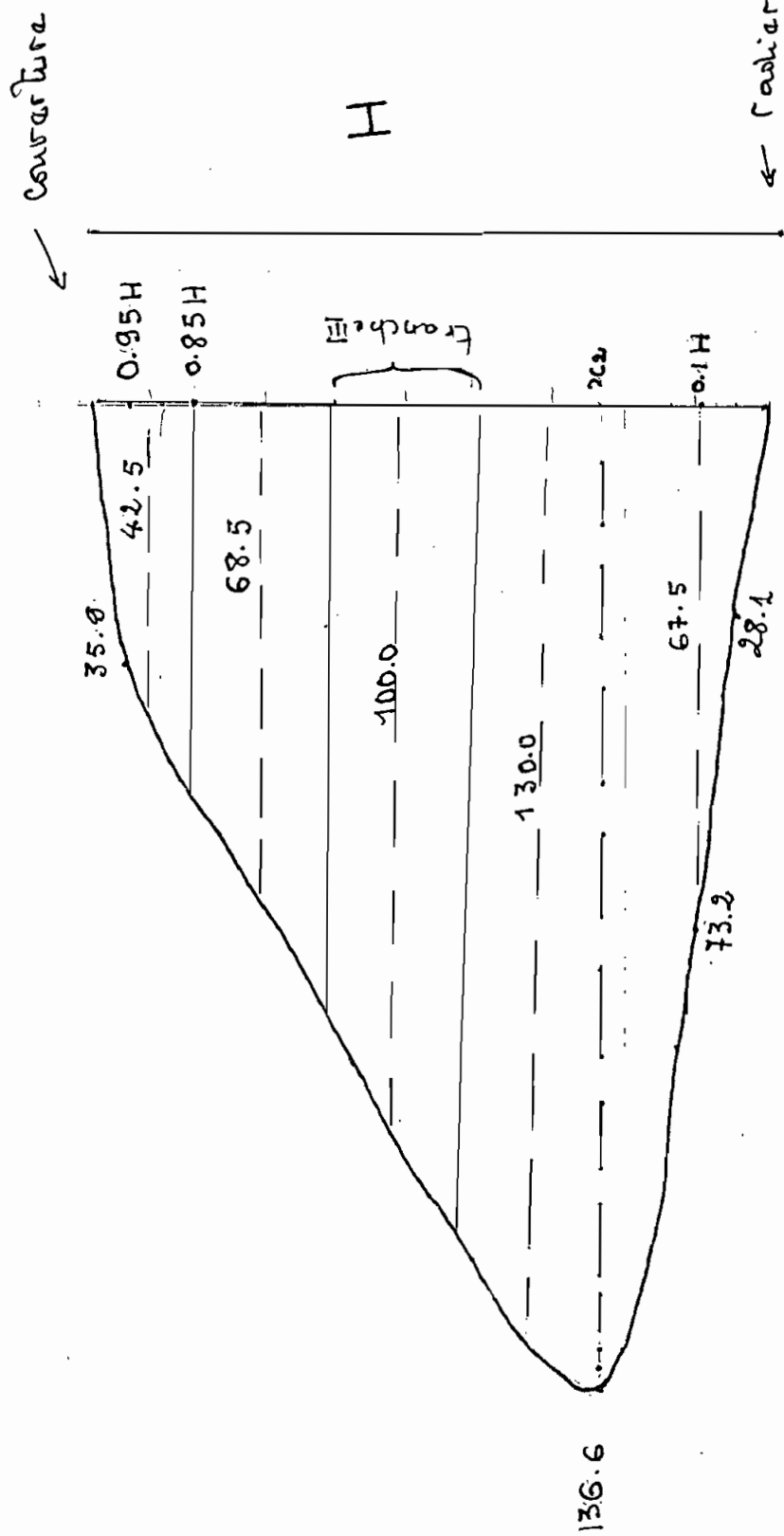


FIG. 3-137.

Figure : 6

Annexe 3

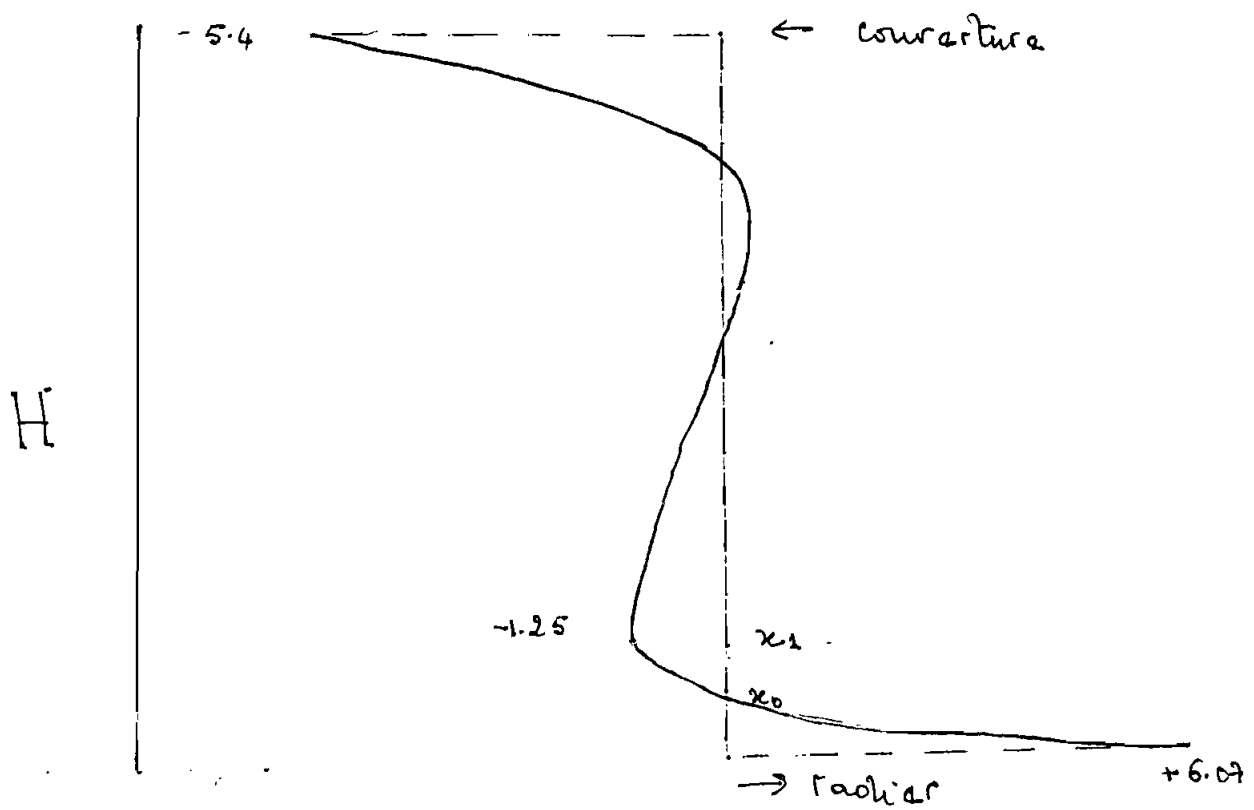
Diagramme des tensions circulaires
sous charges pondérées



$x_2 = \text{abscisse de la tension maximale}$
 $x_2 = 1.18 \text{ m}$

— — — — — pression moyenne sur la branche
 de 1m de haut au

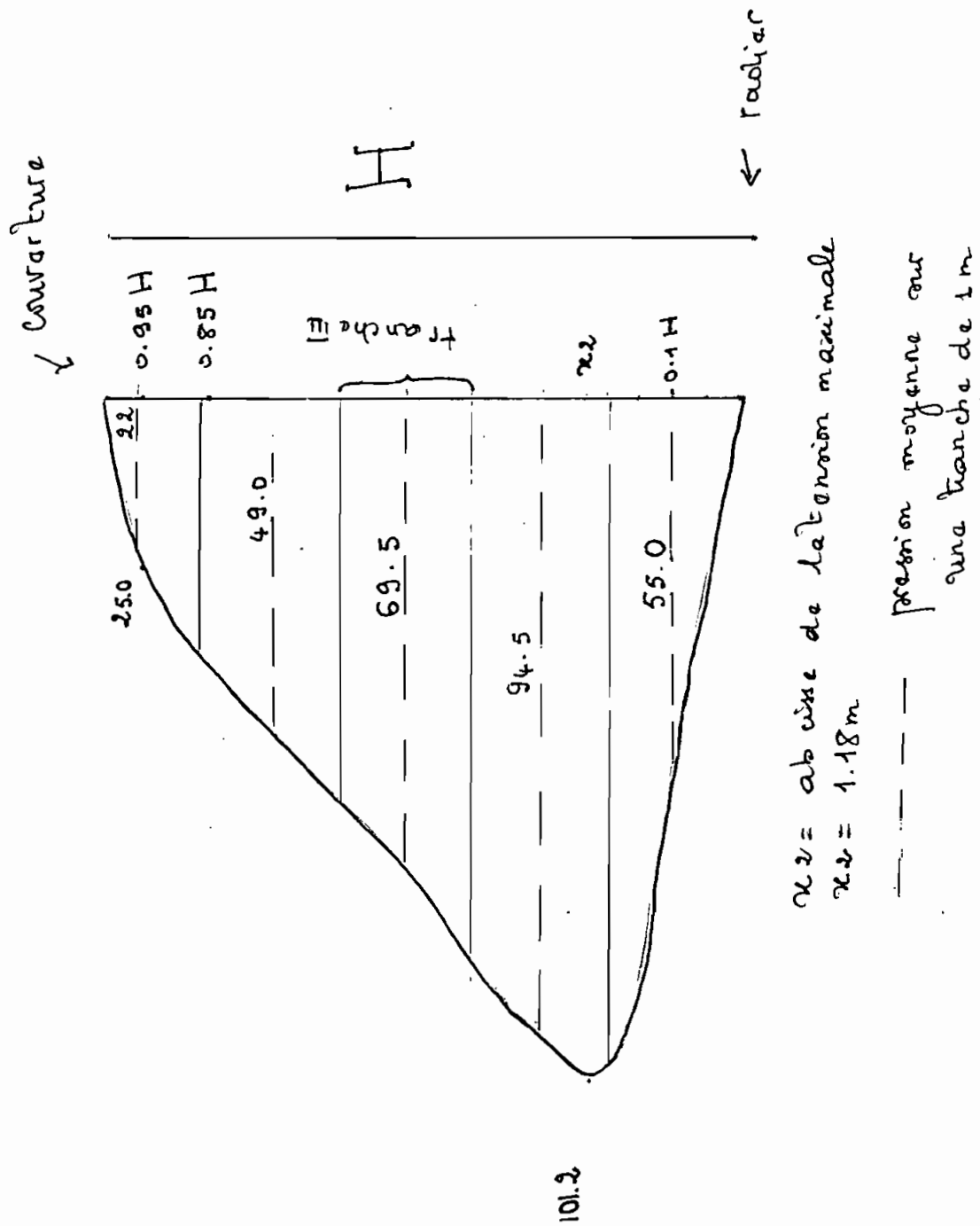
Diagramme des moments des charges
pondérées au niveau de la paroi



x_0 = abscisse du moment de flexion nul

x_1 = abscisse du moment de flexion
négatif maximal (en considérant
la charge de l'eau)

Diagramme des tensions circulaires
sous charge de service



Annexe 4

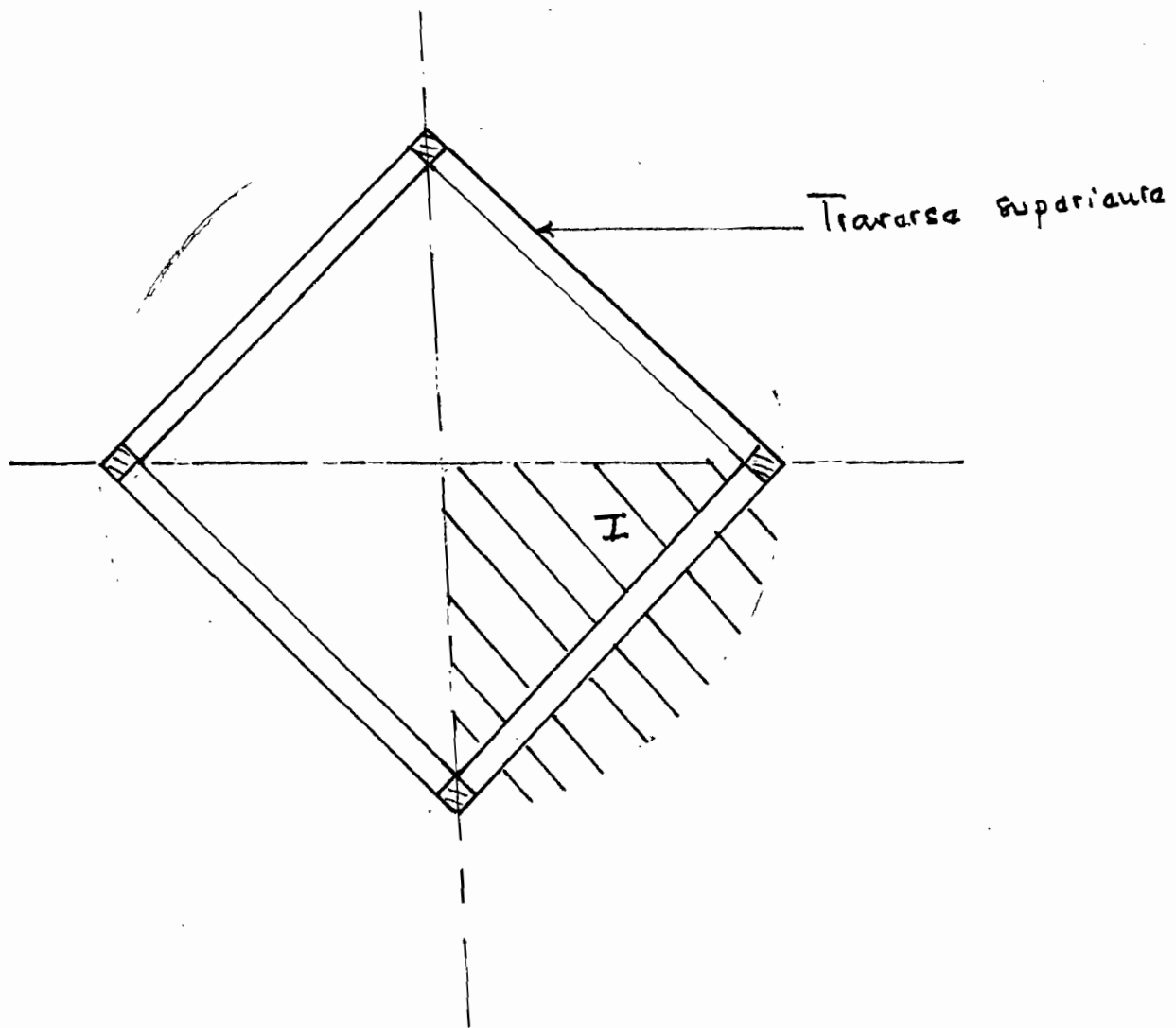


Figure 7

Vue de dessous du Château d'eau
D'encanté de charge d'un cadre

Soit p : la charge pondérée

$$p = 1.35 \times 6.95 + 1.5 \times 42.12 + 1.35 \times 5 \text{ kN/m}^{-2}$$

$$p = 79.05 \text{ kN/m}^{-2}$$

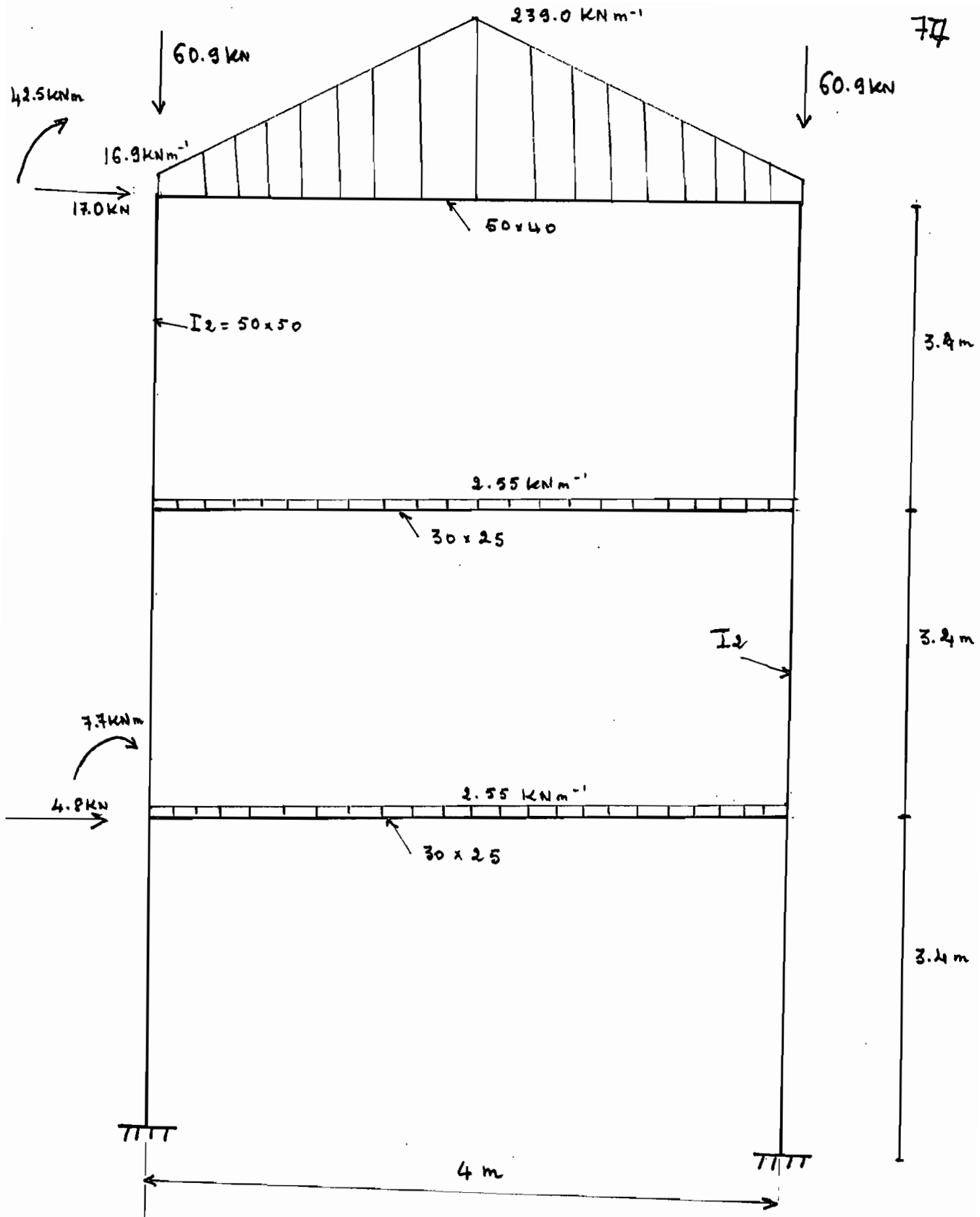


Figure 8

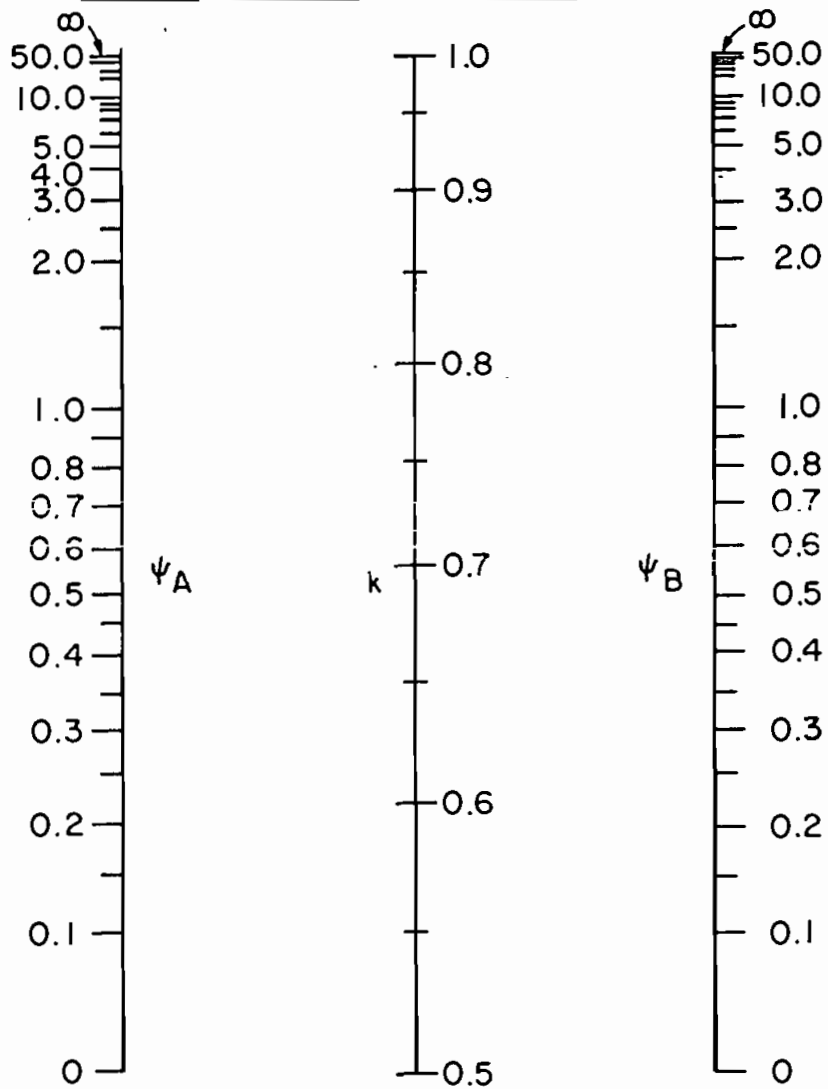
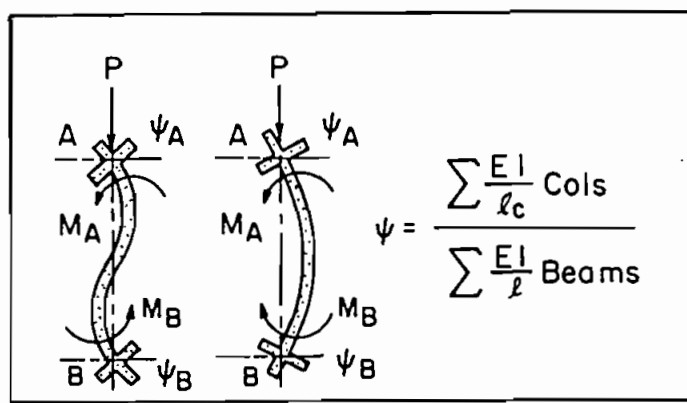


Fig. 3.1 Effective Length Factors for Braced Frames

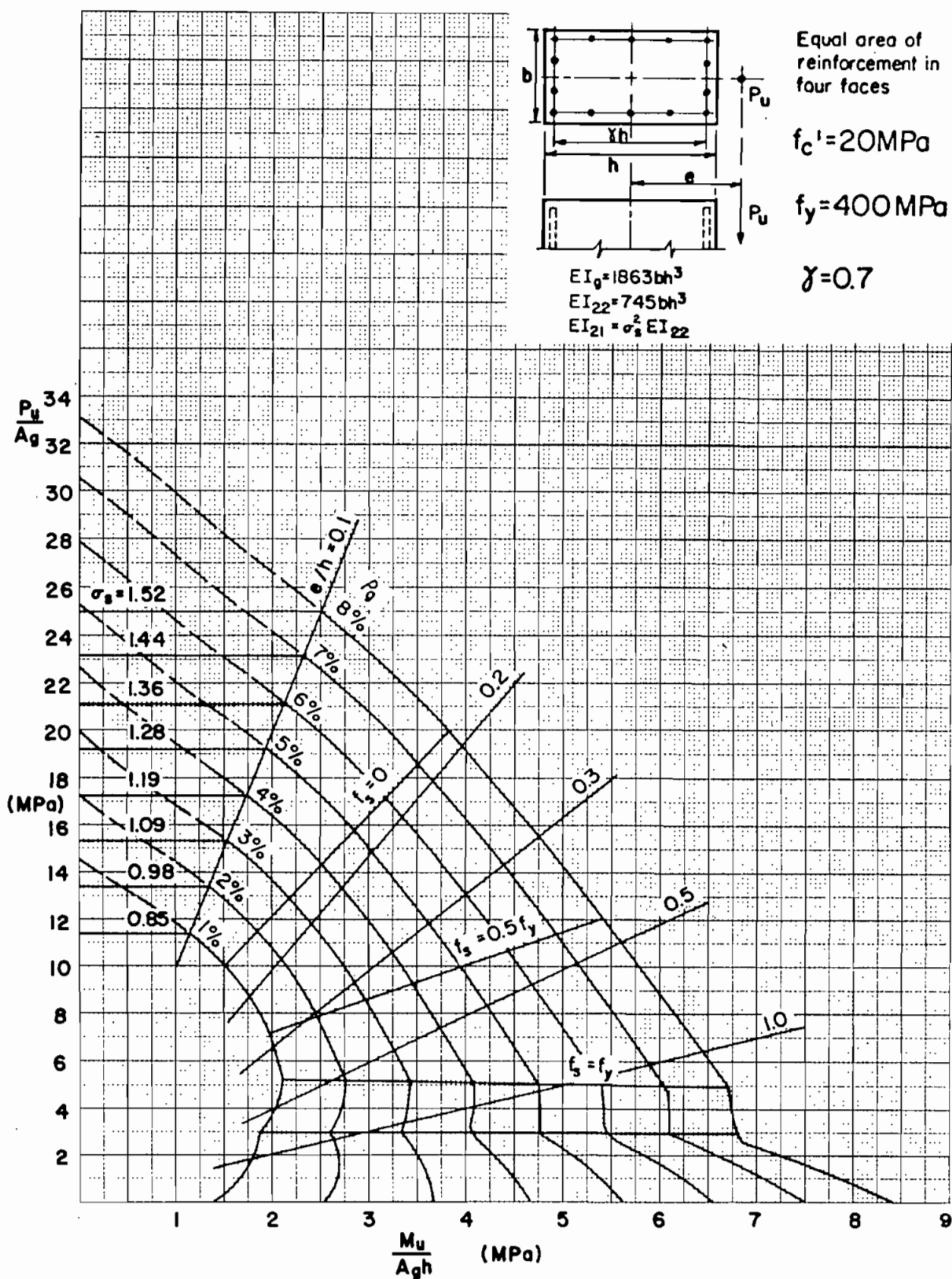


Fig. 3.31 Column Interaction Diagram
Rectangular Tied Columns

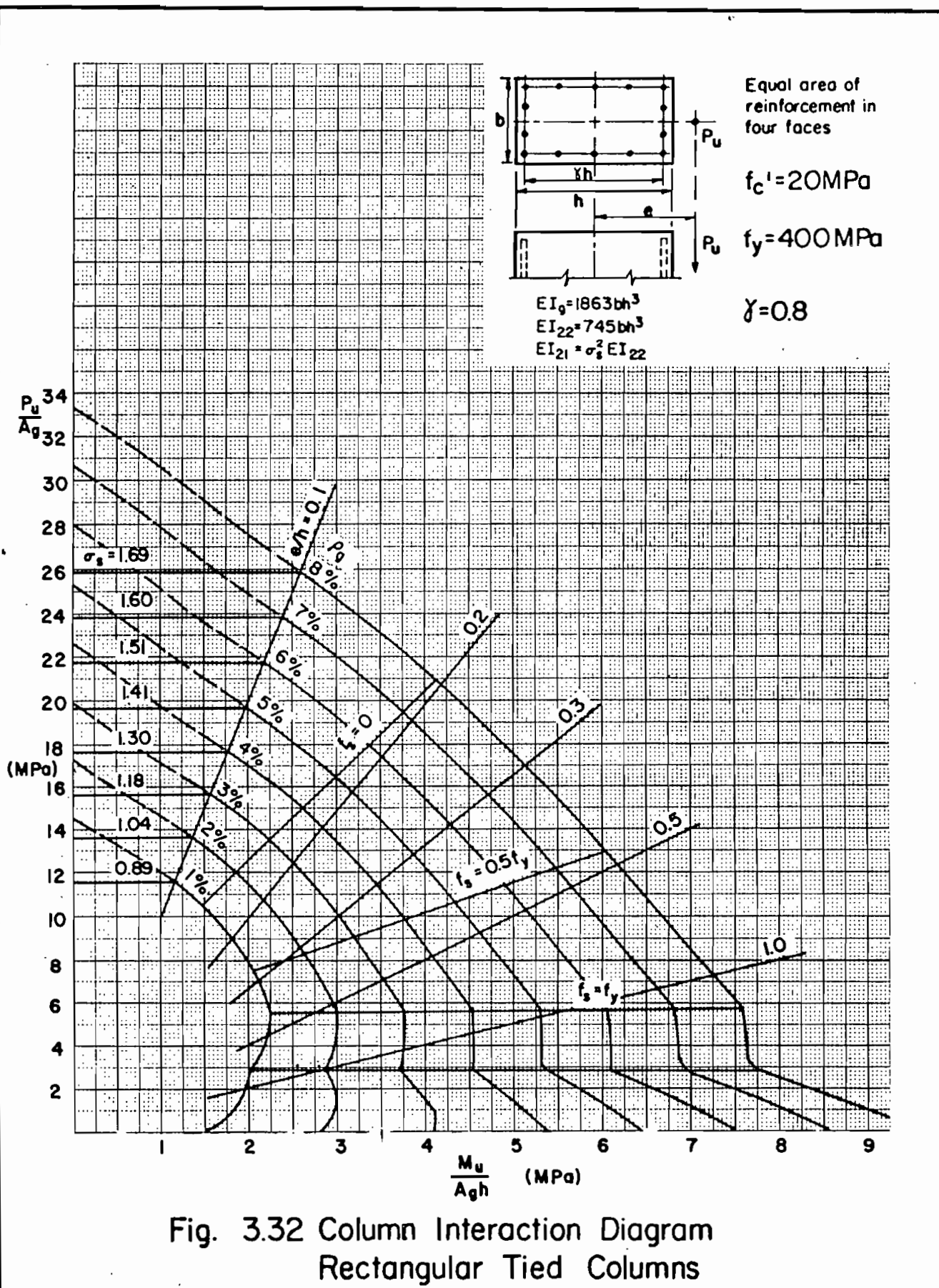


Fig. 3.32 Column Interaction Diagram
Rectangular Tied Columns

NOTE 1

81

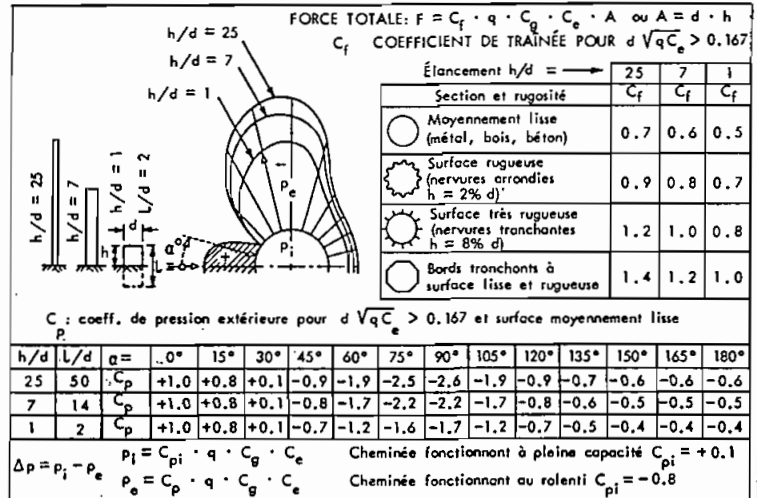
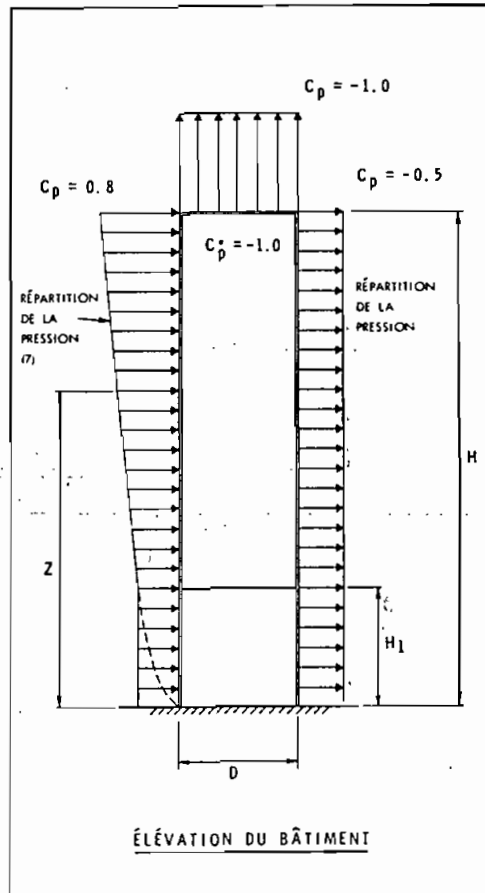
CALCUL DE LA CHARGE DE VENT S'EXERCANT SUR UN CHÂTEAU D'EAU CYLINDRIQUE DE LA RÉGION DE LOUGA

REFÉRENCES :

- 1 - EXPLOITATION MÉTÉOROLOGIQUE ASECNA
- 2 - CODE NATIONAL DU BÂTIMENT DU CANADA

NOTE PRÉLIMINAIRE :

L'INTENSITÉ DU VENT EST LA MÊME SUR TOUT LE LITTORAL DEPUIS DAKAR JUSQU'à NOUAKCHOTT.
LA RÉGION DE LOUGA EST DANS CETTE ZONE.



PRESSEION DE VENT AU NIVEAU
RÉSERVOIR :

$$P = C_f \times q \times C_g \times C_e$$

$$= 0.6 \times 0.37 \frac{kN}{m^2} \times 2 \times 1.12 = 0.50 \frac{kN}{m^2}$$

où: $C_g = 2$ méthode simplifiée
 $C_e = \left(\frac{z}{10}\right)^{0.28} = \left(\frac{15m}{10}\right)^{0.28} = 1.12$
 $z = \text{HAUTEUR}$

PRESSEION DU VENT AU NIVEAU DES COLONNES:

$$P = q \cdot C_e \times C_g \times C_p$$

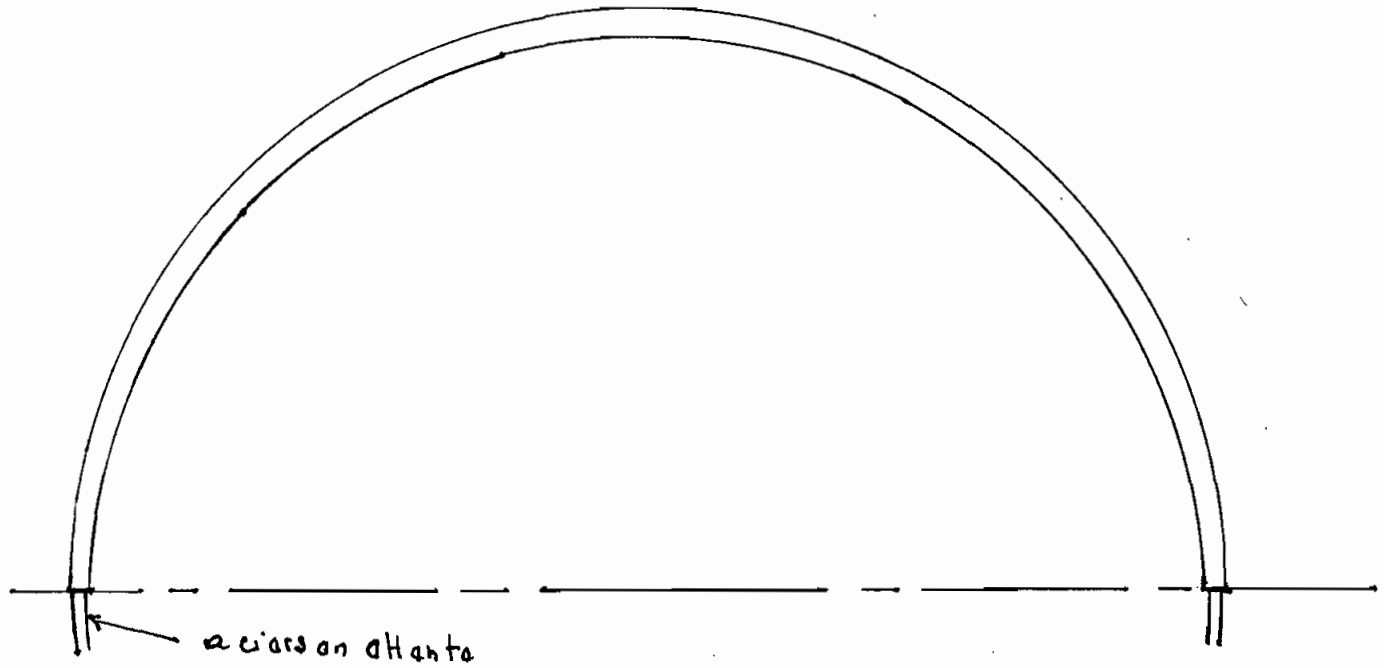
$$= 0.37 \times 0.92 \times 2 \times 1.3 = 0.89 \frac{kN}{m^2}$$

où $C_p = \left(\frac{7.5}{10}\right)^{0.28} = 0.92$ $z = 7.5m = \text{HAUTEUR MOYENNE}$

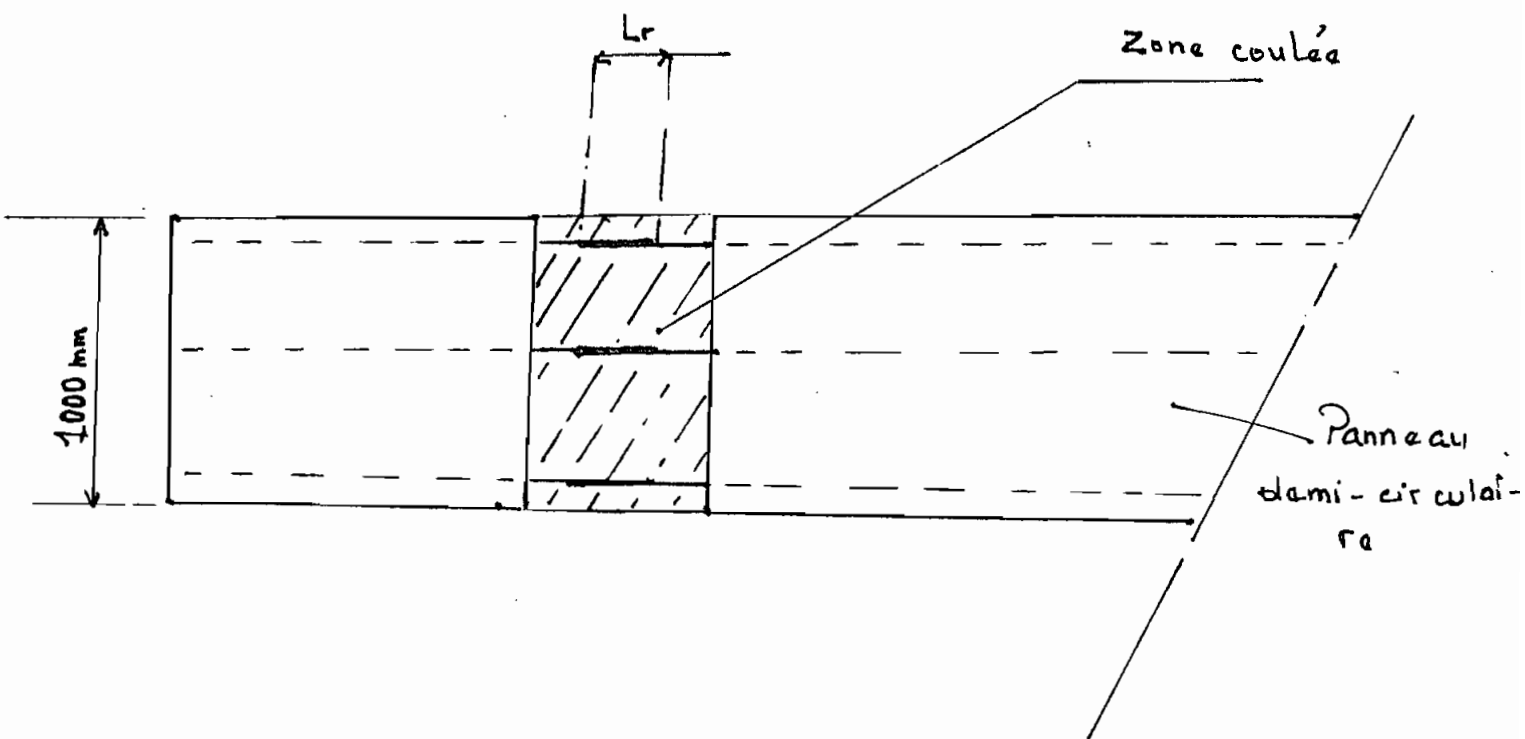
$$C_p = 0.8 (\text{pression positive}) + 0.5 (\text{suction}) = 1.3$$

Vitesse maximale instantanée du vent en m/s

	J	F	M	A	M	J	J	A	S	O	N	D
1951	15	18	16	15	16	17	21	18	18	14	12	12
1952	16	12	14	14	14	24	20	18	21	23	16	16
1953	14	14	15	12	14	13	20	16	19	12	-	11
1954	15	13	16	13	12	16	14	20	17	16	13	16
1955	14	14	15	13	13	14	18	20	21	16	15	18
1956	20	19	21	20	16	17	26	23	23	15	18	22
1957	21	16	22	21	19	19	24	26	29	27	16	16
1958	13	12	14	14	13	15	20	25	23	25	16	13
1959	20	13	16	16	14	12	23	14	26	15	14	13
1960	16	16	15	20	13	12	21	23	23	24	12	15
1961	15	14	12	12	13	25	25	21	16	13	11	13
1962	11	12	14	14	12	20	31	40	30	29	18	24
1963	25	24	17	16	14	15	30	23	24	14	9	12
1964	9	11	10	10	8	11	19	13	16	13	9	13
1965	13	10	9	11	9	10	15	19	16	20	9	11
1966	10	10	10	9	10	16	9	29	17	12	11	12
1967	12	14	12	12	11	11	16	26	22	12	18	9
1968	11	9	9	10	11	12	18	13	21	12	11	9
1969	10	9	11	13	11	9	20	31	12	9	12	13
1970	14	10	12	11	11	15	12	26	20	12	11	13
1971	11	13	12	14	12	13	22	18	18	18	11	13
1972	12	12	12	11	12	21	8	19	16	14	9	10
1973	9	11	11	13	10	11	16	14	17	10	10	11
1974	12	13	13	13	11	10	13	17	18	21	12	15
1975	12	10	13	15	11	11	13	12	19	14	12	11
1976	13	12	13	12	14	13	16	17	17	16	10	12
1977	11	13	11	11	12	14	14	15	18	10	9	10
1978	11	11	10	10	10	12	14	15	14	15	11	13
1979	12	10	11	25	23	19	18	10	11	12	10	11
1980	11	13	14	12	12	10	10	19	9	17	11	13
1981	13	11	11	10	10	15	25	17	24	14	10	11
1982	12	10	13	12	11	9	17	15	18	13	12	14

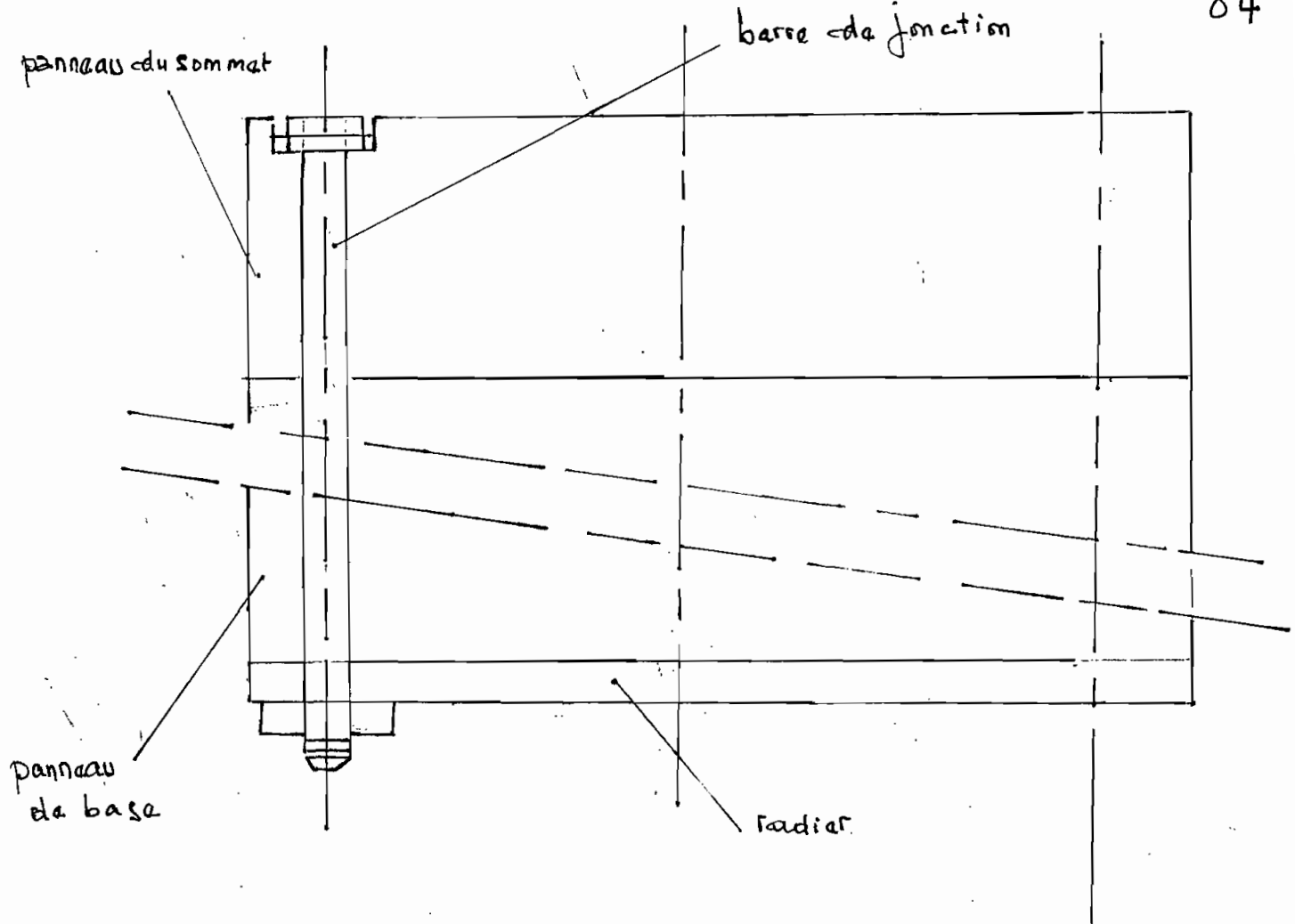


Panneau Préfabriqué demi-circulaire



Jonction de 2 panneaux demi-circulaires

Figure 9



barras d'acier de jonction des panneaux
Superposés

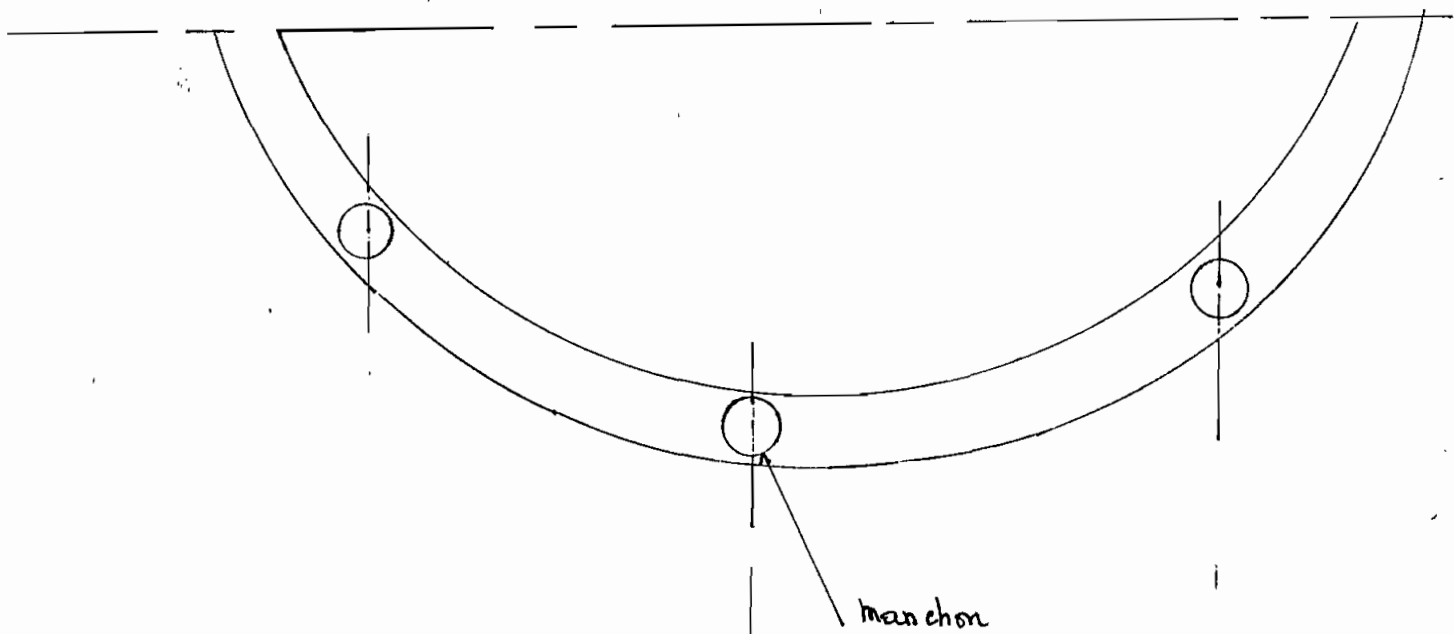


Figure: 10

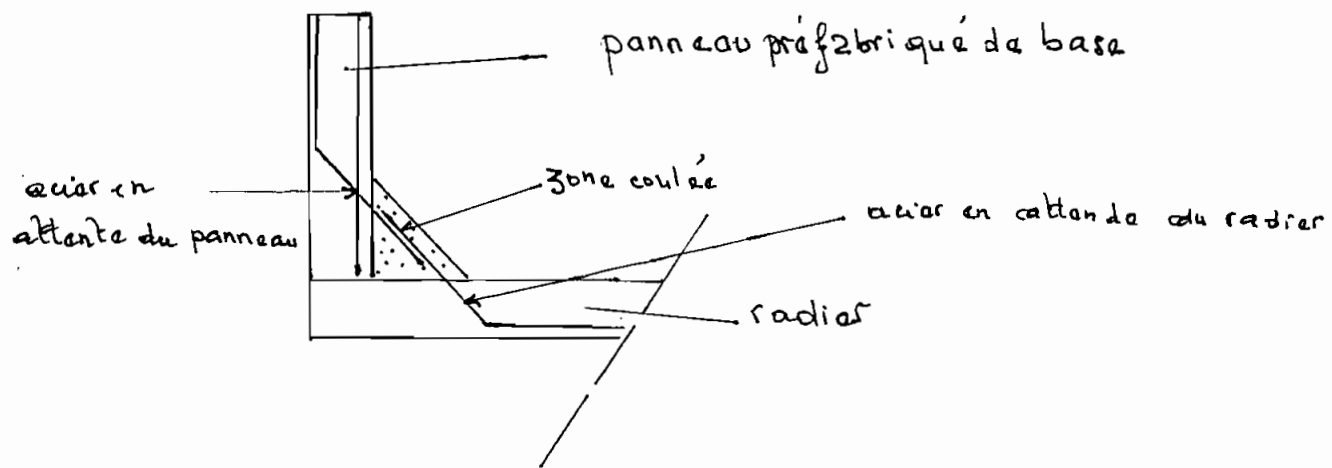
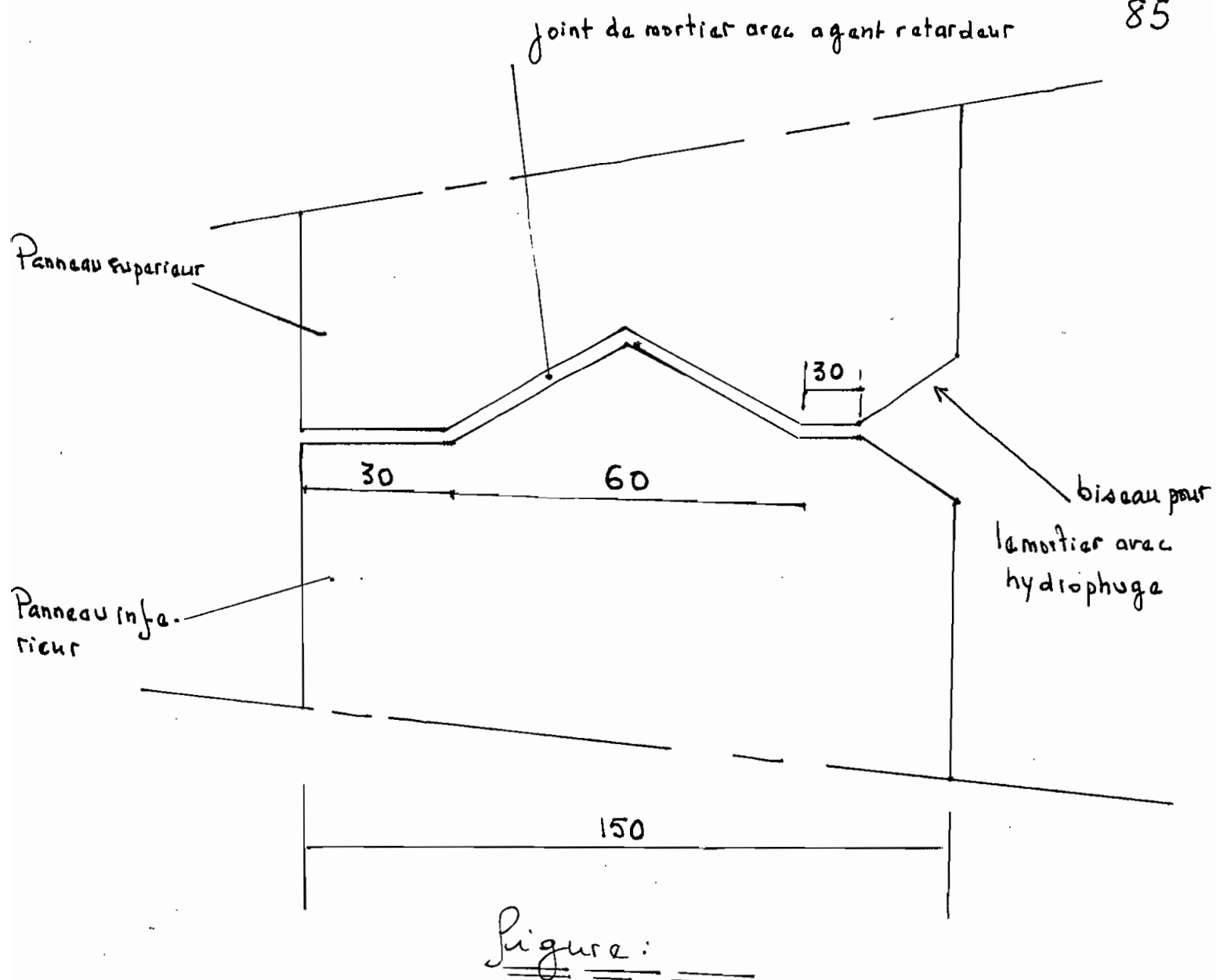


Figure: 11

ANNEXE 6

SOFTek SERVICES LTD.

- Micro Engineering Software -

REGISTRATION NO. 100158

P-FRAME

Release 1.03

<C> Copyright Softek Services Ltd. 1983,1984

STR. 01		INITIALIZING DATA				DRIVE A	
TOTAL MEMBERS	TOTAL JOINTS	TOTAL SPRINGS	TOTAL SECTIONS	TOTAL LD CASES	TOTAL LD COMB	YOUNGMOD (MPA)	SHEARMOD (MPA)
18	17	0	3	4	0	25000	10416

CLIENT: PROJET DE FIN D'ETUDE

USER NAME: OUMAR CISSE

FRAME DESCRIPTION: CHATEAU D'EAU

UNITS (M/I): M

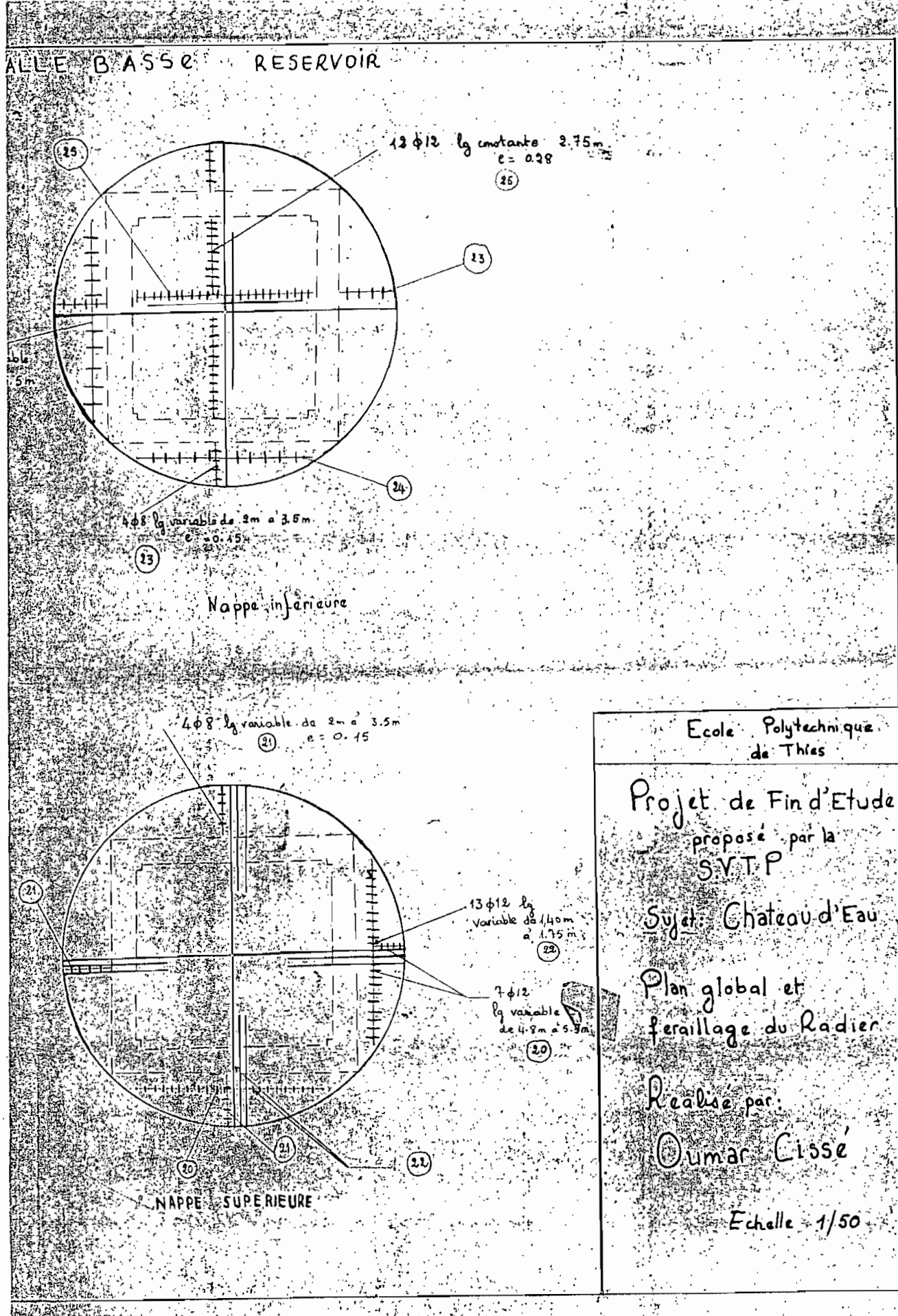
BANDWIDTH OPTIMIZATION (Y/N): Y

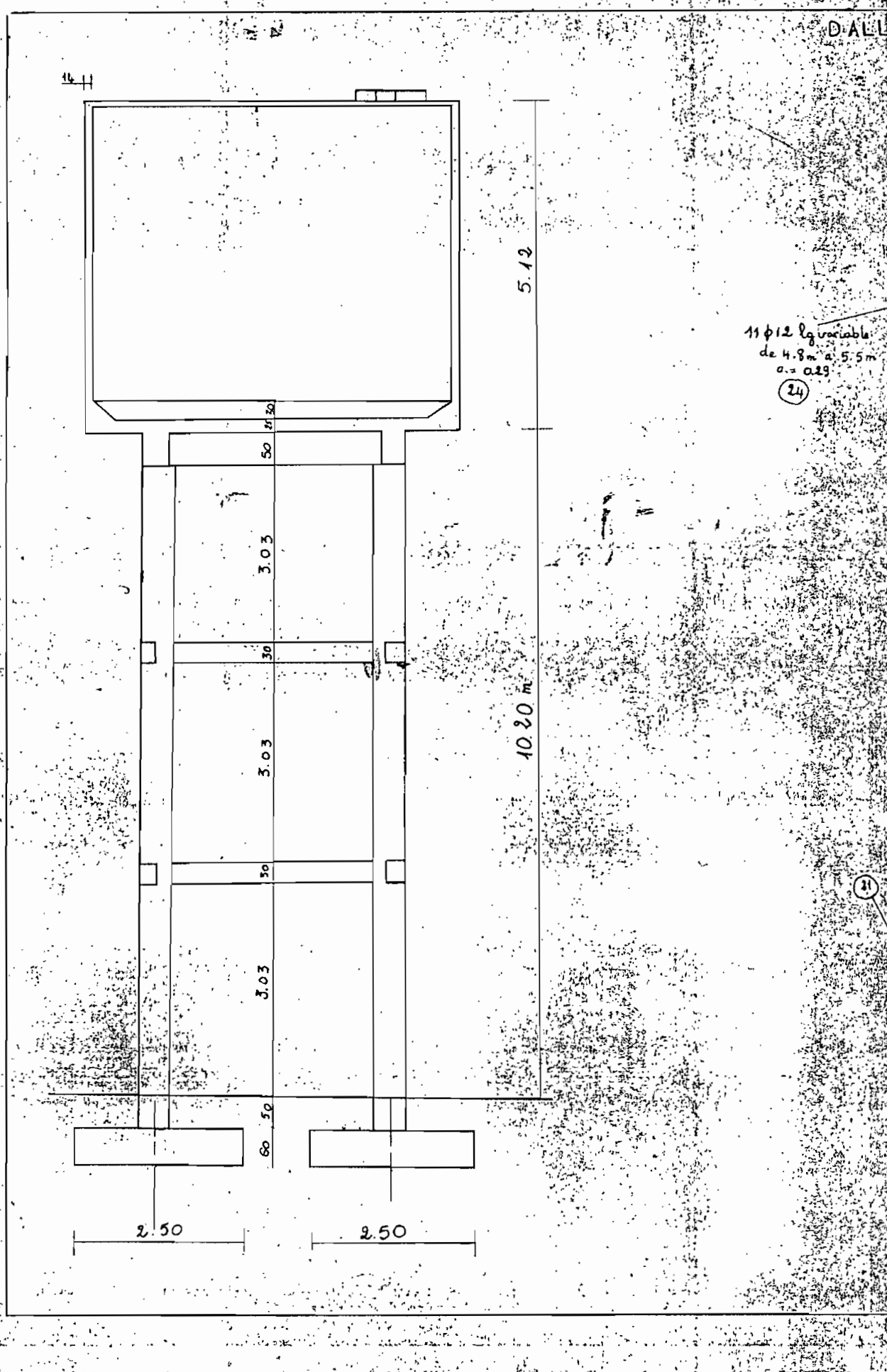
STR. 01

SUPPORT REACTIONS

DRIVE A

JOINT NUMBER	LOAD CSE	X-REACTION (KNTS)	Y-REACTION (KNTS)	Z-REACTION (KNTS-M)
1	1	-6.152	+331.750	+38.870
	2	-5.687	+222.448	+32.992
	3	-8.748	+82.475	+41.389
	4	+3.686	+369.950	-3.668
2	1	-15.648	+408.150	+48.349
	2	-12.513	+286.197	+39.819
	3	-13.052	+158.875	+45.830
	4	-3.686	+369.950	+3.668

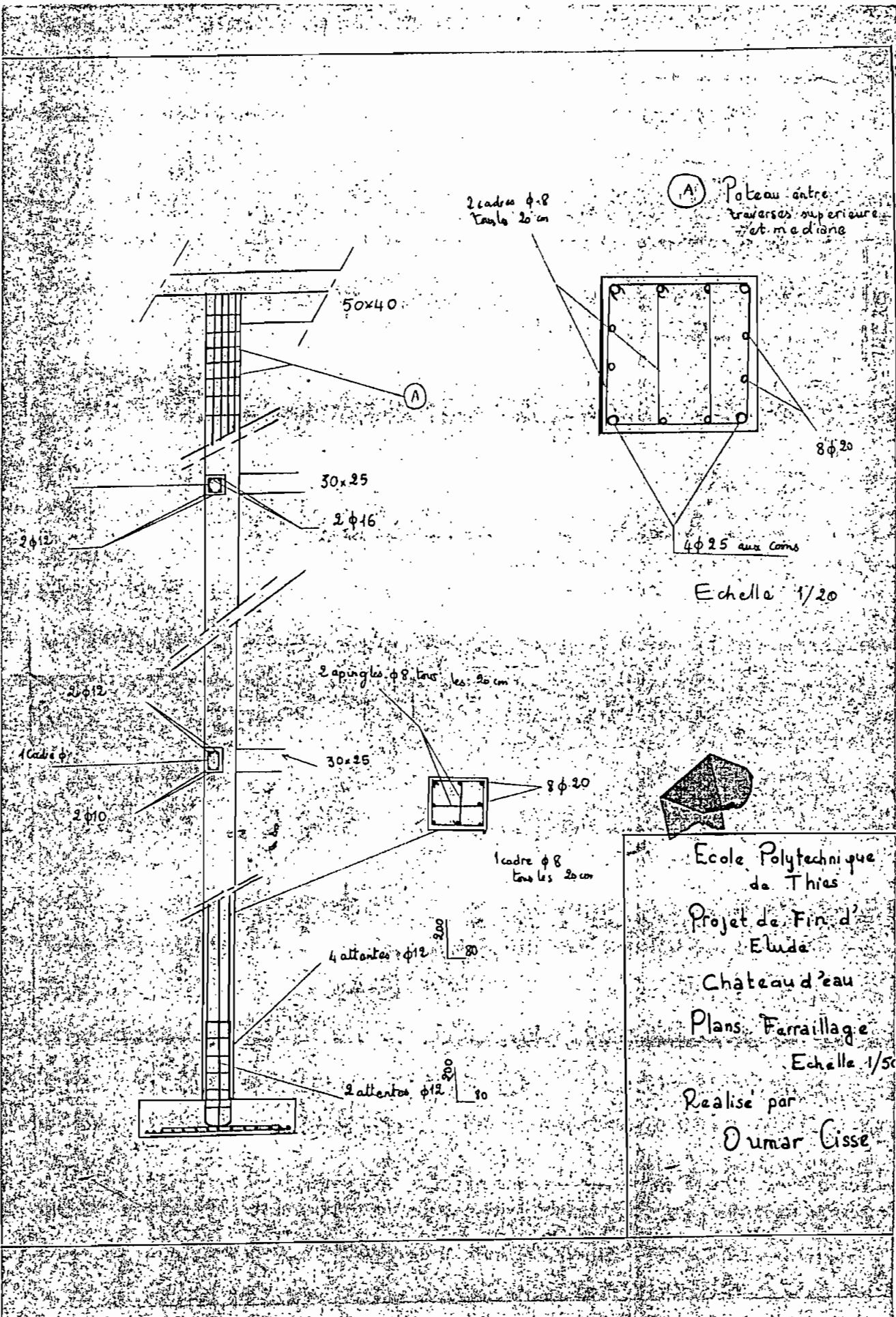




Secte Annexe 7

87b

४८८



886

5 φ 8 par mètre

ld = 139.5

32.0

25 x 20 cm

écartement
des cercles

φ cercles = 10 mm

3 φ 25

6 φ 8 mm par mètre
(4 bars sur 3 est prolongé
jusqu'au sommet)

écartement des cadres

étier φ 10

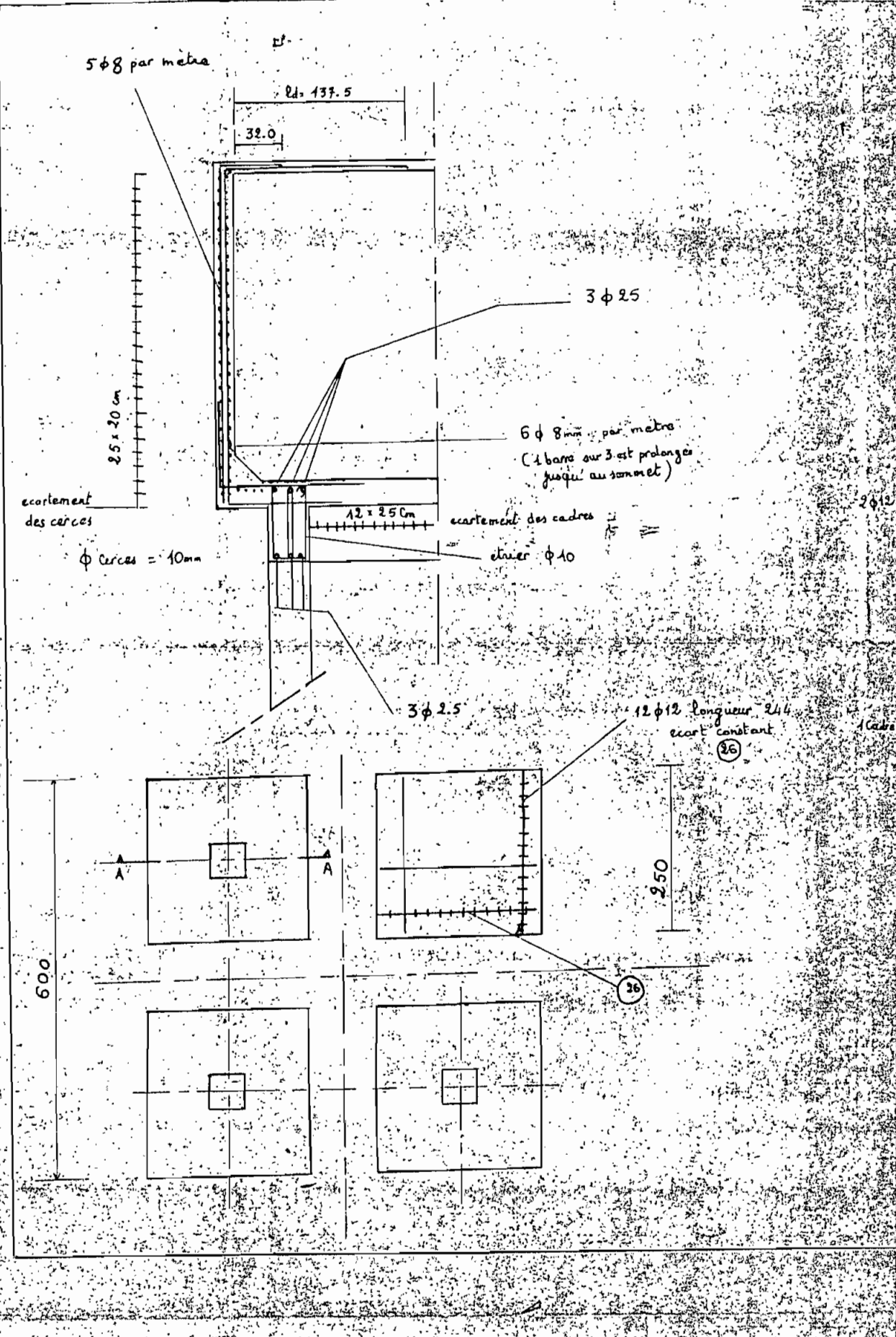
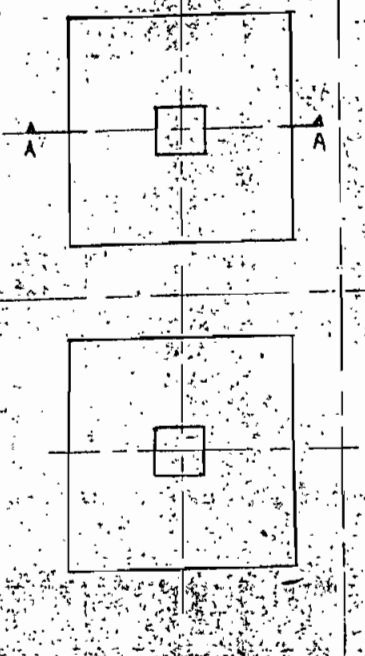
12 φ 12 longueur 246
écart constant

(26)

Cadre

250

600



HYDROFUGES

SIKALITE

Hydrofuge en poudre pour mortiers et bétons étanches



vous offre :
de nombreux avantages

Une parfaite étanchéité des mortiers par son action de feutrage dans les capillaires.

Facilite la mise en œuvre en "assouplissant" le mélange.

Aucune influence sur la vitesse de prise et de durcissement.

Aucune diminution des résistances des mortiers ou bétons.

Pas de modification du retrait ni de l'aspect du mortier.

Dosage facile : 1 sachet de 1 kg par sac de ciment.

Une conservation illimitée dans son double emballage de plastique.

Présentation

SIKALITE est un hydrofuge en poudre que l'on incorpore dans les mortiers et bétons pour les imperméabiliser.

Domaine d'application

PISCINES, RÉSERVOIRS ET CUVELAGES

Pour les réservoirs et piscines une étanchéité parfaite s'obtient facilement en appliquant un enduit de mortier à la SIKALITE de 2 à 3 cm d'épaisseur sur du béton repiqué.

Le dosage du mortier sera de 1 volume de ciment pour 2 volumes de sable et la couche de finition sera talochée et non lissée pour éviter le faïençage.

Pour les cuvelages, consultez notre notice « Cuvelage » qui vous donne tous les conseils utiles sur la méthode d'application du mortier hydrofugé.

CHAPES ÉTANCHES ET RADIERS

L'étanchéité de la chape sera obtenue par incorporation de SIKALITE au mortier dosé en ciment comme ci-dessus.

MURS ET FAÇADES

Un enduit de mortier à la SIKALITE de 2 cm d'épaisseur suffit à protéger murs et façades contre les pluies battantes, les embruns de mer et les dégradations par le gel.

Prescriptions

Article N°

Pour les enduits étanches, l'imperméabilisation des mortiers dans les cas ci-après désignés...

L'imperméabilisation des bétons dans les cas ci-après désignés...

sera assurée par l'emploi d'un adjuvant hydrofuge en poudre, du type Sikalite.

Cet adjuvant sera livré conditionné en doses prévues pour un sac de ciment et utilisé suivant les recommandations du fabricant.

L'emploi de ce produit sera sans influence sur les caractéristiques mécaniques (résistance à la flexion et à la compression) des mortiers et bétons.

ENDUITS ÉTANCHES

IMPERMÉABILISATION DES
MORTIERS ET BÉTONS

ARASE DE FONDATION

Pour n'avoir jamais de remontées capillaires d'humidité dans vos murs, appliquez en arase de fondation, une chape de 3 à 4 cm d'épaisseur de mortier additionné de SIKALITE.

Mode d'emploi

La SIKALITE se dose à raison de 2 % du poids du ciment.

verser 1 sachet de 1 kg de Sikalite par sac de 50 kg de ciment et gâcher comme à l'ordinaire.

Pour béton: 1,5 % du poids du ciment.

Pour réservoirs, piscines, cuvelages: faire un mortier à 500 kg de ciment par m^3 .

Pour les enduits de façade: faire un mortier à 400 kg de ciment par m^3 .

Utiliser des sables propres, non terreux, si possible sable de rivière lavé de 0,2 à 2 mm.

Pour les bétons: doser à 350 kg, utiliser des granulats propres.

Peut être utilisée avec de la chaux pour des enduits bâtarde (1 volume chaux, 2 volumes ciment).

Consommation :

Cuvelages, réservoirs: 100 g par m^2 et cm d'épaisseur.

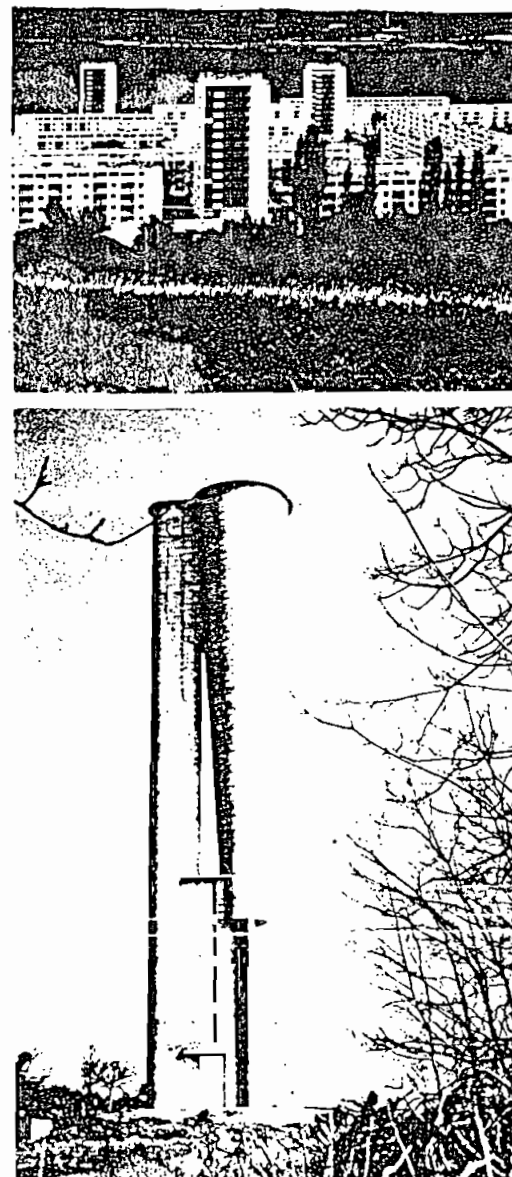
Enduits de façade: 80 g par m^2 et cm d'épaisseur.

Béton: 5 kg. m^3

Conditionnement - Emballage

SIKALITE est livrée:

- en sac plastique contenant 20 doses de 1 kg
- en seau plastique contenant 10 doses de 1 kg



Sika s.a.

Siège social :

54, rue du Faubourg
St-Honoré - Paris 8^e

Tél. (1) 359-42-15. +
Télex : 65 885 F

Les renseignements fournis par la présente notice sont donnés à titre indicatif. Ils sont basés sur notre connaissance et notre expérience à ce jour. Ils n'entraînent aucune dérogation à nos conditions générales de vente. Ils ne peuvent en aucun cas impliquer une garantie de notre part, ni engager notre responsabilité quant à l'utilisation de nos produits.

4. Sur le comportement d'une coque

4-1 Comparaison : Flexion \leftrightarrow Dilatation

Tableau 4

	Flexion	Dilatation
Répartition correspondante des contraintes	<p>$\sigma = \frac{2z}{h} \cdot \sigma_R$</p>	<p>$\sigma = \sigma_R = \text{cst}$</p>
Force élastique correspondante	Moment	Force normale (axiale)
Affirmation qualitative	Les fibres médianes et celles proches d'elles supportent peu	Utilisation uniforme des fibres
a) Sur la transmission des charges (section rectangulaire pleine supposée)		
b) Sur les déplacements	Déformations intenses	Déformations peu intenses
Énoncé mathématique Sur le travail de déformation sur la section.	$A^* = \frac{1}{2} b \int_{-\frac{h}{2}}^{\frac{h}{2}} \frac{1}{E} \left(\frac{2z}{h} \sigma_R \right)^2 dz$ $= \frac{4}{3} \cdot \frac{b \cdot \sigma_R^2}{E \cdot h^2} \left \frac{z^3}{3} \right _{-\frac{h}{2}}^{\frac{h}{2}}$ $= \frac{1}{6} \frac{b h}{E} \sigma_R^2$	$A_0^* = \frac{1}{2} \int_{-\frac{h}{2}}^{\frac{h}{2}} \frac{\sigma_R^2}{E} dz$ $= \frac{1}{2} \frac{\sigma_R^2}{E} \left z \right _{-\frac{h}{2}}^{\frac{h}{2}}$ $= \frac{1}{2} \frac{b h}{E} \sigma_R^2$
$A^* = \frac{1}{2} \int G \cdot \epsilon dF$		$\frac{A^*}{A_0^*} = \frac{1}{3}$
Exemples	<p>poutre</p> <p>$\sigma_{\max} = \frac{M_{\max}}{W} = \frac{P l}{b h^2} \cdot 6$</p> <p>$F_B = (b \cdot h)_{\text{neces}} = \frac{6 P}{G_{\text{adm}}} \frac{l}{h} \frac{h}{B}$</p> <p>$W_B = \frac{P l^3}{3 E J} = \frac{P l^3 \cdot 12}{3 E b h^3}$</p>	<p>barre de treillis</p> <p>$\sigma = \frac{P}{F} = \frac{P}{b \cdot h}$</p> <p>$F_D = \frac{P}{G_{\text{adm}}}$</p>
a) barre ①		
$h \boxed{I} \frac{ }{b}$		
$B = \frac{l}{h} > 1$		
$F = b \cdot h$		
$J = \frac{1}{12} \cdot b \cdot h^3$		
$W = \frac{1}{6} b \cdot h^2$		
Déplacements		
	$\frac{\text{erg } F_B}{\text{erg } F_D} = G \cdot B$	$w_D = \Delta l = \frac{P l}{E F} = \frac{P l}{E b \cdot h}$
	$\frac{W_B}{W_D} = 4 B^2$	

Tableau 3

Par ancastre à dans la couverture uniquement

1- Moments (10H correspond à l'anastrement)
 (KNm / m)

Point	0.8H	0.85H	0.90H	0.95H	1.0H
Coefficient	-0.049	+0.029	+0.214	+0.543	+1.000
Moment	-0.265	+0.157	+1.156	+2.932	+5.4

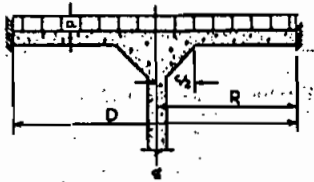
2. Tension
 (KN / m)

Point	0.75H	0.80H	0.85H	0.90H	0.95H
Coefficient	+10.65	+24.55	+43.30	+58.60	+54.45
Tension	7.03	16.20	28.58	38.68	35.94

Table XIII

Moments in circular slab with center support**Uniform load****Fixed edge**Mom. = coef. $\times pR^3$ fLb. per ft.

Positive sign indicates compression in surface loaded

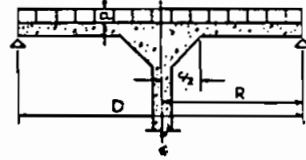


c/D	Coefficients at point												
	0.05R	0.10R	0.15R	0.20R	0.25R	0.30R	0.40R	0.50R	0.60R	0.70R	0.80R	0.90R	1.00R
	Radial moments, M_r												
0.05	-0.2100	-0.0729	-0.0275	-0.0026	+0.0133	+0.0238	+0.0342	+0.0347	+0.0277	+0.0142	-0.0049	-0.0294	-0.0589
0.10		-0.1433	-0.0624	-0.0239	-0.0011	+0.0136	+0.0290	+0.0326	+0.0276	+0.0158	-0.0021	-0.0255	-0.0561
0.15			-0.1089	-0.0521	-0.0200	+0.0002	+0.0220	+0.0293	+0.0269	+0.0169	+0.0006	-0.0216	-0.0490
0.20				-0.0862	-0.0429	-0.0161	+0.0133	+0.0249	+0.0254	+0.0176	+0.0029	-0.0178	-0.0441
0.25					-0.0698	-0.0351	+0.0029	+0.0194	+0.0231	+0.0177	+0.0049	-0.0143	-0.0393
	Tangential moments, M_t												
0.05	-0.0417	-0.0700	-0.0541	-0.0381	-0.0251	-0.0145	+0.0002	+0.0085	+0.0118	+0.0109	+0.0065	-0.0003	-0.0118
0.10		-0.0287	-0.0421	-0.0354	-0.0258	-0.0168	-0.0027	+0.0059	+0.0099	+0.0098	+0.0061	-0.0009	-0.0108
0.15			-0.0218	-0.0284	-0.0243	-0.0177	-0.0051	+0.0031	+0.0080	+0.0086	+0.0057	-0.0006	-0.0098
0.20				-0.0172	-0.0203	-0.0171	-0.0070	+0.0013	+0.0063	+0.0075	+0.0052	-0.0003	-0.0088
0.25					-0.0140	-0.0150	-0.0083	-0.0005	+0.0046	+0.0064	+0.0048	0.0000	-0.0078

Table XIV

Moments in circular slab with center support**Uniform load****Hinged edge**Mom. = coef. $\times pR^3$ fLb. per ft.

Positive sign indicates compression in surface loaded

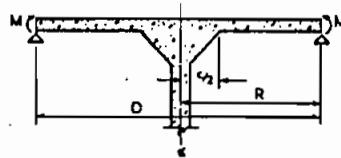


c/D	Coefficients at point												
	0.05R	0.10R	0.15R	0.20R	0.25R	0.30R	0.40R	0.50R	0.60R	0.70R	0.80R	0.90R	1.00R
	Radial moments, M_r												
0.05	-0.3658	-0.1388	-0.0640	-0.0221	+0.0058	+0.0255	+0.0501	+0.0614	+0.0629	+0.0566	+0.0437	+0.0247	0
0.10		-0.2487	-0.1180	-0.0557	-0.0176	+0.0081	+0.0391	+0.0539	+0.0578	+0.0532	+0.0416	+0.0237	0
0.15			-0.1869	-0.0977	-0.0467	-0.0135	+0.0258	+0.0451	+0.0518	+0.0494	+0.0393	+0.0226	0
0.20				-0.1465	-0.0800	-0.0381	+0.0109	+0.0352	+0.0452	+0.0451	+0.0368	+0.0215	0
0.25					-0.1172	-0.0645	-0.0055	+0.0245	+0.0381	+0.0404	+0.0340	+0.0200	0
	Tangential moments, M_t												
0.05	-0.0731	-0.1277	-0.1040	-0.0786	-0.0569	-0.0391	-0.0121	+0.0061	+0.0175	+0.0234	+0.0251	+0.0228	+0.0168
0.10		-0.0498	-0.0768	-0.0684	-0.0418	0.0384	-0.0153	-0.0090	-0.0134	-0.0197	-0.0218	-0.0199	+0.0145
0.15			-0.0374	-0.0516	-0.0470	-0.0375	-0.0176	-0.0014	+0.0097	-0.0183	-0.0160	-0.0172	+0.0123
0.20				-0.0293	-0.0367	-0.0333	-0.0184	-0.0042	+0.0065	-0.0132	-0.0158	-0.0148	+0.0103
0.25					-0.0214	-0.0201	-0.0164	-0.0002	+0.0038	-0.0103	-0.0132	-0.0129	+0.0088

Table XV

Moments in circular slab with center support**Moment per ft., M, applied at edge****Hinged edge**Mom. = coef. $\times M$ fLb. per ft.

Positive sign indicates compression in top surface



c/D	Coefficients at point												
	0.05R	0.10R	0.15R	0.20R	0.25R	0.30R	0.40R	0.50R	0.60R	0.70R	0.80R	0.90R	1.00R
	Radial moments, M_r												
0.05	-2.650	-1.121	-0.622	-0.333	-0.129	+0.029	+0.268	+0.450	+0.596	+0.718	+0.824	+0.917	+1.000
0.10		-1.950	-1.026	-0.584	-0.305	-0.103	+0.187	+0.394	+0.558	+0.692	+0.808	+0.909	+1.000
0.15			-1.594	-0.930	-0.545	-0.280	+0.078	+0.323	+0.510	+0.663	+0.790	+0.900	+1.000
0.20				-1.366	-0.842	-0.499	-0.057	+0.236	+0.451	+0.624	+0.788	+0.891	+1.000
0.25					-1.204	-0.765	-0.216	+0.130	+0.392	+0.577	+0.740	+0.880	+1.000
	Tangential moments, M_t												
0.05	-0.530	-0.980	-0.847	-0.688	-0.544	-0.418	-0.211	-0.042	+0.095	+0.212	+0.314	+0.405	+0.488
0.10		-0.388	-0.641	-0.608	-0.518	-0.419	-0.233	-0.072	+0.066	+0.185	+0.290	+0.384	+0.469
0.15			-0.319	-0.472	-0.463	-0.404	-0.251	-0.100	+0.035	+0.157	+0.263	+0.363	+0.451
0.20				-0.272	-0.372	-0.368	-0.261	-0.123	+0.007	+0.129	+0.240	+0.340	+0.433
0.25					-0.239	-0.305	-0.259	-0.145	-0.020	+0.099	+0.214	+0.320	+0.414

Table XVI

Shear at base of cylindrical wall				
$V = \text{coeff.} \times \begin{cases} wH^2 \text{ lb. (triangular)} \\ pH \text{ lb. (rectangular)} \\ M/H \text{ lb. (mom. at base)} \end{cases}$				
Positive sign indicates shear acting inward				
$\frac{H^3}{Dt}$	Triangular load, fixed base	Rectangular load, fixed base	Triangular or rectangular load, hinged base	Moment at edge
0.4	+0.436	+0.765	+0.245	-1.58
0.6	+0.374	+0.652	+0.234	-1.75
1.2	+0.339	+0.460	+0.220	-2.00
1.6	+0.317	+0.407	+0.204	-2.28
2.0	+0.299	+0.370	+0.189	-2.57
3.0	+0.262	+0.310	+0.158	-3.18
4.0	+0.236	+0.271	+0.137	-3.88
6.0	+0.181	+0.243	+0.121	-4.10
8.0	+0.167	+0.222	+0.110	-4.49
10.0	+0.174	+0.193	+0.096	-6.18
12.0	+0.145	+0.188	+0.079	-6.38
14.0	+0.135	+0.147	+0.073	-6.88
16.0	+0.127	+0.137	+0.068	-7.36

Table XVIII

Stiffness of cylindrical wall			
Near edge hinged, far edge free			
$k = \text{coeff.} \times \frac{EI^3}{H}$			
$\frac{H^3}{Dt}$	Coefficient	$\frac{H^3}{Dt}$	Coefficient
0.4	0.139	5	0.713
0.8	0.270	6	0.783
1.2	0.345	8	0.903
1.6	0.399	10	1.010
2.0	0.445	12	1.108
3.0	0.548	14	1.198
4.0	0.635	16	1.281

Table XVII

Load on center support for circular slab					
$\text{Load} = \text{coeff.} \times \frac{pR^2}{(hinged and fixed)}$					
$M = \text{moment at edge}$					
c/D	0.05	0.10	0.15	0.20	0.25
Hinged	1.320	1.387	1.463	1.542	1.625
Fixed	0.839	0.919	1.007	1.101	1.200
M at edge	8.16	8.66	9.29	9.99	10.81

Table XIX

Stiffness of circular plates					
With center support					
$k = \text{coeff.} \times \frac{EI^3}{R}$					
c/D	0.05	0.10	0.15	0.20	0.25
Coeff.	0.290	0.309	0.332	0.358	0.387

Without center support
Coeff. = 0.104

Table XX. Supplementary Coefficients for Values of H^2/Dt Greater than 16 (Extension of Tables I to XI, XVI and XVIII)*

TABLE I						TABLE II						TABLE III						TABLE IV					
Coefficients at point						Coefficients at point						Coefficients at point						Coefficients at point					
$\frac{H^3}{Dt}$.75H	.80H	.85H	.90H	.95H	.75H	.80H	.85H	.90H	.95H	.75H	.80H	.85H	.90H	.95H	.75H	.80H	.85H	.90H	.95H	.75H	.80H	.85H
20	+0.718	+0.654	+0.620	+0.325	+0.115	+0.812	+0.817	+0.756	+0.603	+0.344	+0.949	+0.825	+0.629	+0.379	+0.128	+1.062	+1.017	+0.906	+0.703	+0.394			
24	+0.746	+0.702	+0.577	+0.372	+0.137	+0.816	+0.839	+0.793	+0.647	+0.377	+0.986	+0.879	+0.694	+0.430	+0.149	+1.068	+1.039	+0.943	+0.747	+0.427			
32	+0.782	+0.768	+0.663	+0.459	+0.182	+0.814	+0.861	+0.847	+0.721	+0.436	+1.026	+0.953	+0.788	+0.519	+0.189	+1.064	+1.061	+0.997	+0.821	+0.486			
40	+0.800	+0.805	+0.731	+0.530	+0.217	+0.802	+0.866	+0.880	+0.778	+0.483	+1.040	+0.996	+0.859	+0.591	+0.226	+1.052	+1.066	+1.030	+0.878	+0.533			
48	+0.791	+0.828	+0.785	+0.593	+0.254	+0.791	+0.864	+0.900	+0.820	+0.527	+1.043	+1.022	+0.911	+0.652	+0.262	+1.041	+1.064	+1.050	+0.920	+0.577			
56	+0.763	+0.838	+0.824	+0.636	+0.285	+0.781	+0.859	+0.911	+0.852	+0.563	+1.040	+1.035	+0.949	+0.705	+0.294	+1.021	+1.059	+1.061	+0.952	+0.613			

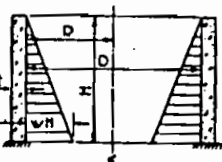
TABLE V						TABLE VI						TABLE VII						TABLE VIII					
Coefficients at point						Coefficients at point						Coefficients at point						Coefficients at point					
$\frac{H^3}{Dt}$.75H	.80H	.85H	.90H	.95H	.75H	.80H	.85H	.90H	.95H	.75H	.80H	.85H	.90H	.95H	.75H	.80H	.85H	.90H	.95H	.75H	.80H	.85H
20	-16.44	-9.98	-4.90	-1.59	+0.22	+15.30	+25.9	+36.9	+43.3	+35.3	+0.015	+0.014	+0.005	-0.018	-0.063	+0.008	+0.014	+0.020	+0.024	+0.0020			
24	-18.04	-10.34	-4.64	-1.00	+0.68	+13.20	+25.9	+40.7	+51.8	+45.3	+0.012	+0.012	+0.007	-0.013	-0.053	+0.005	+0.010	+0.015	+0.020	+0.0017			
32	-20.84	-10.72	-3.70	-0.04	+1.26	+8.10	+23.2	+45.9	+85.4	+63.6	+0.007	+0.009	+0.007	-0.008	-0.040	+0.005	+0.005	+0.009	+0.014	+0.0013			
40	-23.34	-10.88	-2.85	+0.72	+1.56	+3.28	+19.2	+46.5	+77.9	+83.5	+0.002	+0.005	+0.006	-0.005	-0.032	+0.000	+0.003	+0.006	+0.011	+0.0011			
48	-25.82	-10.82	-2.06	+1.26	+1.66	+0.70	+14.1	+45.1	+87.2	+103.0	+0.000	+0.001	+0.006	-0.003	-0.026	+0.000	+0.001	+0.004	+0.008	+0.0010			
56	-27.64	-10.68	-1.38	+1.60	+1.62	+3.40	+9.2	+42.2	+94.0	+121.0	+0.000	+0.000	+0.004	-0.001	-0.023	+0.000	+0.000	+0.003	+0.007	+0.0008			

TABLE IX						TABLE X						TABLE XI						TABLE XVI						TABLE XVIII				
Coefficients at point						Coefficients at point						Coefficients at point						Coefficients at point						Tri. Fixed	Rect. Fixed	T. or R. Hinged	Mom. At Edge	Stiffness
$\frac{H^3}{Dt}$.80H	.85H	.90H	.95H	1.00H	.05H	.10H	.15H	.20H	.25H	.80H	.85H	.90H	.95H	1.00H	.80H	.85H	.90H	.95H	1.00H	.80H	.85H	.90H	.95H	1.00H			
20	+0.0018	+0.0013	+0.0002	-0.024	-0.0073	+0.032	+0.039	+0.033	+0.023	+0.014	-0.015	+0.095	+0.296	+0.606	+1.000	-0.114	+0.122	+0.062	-8.20	1.430								
24	+0.0012	+0.0012	+0.0004	-0.018	-0.0061	+0.031	+0.035	+0.028	+0.018	+0.009	-0.037	-0.057	-0.250	+0.572	+1.000	+0.089	+0.096	+0.048	-8.94	1.566								
32	+0.0008	+0.0009	+0.0006	-0.010	-0.0046	+0.028	+0.029	+0.020	+0.011	+0.004	-0.062	+0.002	+0.178	+0.515	+1.000	+0.089	+0.096	+0.048	-10.38	1.610								
40	+0.0005	+0.0007	+0.0007	-0.005	-0.0037	+0.026	+0.025	+0.015	+0.006	+0.001	-0.067	-0.031	+0.123	+0.467	+1.000	+0.080	+0.086	+0.043	-11.62	2.025								
48	+0.0004	+0.0006	+0.0006	-0.003	-0.0031	+0.02																						

Table VII

Moments in cylindrical wall**Triangular load****Fixed base, free top** $Mom. = \text{coef.} \times wH^3 \text{ ft.lb. per ft.}$

Positive sign indicates tension in the outside

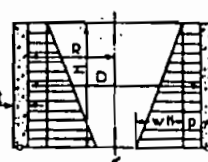
**Coefficients at point**

H/D	0.1H	0.2H	0.3H	0.4H	0.5H	0.6H	0.7H	0.8H	0.9H	1.0H
0.4	+0.005	+0.014	+0.021	+0.007	-0.042	-0.150	-0.032	-0.052	-0.081	-0.1205
0.8	+0.011	+0.037	+0.063	+0.080	+0.0070	+0.023	-0.068	-0.224	-0.465	-0.795
1.2	+0.012	+0.042	+0.077	+0.103	+0.112	+0.090	+0.0022	-0.108	-0.311	-0.602
1.6	+0.011	+0.041	+0.075	+0.107	+0.121	+0.111	+0.058	-0.051	-0.232	-0.505
2.0	+0.010	+0.035	+0.068	+0.099	+0.120	+0.115	+0.075	-0.021	-0.185	-0.436
3.0	+0.006	+0.024	+0.047	+0.071	+0.090	+0.097	+0.077	+0.012	-0.119	-0.333
4.0	+0.003	+0.015	+0.028	+0.047	+0.068	+0.077	+0.069	+0.023	-0.080	-0.268
5.0	+0.002	+0.008	+0.018	+0.029	+0.046	+0.059	+0.059	+0.028	-0.058	-0.222
8.0	+0.001	+0.003	+0.008	+0.019	+0.032	+0.046	+0.051	+0.029	-0.041	-0.187
10.0	.0000	+0.001	+0.002	+0.008	+0.016	+0.028	+0.038	+0.029	-0.022	-0.146
12.0	.0000	-0.001	+0.001	+0.002	+0.003	+0.013	+0.023	+0.026	-0.005	-0.104
14.0	.0000	.0000	.0000	.0000	+0.001	+0.008	+0.019	+0.023	-0.001	-0.090
18.0	.0000	.0000	-0.001	-0.002	-0.001	+0.004	+0.013	+0.019	+0.001	-0.079

Table VIII

Moments in cylindrical wall**Trapezoidal load****Hinged base, free top** $Mom. = \text{coef.} \times (wH^3 + pH^3) \text{ ft.lb. per ft.}$

Positive sign indicates tension in the outside

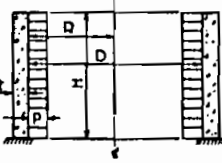
**Coefficients at point**

H/D	0.1H	0.2H	0.3H	0.4H	0.5H	0.6H	0.7H	0.8H	0.9H	1.0H
0.4	+0.0020	+0.0072	+0.0151	+0.0230	+0.0301	+0.0348	+0.0357	+0.0312	+0.0197	0
0.8	+0.0019	+0.0064	+0.0133	+0.0207	+0.0271	+0.0319	+0.0329	+0.0292	+0.0187	0
1.2	+0.0016	+0.0058	+0.0111	+0.0177	+0.0237	+0.0280	+0.0296	+0.0263	+0.0171	0
1.6	+0.0012	+0.0044	+0.0091	+0.0145	+0.0195	+0.0238	+0.0255	+0.0232	+0.0155	0
2.0	+0.0009	+0.0033	+0.0073	+0.0114	+0.0164	+0.0199	+0.0219	+0.0205	+0.0148	0
3.0	+0.0004	+0.0018	+0.0040	+0.0063	+0.0092	+0.0127	+0.0152	+0.0163	+0.0111	0
4.0	+0.0001	+0.0007	+0.0016	+0.0033	+0.0057	+0.0083	+0.0109	+0.0118	+0.0092	0
5.0	.0000	+0.0001	+0.0008	+0.0016	+0.0034	+0.0057	+0.0080	+0.0094	+0.0078	0
6.0	.0000	.0000	+0.0002	+0.0002	+0.0008	+0.0019	+0.0039	+0.0062	+0.0078	+0.0068
8.0	.0000	.0000	.0000	-0.0002	.0000	+0.0007	+0.0020	+0.0038	+0.0057	+0.0054
10.0	.0000	.0000	.0000	-0.0002	-0.0001	+0.0002	+0.0011	+0.0025	+0.0043	+0.0045
12.0	.0000	.0000	.0000	-0.0001	-0.0001	-0.0002	+0.0005	+0.0017	+0.0032	+0.0039
14.0	.0000	.0000	.0000	-0.0001	-0.0001	-0.0001	-0.0001	+0.0012	+0.0026	+0.0033
16.0	.0000	.0000	.0000	-0.0001	-0.0001	-0.0002	-0.0004	+0.0008	+0.0022	+0.0029

Table IX

Moments in cylindrical wall**Rectangular load****Fixed base, free top** $Mom. = \text{coef.} \times pH^3 \text{ ft.lb. per ft.}$

Positive sign indicates tension in the outside

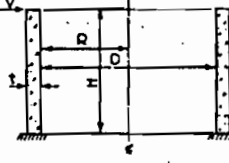
**Coefficients at point**

H/D	0.1H	0.2H	0.3H	0.4H	0.5H	0.6H	0.7H	0.8H	0.9H	1.0H
0.4	-0.023	-0.093	-0.227	-0.439	-0.710	-1.018	-1.455	-2.000	-2.593	-3.310
0.8	.0000	-0.006	-0.025	-0.083	-0.185	-0.382	-0.594	-0.917	-1.325	-1.835
1.2	+0.008	+0.026	+0.037	+0.029	+0.009	+0.089	-0.027	-0.468	-0.815	-1.178
1.6	+0.011	+0.036	+0.062	+0.077	+0.068	+0.111	-0.093	-0.267	-0.529	-0.876
2.0	+0.010	+0.038	+0.066	+0.088	+0.089	+0.059	-0.019	-0.167	-0.389	-0.719
3.0	+0.007	+0.026	+0.051	+0.074	+0.091	+0.083	+0.042	-0.053	-0.223	-0.483
4.0	+0.004	+0.015	+0.033	+0.052	+0.068	+0.075	+0.053	-0.013	-0.145	-0.365
5.0	+0.002	+0.008	+0.019	+0.035	+0.051	+0.061	+0.052	+0.007	-0.010	-0.293
6.0	+0.001	+0.004	+0.011	+0.022	+0.036	+0.049	+0.048	+0.017	-0.073	-0.242
8.0	.0000	+0.001	+0.003	+0.008	+0.018	+0.031	+0.038	+0.024	-0.040	-0.184
10.0	.0000	-0.001	.0000	+0.002	+0.009	+0.021	+0.030	+0.028	-0.022	-0.147
12.0	.0000	.0000	-0.001	.0000	+0.004	+0.014	+0.024	+0.022	-0.012	-0.123
14.0	.0000	.0000	-0.001	.0000	+0.002	+0.010	+0.018	+0.021	-0.007	-0.105
18.0	.0000	.0000	-0.001	.0001	+0.006	+0.012	+0.020	-0.005	-0.091	

Table X

Moments in cylindrical wall**Shear per ft., V, applied at top****Fixed base, free top** $Mom. = \text{coef.} \times V/H \text{ ft.lb. per ft.}$

Positive sign indicates tension in outside

**Coefficients at point***

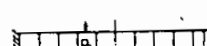
H/D	0.1H	0.2H	0.3H	0.4H	0.5H	0.6H	0.7H	0.8H	0.9H	1.0H
0.4	-0.093	+0.172	+0.240	+0.300	+0.354	+0.402	+0.448	+0.492	+0.535	+0.578
0.8	+0.085	+0.145	+0.185	+0.208	+0.220	+0.224	+0.223	+0.219	+0.214	+0.208
1.2	+0.082	+0.132	+0.157	+0.184	+0.159	+0.145	+0.127	+0.106	+0.084	+0.062
1.6	+0.079	+0.122	+0.139	+0.138	+0.125	+0.105	+0.081	+0.056	+0.030	+0.004
2.0	+0.077	+0.115	+0.126	+0.119	+0.103	+0.080	+0.056	+0.031	+0.006	-0.019
3.0	+0.072	+0.100	+0.100	-0.086	+0.066	+0.044	+0.025	+0.006	-0.010	-0.024
4.0	+0.068	+0.088	+0.081	+0.063	+0.043	+0.025	+0.010	-0.001	-0.010	-0.019
5.0	+0.064	+0.076	+0.067	+0.047	+0.028	+0.013	+0.003	-0.003	-0.007	-0.011
6.0	+0.062	+0.070	+0.056	+0.036	+0.018	+0.006	-0.000	-0.003	-0.005	-0.006
8.0	+0.057	+0.058	+0.041	+0.021	+0.007	0.000	-0.002	-0.003	-0.002	-0.001
10.0	+0.053	+0.049	+0.029	-0.012	-0.002	-0.002	-0.002	-0.002	-0.001	0.000
12.0	+0.049	+0.042	+0.022	-0.007	0.000	-0.002	-0.002	-0.001	0.000	0.000
14.0	+0.046	+0.036	+0.017	-0.004	-0.001	-0.002	-0.001	-0.001	0.000	0.000
16.0	+0.044	+0.031	+0.012	-0.001	-0.002	-0.002	-0.001	-0.001	0.000	0.000

*When this table is used for shear applied at the base, while the top is fixed, 0.0H is the bottom of the wall and 1.0H is the top. Shear acting inward is positive, outward is negative.

Table XII

Moments in circular slab without center support**Uniform load****Fixed edge** $Mom. = \text{coef.} \times pR^3 \text{ ft.lb. per ft.}$

Positive sign indicates compression in surface loaded

**Coefficients at point**

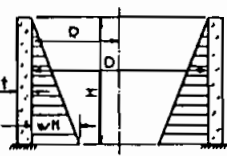
$0.00R$	$0.10R$	$0.20R$	$0.30R$	$0.40R$	$0.50R$	$0.60R$	$0.70R$	$0.80R$	$0.90R$	$1.00R$
-0.074	0.073	+0.067	+0.057	+0.043	+0.025	+0.003	-0.023	-0.053	-0.087	-0.125
-0.075	0.074	+0.071	+0.066	+0.059	+0.050	+0.039	-0.026	-0.011	-0.006	-0.025

Radial moments, M_R **Tangential moments, M_T**

When this table is used for moment applied at the top, while the top is hinged, 0.0H is the bottom of the wall and 1.0H is the top. Moment applied at an edge is positive if it causes outward rotation at that edge.

Table I

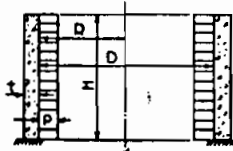
Tension in circular rings
Triangular load
Fixed base, free top
 $T = \text{coeff. } \times uH/R \text{ lb. per ft.}$
Positive sign indicates tension



H^2	Dt	Coefficients at point									
		0.0H	0.1H	0.2H	0.3H	0.4H	0.5H	0.6H	0.7H	0.8H	0.9H
0.4	-0.149	+0.134	+0.120	+0.101	+0.082	+0.068	+0.049	+0.029	+0.014	+0.004	
0.8	+0.263	+0.239	+0.215	+0.190	+0.160	+0.130	+0.098	+0.063	+0.034	+0.010	
1.2	+0.283	+0.271	+0.254	+0.234	+0.209	+0.180	+0.142	+0.099	+0.054	+0.016	
1.6	+0.265	+0.268	+0.268	+0.286	+0.250	+0.226	+0.185	+0.134	+0.075	+0.023	
2.0	+0.234	+0.251	+0.273	+0.265	+0.285	+0.274	+0.232	+0.172	+0.104	+0.031	
3.0	-0.134	+0.203	+0.267	+0.322	+0.357	+0.362	+0.330	+0.262	+0.157	+0.052	
4.0	+0.067	+0.164	+0.256	+0.339	+0.403	+0.429	+0.409	+0.334	+0.210	+0.073	
5.0	+0.025	+0.137	+0.245	+0.346	+0.428	+0.477	+0.469	+0.398	+0.259	+0.092	
6.0	+0.018	+0.119	+0.234	+0.344	+0.441	+0.504	+0.514	+0.447	+0.301	+0.112	
8.0	-0.011	+0.104	+0.218	+0.335	+0.443	+0.534	+0.575	+0.530	+0.381	+0.151	
10.0	-0.011	+0.098	+0.208	+0.323	+0.437	+0.542	+0.608	+0.589	+0.440	+0.179	
12.0	-0.005	+0.097	+0.202	+0.312	+0.429	+0.543	+0.628	+0.633	+0.494	+0.211	
14.0	-0.002	+0.098	+0.200	+0.306	+0.420	+0.539	+0.639	+0.666	+0.541	+0.241	
16.0	0.000	+0.099	+0.199	+0.304	+0.412	+0.531	+0.641	+0.687	+0.582	+0.265	

Table III

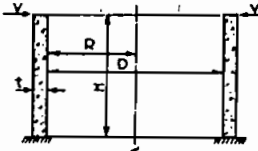
Tension in circular rings
Rectangular load
Fixed base, free top
 $T = \text{coeff. } \times pR \text{ lb. per ft.}$
Positive sign indicates tension



H^2	Dt	Coefficients at point									
		0.0II	0.1II	0.2II	0.3II	0.4II	0.5II	0.6II	0.7II	0.8II	0.9II
0.4	+0.692	+0.505	+0.431	+0.353	+0.277	+0.208	+0.145	+0.092	+0.046	+0.013	
0.8	+1.032	+0.921	+0.798	+0.659	+0.542	+0.415	+0.289	+0.179	+0.089	+0.024	
1.2	+1.218	+1.078	+0.946	+0.808	+0.665	+0.519	+0.378	+0.246	+0.127	+0.034	
1.6	+1.257	+1.141	+1.009	+0.881	+0.742	+0.600	+0.449	+0.294	+0.153	+0.045	
2.0	+1.253	+1.144	+1.041	+0.929	+0.806	+0.667	+0.514	+0.345	+0.186	+0.055	
3.0	+1.160	+1.112	+1.061	+0.996	+0.912	+0.796	+0.646	+0.459	+0.258	+0.081	
4.0	+0.985	+1.073	+1.057	+1.029	+0.977	+0.887	+0.746	+0.553	+0.322	+0.105	
5.0	+1.037	+1.044	+1.047	+1.042	+1.015	+0.949	+0.825	+0.629	+0.379	+0.128	
6.0	+1.010	+1.024	+1.038	+1.045	+1.034	+0.986	+0.879	+0.694	+0.430	+0.149	
8.0	+0.989	+1.005	+1.022	+1.036	+1.044	+1.026	+0.953	+0.788	+0.519	+0.189	
10.0	+0.989	+0.998	+1.010	+1.023	+1.039	+1.040	+0.996	+0.859	+0.591	+0.226	
12.0	+0.994	+0.997	+1.003	+1.014	+1.031	+1.043	+1.022	+0.911	+0.652	+0.262	
14.0	+0.997	+0.998	+1.000	+1.007	+1.022	+1.040	+1.035	+0.949	+0.705	+0.294	
16.0	+1.000	+0.999	+0.999	+1.003	+1.015	+1.032	+1.040	+0.975	+0.750	+0.321	

Table V

Tension in circular rings
Shear per ft., V , applied at top
Fixed base, free top
 $T = \text{coeff. } \times VR/H \text{ lb. per ft.}$
Positive sign indicates tension

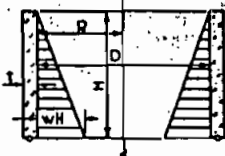


H^2	Dt	Coefficients at point*									
		0.0H	0.1H	0.2H	0.3H	0.4H	0.5H	0.6H	0.7H	0.8H	0.9H
0.4	-1.57	-1.32	-1.08	-0.86	-0.65	-0.47	-0.31	-0.18	-0.08	-0.02	
0.8	-3.09	-2.55	-2.04	-1.57	-1.15	-0.80	-0.51	-0.28	-0.13	-0.03	
1.2	-3.95	-3.17	-2.44	-1.79	-1.25	-0.81	-0.48	-0.25	-0.10	-0.02	
1.6	-4.57	-3.64	-2.60	-1.80	-1.17	-0.69	-0.36	-0.16	-0.05	-0.01	
2.0	-5.12	-3.83	-2.68	-1.74	-1.02	-0.52	-0.21	-0.05	-0.01	-0.01	
3.0	-6.32	-4.37	-2.70	-1.43	-0.58	-0.02	+0.15	+0.19	+0.13	+0.04	
4.0	-7.34	-4.73	-2.60	-1.10	-0.19	+0.26	+0.38	+0.33	+0.19	+0.06	
5.0	-8.22	-4.99	-2.45	-0.79	+0.11	+0.47	+0.50	+0.37	+0.20	+0.06	
6.0	-9.02	-5.17	-2.27	-0.50	+0.34	+0.59	+0.53	+0.35	+0.17	+0.01	
8.0	-10.42	-5.36	-1.85	-0.02	+0.63	+0.66	+0.46	+0.24	+0.09	+0.01	
10.0	-11.67	-5.43	-1.43	+0.36	+0.78	+0.52	+0.33	+0.12	+0.02	0.00	
12.0	-12.76	-5.41	-1.03	+0.63	+0.83	+0.52	+0.21	+0.04	-0.02	0.00	
14.0	-13.77	-5.34	-0.68	+0.80	+0.81	+0.42	+0.13	0.00	-0.03	-0.01	
16.0	-14.74	-5.22	-0.33	+0.96	+0.76	+0.32	+0.05	-0.04	-0.05	-0.02	

*When this table is used for shear applied at the base, while the top is fixed, 0.0H is the bottom of the wall and 1.0H is the top. Shear acting inward is positive, outward is negative.

Table II

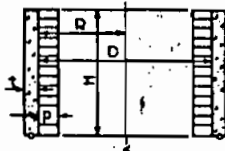
Tension in circular rings
Triangular load
Hinged base, free top
 $T = \text{coeff. } \times uH/R \text{ lb. per ft.}$
Positive sign indicates tension



H^2	Dt	Coefficients at point									
		0.0H	0.1H	0.2H	0.3H	0.4H	0.5H	0.6H	0.7H	0.8H	0.9H
0.4	+0.474	+0.440	+0.395	+0.352	+0.306	+0.264	+0.215	+0.185	+0.111	+0.087	
0.8	+0.423	+0.402	+0.381	+0.358	+0.330	+0.297	+0.249	+0.202	+0.145	+0.078	
1.2	+0.350	+0.355	+0.361	+0.362	+0.358	+0.343	+0.309	+0.256	+0.188	+0.098	
1.6	+0.271	+0.303	+0.341	+0.369	+0.385	+0.362	+0.314	+0.233	+0.124	+0.051	
2.0	+0.205	+0.260	+0.321	+0.373	+0.411	+0.434	+0.419	+0.369	+0.280	+0.151	
3.0	+0.074	+0.179	+0.281	+0.375	+0.449	+0.506	+0.519	+0.479	+0.375	+0.210	
4.0	+0.017	+0.137	+0.253	+0.367	+0.469	+0.545	+0.579	+0.563	+0.447	+0.256	
5.0	-0.008	+0.114	+0.235	+0.356	+0.469	+0.562	+0.617	+0.608	+0.503	+0.294	
6.0	-0.011	+0.103	+0.223	+0.343	+0.463	+0.566	+0.639	+0.643	+0.547	+0.327	
8.0	-0.015	+0.096	+0.208	+0.324	+0.443	+0.564	+0.661	+0.697	+0.821	+0.356	
10.0	-0.008	+0.095	+0.200	+0.311	+0.428	+0.582	+0.668	+0.730	+0.878	+0.433	
12.0	-0.002	+0.097	+0.197	+0.302	+0.417	+0.561	+0.664	+0.750	+0.872	+0.477	
14.0	0.000	+0.098	+0.197	+0.299	+0.408	+0.531	+0.669	+0.761	+0.852	+0.513	
16.0	+0.002	+0.100	+0.198	+0.299	+0.403	+0.521	+0.650	+0.764	+0.876	+0.536	

Table IV

Tension in circular rings
Rectangular load
Hinged base, free top
 $T = \text{coeff. } \times pR \text{ lb. per ft.}$
Positive sign indicates tension



H^2	Dt	Coefficients at point									
		0.0II	0.1II	0.2II	0.3II	0.4II	0.5II	0.6II	0.7II	0.8II	0.9II
0.4	+1.474	+1.340	+1.195	+1.052	+0.908	+0.764	+0.615	+0.465	+0.311	+0.154	
0.8	+1.423	+1.302	+1.181	+1.058	+0.930	+0.797	+0.649	+0.502	+0.345	+0.188	
1.2	+1.350	+1.255	+1.161	+1.062	+0.958	+0.843	+0.709	+0.558	+0.388	+0.198	
1.6	+1.271	+1.203	+1.141	+1.069	+0.985	+0.885	+0.756	+0.614	+0.433	+0.224	

Bibliographie

- 1- Calcul des ouages en Beton Armé suivant les Règles BAEL80
Pierre Charon
- 2- Règles Techniques de Conception et de calcul des Ouvages et
Constructions en Beton Armé suivant la méthode des Etats limites
- 3- Traité de Beton Armé : Tome 2 - Tome 6 - Tome 4
Tome II - D'après A. Guérin
- 4- Concrete Information - Portland Cement Association
- 5- Matrix Design Handbook - Portland Cement Association
- 6- Thin Shell Concrete Structures - Billington
- 7- Cours Supérieur de Beton Armé - Paul Dinaquin
- 8- Théorie des Coques de Rarolutum - Dr E. Ramm
Traduit de l'allemand par Dr Aliou Diack
- 9- Logiciel P-frame - Softate Services

STR. 01

JOINT DATA

DRIVE A

JOINT NO.	X-FREEDOM	Y-FREEDOM	Z-FREEDOM	X-COORDINATE (METERS)	Y-COORDINATE (METERS)
1	0	0	0	+0.0000	+0.0000
2	0	0	0	+4.0000	+0.0000
3	1	1	1	+0.0000	+3.4000
4	1	1	1	+2.0000	+3.4000
5	1	1	1	+4.0000	+3.4000
6	1	1	1	+0.0000	+6.8000
7	1	1	1	+2.0000	+6.8000
8	1	1	1	+4.0000	+6.8000
9	1	1	1	+0.0000	+10.2000
10	1	1	1	+0.5000	+10.2000
11	1	1	1	+1.0000	+10.2000
12	1	1	1	+1.5000	+10.2000
13	1	1	1	+2.0000	+10.2000
14	1	1	1	+2.5000	+10.2000
15	1	1	1	+3.0000	+10.2000
16	1	1	1	+3.5000	+10.2000
17	1	1	1	+4.0000	+10.2000

STR. 01

MEMBER DATA**DRIVE A****Section Properties Data :**

SECTION NUMBER	X-SECTIONAL AREA (MM2)	MOM. INERTIA 1.0E+06 (MM4)	SHEAR AREA (MM2)
1	+250,000.000	+5,208.333	+208,333.000
2	+200,000.000	+4,166.667	+166,667.000
3	+75,000.000	+562.500	+62,500.000

Member Connectivity Data :

MEMBER NUMBER	LOWER JOINT	GREATER JOINT	LOWER END TYPE	GREATER END TYPE	SECTION NUMBER
1	1	3	1	1	1
2	2	5	1	1	1
3	3	6	1	1	1
4	5	8	1	1	1
5	6	9	1	1	1
6	8	17	1	1	1
7	3	4	1	1	3
8	4	5	1	1	3
9	6	7	1	1	3
10	7	8	1	1	3
11	9	10	1	1	2
12	10	11	1	1	2
13	11	12	1	1	2
14	12	13	1	1	2
15	13	14	1	1	2
16	14	15	1	1	2
17	15	16	1	1	2
18	16	17	1	1	2

STR. 01

LOAD DATA

DRIVE A

LOAD CASE 1

Initializing Data :

LOAD CASE NO.	NO. OF LOADED JOINTS	NO. OF LOADED MEMBERS	DESCRIPTION
1	3	12	charge de vent et charge morte max

Joint Load Data :

RECORD NUMBER	LOADED JOINT	HORIZONTAL LOAD (KN)	VERTICAL LOAD (KN)	EXTERNAL MOMENT (KN-M)
1	9	+17.0000	-60.9500	-42.6000
2	17	+0.0000	-60.9500	+0.0000
3	3	+4.8000	+0.0000	-7.7000

Distributed Load Data :

RECORD NUMBER	LOADED MEMBER	SLOPED LD. KN/M SLOPE	LOCAL XY KN/M PERP.	PROJ. LOAD KN/M HORIZ
1	7	-2.5500	+0.0000	+0.0000
2	8	-2.5500	+0.0000	+0.0000
3	9	-2.5500	+0.0000	+0.0000
4	10	-2.5500	+0.0000	+0.0000
5	11	-59.8000	+0.0000	+0.0000
6	12	-119.5000	+0.0000	+0.0000
7	13	-179.3000	+0.0000	+0.0000
8	14	-239.0000	+0.0000	+0.0000
9	15	-239.0000	+0.0000	+0.0000
10	16	-179.3000	+0.0000	+0.0000
11	17	-119.5000	+0.0000	+0.0000
12	18	-59.8000	+0.0000	+0.0000

Point Load Data :

REC NO.	MEM NO.	PT. LOAD 1 (KN)	DIST. (M)	PT. LOAD 2 (KN)	DIST. (M)	PT. LOAD 3 (KN)	DIST. (M)
------------	------------	--------------------	--------------	--------------------	--------------	--------------------	--------------

Temperature Load Data :

RECORD NUMBER	MEMBER NUMBER	TEMPERATURE DIFFERENCE (CENTIGRADE)	COEFFICIENT OF EXPANSION (MM/MM/C X 100)
------------------	------------------	---	--

LOAD CASE 2

Initializing Data :

<i>LOAD CASE NO.</i>	<i>NO. OF LOADED JOINTS</i>	<i>NO. OF LOADED MEMBERS</i>	<i>DESCRIPTION</i>
2	3	12	comme 1 mais sous etat de service

Joint Load Data :

<i>RECORD NUMBER</i>	<i>LOADED JOINT</i>	<i>HORIZONTAL LOAD (KN)</i>	<i>VERTICAL LOAD (KN)</i>	<i>EXTERNAL MOMENT (KN-M)</i>
1	9	+14.2000	-44.8000	-35.5000
2	17	+0.0000	-44.8000	+0.0000
3	3	+4.0000	+0.0000	-6.4000

Distributed Load Data :

<i>RECORD NUMBER</i>	<i>LOADED MEMBER</i>	<i>SLOPED LD. KN/M SLOPE</i>	<i>LOCAL XY KN/M PERP.</i>	<i>PROJ. LOAD KN/M HORIZ</i>
1	7	-1.8900	+0.0000	+0.0000
2	8	-1.8900	+0.0000	+0.0000
3	9	-1.8900	+0.0000	+0.0000
4	10	-1.8900	+0.0000	+0.0000
5	11	-40.4000	+0.0000	+0.0000
6	12	-80.8500	+0.0000	+0.0000
7	13	-121.2000	+0.0000	+0.0000
8	14	-161.5000	+0.0000	+0.0000
9	15	-161.5000	+0.0000	+0.0000
10	16	-121.2000	+0.0000	+0.0000
11	17	-80.8000	+0.0000	+0.0000
12	18	-40.4000	+0.0000	+0.0000

Point Load Data :

<i>REC NO.</i>	<i>MEM NO.</i>	<i>PT. LOAD 1 (KN)</i>	<i>DIST. (M)</i>	<i>PT. LOAD 2 (KN)</i>	<i>DIST. (M)</i>	<i>PT. LOAD 3 (KN)</i>	<i>DIST. (M)</i>
----------------	----------------	------------------------	------------------	------------------------	------------------	------------------------	------------------

Temperature Load Data :

<i>RECORD NUMBER</i>	<i>MEMBER NUMBER</i>	<i>TEMPERATURE DIFFERENCE</i>	<i>COEFFICIENT OF EXPANSION (MM/MM/C X 100)</i>
----------------------	----------------------	-------------------------------	---

LOAD CASE 3Initializing Data :

<i>LOAD CASE NO.</i>	<i>NO. OF LOADED JOINTS</i>	<i>NO. OF LOADED MEMBERS</i>	<i>DESCRIPTION</i>
----------------------	-----------------------------	------------------------------	--------------------

Joint Load Data :

RECORD NUMBER	LOADED JOINT	HORIZONTAL LOAD (KN)	VERTICAL LOAD (KN)	EXTERNAL MOMENT (KN-M)
1	9	+17.0000	-60.9500	-42.6000
2	17	+0.0000	-60.9500	+0.0000
3	3	+4.8000	+0.0000	-7.7000

Distributed Load Data :

RECORD NUMBER	LOADED MEMBER	SLOPED LD. KN/M SLOPE	LOCAL XY KN/M PERP.	PROJ. LOAD KN/M HORIZ
1	7	-2.5500	+0.0000	+0.0000
2	8	-2.5500	+0.0000	+0.0000
3	9	-2.5500	+0.0000	+0.0000
4	10	-2.5500	+0.0000	+0.0000
5	11	-13.9000	+0.0000	+0.0000
6	12	-21.8000	+0.0000	+0.0000
7	13	-28.1000	+0.0000	+0.0000
8	14	-35.2500	+0.0000	+0.0000
9	15	-35.2500	+0.0000	+0.0000
10	16	-28.1000	+0.0000	+0.0000
11	17	-21.8000	+0.0000	+0.0000
12	18	-13.9000	+0.0000	+0.0000

Point Load Data :

REC NO.	MEM NO.	PT. LOAD 1 (KN)	DIST. (M)	PT. LOAD 2 (KN)	DIST. (M)	PT. LOAD 3 (KN)	DIST. (M)

Temperature Load Data :

RECORD NUMBER	MEMBER NUMBER	TEMPERATURE DIFFERENCE (CENTIGRADE)	COEFFICIENT OF EXPANSION (MM/MM/C X 100)

LOAD CASE 4Initializing Data :

LOAD CASE NO.	NO. OF LOADED JOINTS	NO. OF LOADED MEMBERS	DESCRIPTION
4	2	12	charge gravitaire max

Joint Load Data :

RECORD NUMBER	LOADED JOINT	HORIZONTAL LOAD (KN)	VERTICAL LOAD (KN)	EXTERNAL MOMENT (KN-M)

1	9	+0.0000	-60.9500	+0.0000
2	17	+0.0000	-60.9500	+0.0000

Distributed Load Data :

RECORD NUMBER	LOADED MEMBER	SLOPED LD. KN/M SLOPE	LOCAL XY KN/M PERP.	PROJ. LOAD KN/M HORIZ
1	7	-2.5500	+0.0000	+0.0000
2	8	-2.5500	+0.0000	+0.0000
3	9	-2.5500	+0.0000	+0.0000
4	10	-2.5500	+0.0000	+0.0000
5	11	-59.8000	+0.0000	+0.0000
6	12	-119.5000	+0.0000	+0.0000
7	13	-179.3000	+0.0000	+0.0000
8	14	-239.0000	+0.0000	+0.0000
9	15	-239.0000	+0.0000	+0.0000
10	16	-179.3000	+0.0000	+0.0000
11	17	-119.5000	+0.0000	+0.0000
12	18	-59.8000	+0.0000	+0.0000

Point Load Data :

REC NO.	MEM NO.	PT. LOAD 1 (KN)	DIST. (M)	PT. LOAD 2 (KN)	DIST. (M)	PT. LOAD 3 (KN)	DIST. (M)
------------	------------	--------------------	--------------	--------------------	--------------	--------------------	--------------

Temperature Load Data :

RECORD NUMBER	MEMBER NUMBER	TEMPERATURE DIFFERENCE (CENTIGRADE)	COEFFICIENT OF EXPANSION (MM/MM/C X 100)
------------------	------------------	---	--

TOTAL STRUCTURE DEGREES OF FREEDOM = 45
 THE HALF-BANDWIDTH = 12 AT MEMBER 8

STR. 01 JOINT DEFORMATIONS

DRIVE A

MEM NO.	LD. CSE	X-DISPLACE JL. MM.	Y-DISPLACE JL. MM.	ROTATION JL. RAD.	X-DISPLACE JG. MM.	Y-DISPLACE JG. MM.	ROTATION JG. RAD.
1	1	+0.00000	+0.00000	+0.00000	+1.42558	-0.18047	-0.0007
	2	+0.00000	+0.00000	+0.00000	+1.18734	-0.12101	-0.0006
	3	+0.00000	+0.00000	+0.00000	+1.41090	-0.04487	-0.0006
	4	+0.00000	+0.00000	+0.00000	+0.01683	-0.20125	-0.0006
2	1	+0.00000	+0.00000	+0.00000	+1.38352	-0.22203	-0.0006
	2	+0.00000	+0.00000	+0.00000	+1.15767	-0.15569	-0.0004
	3	+0.00000	+0.00000	+0.00000	+1.39821	-0.08643	-0.0006
	4	+0.00000	+0.00000	+0.00000	-0.01683	-0.20125	+0.0000
3	1	+1.42558	-0.18047	-0.00074	+3.84627	-0.36181	-0.0003
	2	+1.18734	-0.12101	-0.00061	+3.22357	-0.24300	-0.0003
	3	+1.41090	-0.04487	-0.00069	+3.91267	-0.09060	-0.0006
	4	+0.01683	-0.20125	-0.00007	-0.07809	-0.39973	+0.0003
4	1	+1.38352	-0.22203	-0.00057	+4.01472	-0.43765	-0.0010
	2	+1.15767	-0.15569	-0.00048	+3.33925	-0.30629	-0.0006
	3	+1.39821	-0.08643	-0.00062	+3.94832	-0.16644	-0.0007
	4	-0.01683	-0.20125	+0.00007	+0.07809	-0.39973	-0.0002
5	1	+3.84627	-0.36181	-0.00035	+5.97310	-0.54420	-0.0016
	2	+3.22357	-0.24300	-0.00034	+4.98282	-0.36614	-0.0013
	3	+3.91267	-0.09060	-0.00062	+5.95267	-0.13738	-0.0006
	4	-0.07809	-0.39973	+0.00031	+0.02445	-0.59544	-0.0012
6	1	+4.01472	-0.43765	-0.00104	+5.91318	-0.64667	+0.0011
	2	+3.33925	-0.30629	-0.00082	+4.94055	-0.45163	+0.0007
	3	+3.94832	-0.16644	-0.00077	+5.93361	-0.23985	-0.0006
	4	+0.07809	-0.39973	-0.00031	-0.02445	-0.59544	+0.0013
7	1	+1.42558	-0.18047	-0.00074	+1.40455	-0.41697	+0.0003
	2	+1.18734	-0.12101	-0.00061	+1.17250	-0.29614	+0.0002
	3	+1.41090	-0.04487	-0.00069	+1.40455	-0.23193	+0.0003
	4	+0.01683	-0.20125	-0.00007	-0.00000	-0.39781	-0.0000
8	1	+1.40455	-0.41697	+0.00030	+1.38352	-0.22203	-0.0006
	2	+1.17250	-0.29614	+0.00025	+1.15767	-0.15569	-0.0004
	3	+1.40455	-0.23193	+0.00030	+1.39821	-0.08643	-0.0006
	4	-0.00000	-0.39781	-0.00000	-0.01683	-0.20125	+0.0000
9	1	+3.84627	-0.36181	-0.00035	+3.93050	-0.18203	+0.0003
	2	+3.22357	-0.24300	-0.00034	+3.28141	-0.13143	+0.0002
	3	+3.91267	-0.09060	-0.00062	+3.93050	-0.18351	+0.0003
	4	-0.07809	-0.39973	+0.00031	-0.00000	-0.21475	-0.0000
10	1	+3.93050	-0.18203	+0.00030	+4.01472	-0.43765	-0.0010
	2	+3.28141	-0.13143	+0.00025	+3.33925	-0.30629	-0.0006
	3	+3.93050	-0.18351	+0.00030	+3.94832	-0.16644	-0.0007
	4	-0.00000	-0.21475	-0.00000	+0.07809	-0.39973	-0.0003
11	1	+5.97310	-0.54420	-0.00181	+5.96561	-1.60464	-0.0020
	2	+4.98282	-0.36614	-0.00130	+4.97754	-1.10956	-0.0014

3	+5.95267	-0.13738	-0.00068	+5.95029	-0.44622	-0.0005	
4	+0.02445	-0.59544	-0.00133	+0.01833	-1.48668	-0.0017	
12	1	+5.96561	-1.60464	-0.00203	+5.95812	-2.61348	-0.0016
2	+4.97754	-1.10956	-0.00141	+4.97226	-1.80174	-0.0011	
3	+5.95029	-0.44622	-0.00052	+5.94790	-0.65855	-0.0005	
4	+0.01833	-1.48668	-0.00179	+0.01222	-2.42974	-0.0016	
13	1	+5.95812	-2.61348	-0.00167	+5.95063	-3.30764	-0.0008
2	+4.97226	-1.80174	-0.00114	+4.96697	-2.26950	-0.0005	
3	+5.94790	-0.65855	-0.00031	+5.94552	-0.75853	-0.0005	
4	+0.01222	-2.42974	-0.00161	+0.00611	-3.13216	-0.0006	
14	1	+5.95063	-3.30764	-0.00089	+5.94314	-3.51367	+0.0001
2	+4.96697	-2.26950	-0.00059	+4.96169	-2.40031	+0.0001	
3	+5.94552	-0.75853	-0.00009	+5.94314	-0.74530	+0.0001	
4	+0.00611	-3.13216	-0.00094	-0.00000	-3.39114	-0.0000	
15	1	+5.94314	-3.51367	+0.00012	+5.93565	-3.18644	+0.0010
2	+4.96169	-2.40031	+0.00010	+4.95641	-2.16833	+0.0007	
3	+5.94314	-0.74530	+0.00012	+5.94076	-0.63732	+0.0005	
4	-0.00000	-3.39114	-0.00000	-0.00611	-3.13216	+0.0006	
16	1	+5.93565	-3.18644	+0.00106	+5.92816	-2.42980	+0.0016
2	+4.95641	-2.16833	+0.00074	+4.95112	-1.64842	+0.0011	
3	+5.94076	-0.63732	+0.00026	+5.93838	-0.47487	+0.0005	
4	-0.00611	-3.13216	+0.00094	-0.01222	-2.42974	+0.0016	
17	1	+5.92816	-2.42980	+0.00167	+5.92067	-1.47594	+0.0017
2	+4.95112	-1.64842	+0.00114	+4.94584	-1.00213	+0.0011	
3	+5.93838	-0.47487	+0.00031	+5.93600	-0.31752	+0.0005	
4	-0.01222	-2.42974	+0.00161	-0.01833	-1.48668	+0.0017	
18	1	+5.92067	-1.47594	+0.00173	+5.91318	-0.64667	+0.0011
2	+4.94584	-1.00213	+0.00116	+4.94055	-0.45163	+0.0007	
3	+5.93600	-0.31752	+0.00022	+5.93361	-0.23985	-0.0000	
4	-0.01833	-1.48668	+0.00179	-0.02445	-0.59544	+0.0011	

STR. 01 MEMBER END ACTIONS DRIVE A

MEN NO.	LD. CSE	AXIAL (KN) LOWER JT.	SHEAR (KN) LOWER JT.	BM (KN-M) LOWER JT.	AXIAL (KN) UPPER JT.	SHEAR (KN) UPPER JT.	BM (KN-M) UPPER JT.
1	1	+331.750	+6.152	+38.870	-331.750	-6.152	-17.952
	2	+222.448	+5.687	+32.992	-222.448	-5.687	-13.657
	3	+82.475	+8.748	+41.389	-82.475	-8.748	-11.647
	4	+369.950	-3.686	-3.668	-369.950	+3.686	-8.864
2	1	+408.150	+15.648	+48.349	-408.150	-15.648	+4.853
	2	+286.197	+12.513	+39.819	-286.197	-12.513	+2.726
	3	+158.875	+13.052	+45.830	-158.875	-13.052	-1.452
	4	+369.950	+3.686	+3.668	-369.950	-3.686	+8.864
3	1	+333.339	+21.066	+20.841	-333.339	-21.066	+50.784
	2	+224.252	+15.593	+16.343	-224.252	-15.593	+36.672
	3	+84.064	+9.896	+14.189	-84.064	-9.896	+19.458
	4	+364.850	+12.090	+5.941	-364.850	-12.090	+35.164
4	1	+396.361	-4.066	+11.313	-396.361	+4.066	-25.136
	2	+276.833	-1.393	+10.523	-276.833	+1.393	-15.258
	3	+147.086	+7.104	+17.966	-147.086	-7.104	+6.187
	4	+364.850	-12.090	-5.941	-364.850	+12.090	-35.164
5	1	+335.280	-57.894	-42.537	-335.280	+57.894	-154.301
	2	+226.351	-38.635	-29.112	-226.351	+38.635	-102.247
	3	+86.005	-6.816	-9.295	-86.005	+6.816	-13.880
	4	+359.750	-61.116	-40.770	-359.750	+61.116	-167.024
6	1	+384.220	+74.894	+45.056	-384.220	-74.894	+209.582
	2	+267.174	+52.835	+31.214	-267.174	-52.835	+148.425
	3	+134.945	+23.816	+11.814	-134.945	-23.816	+69.161
	4	+359.750	+61.116	+40.770	-359.750	-61.116	+167.024
7	1	+19.714	-1.589	-10.590	-19.714	+6.689	+2.312
	2	+13.906	-1.804	-9.086	-13.906	+5.584	+1.695
	3	+5.949	-1.589	-10.242	-5.949	+6.689	+1.964
	4	+15.776	+5.100	+2.923	-15.776	-0.000	+2.177
8	1	+19.714	-6.689	-2.312	-19.714	+11.789	-16.166
	2	+13.906	-5.584	-1.699	-13.906	+9.364	-13.249
	3	+5.949	-6.689	-1.964	-5.949	+11.789	-16.514
	4	+15.776	+0.000	-2.177	-15.776	+5.100	-2.923
9	1	-78.960	-1.941	-8.246	+78.960	+7.041	-0.736
	2	-54.227	-2.099	-7.560	+54.227	+5.879	-0.418
	3	-16.712	-1.941	-10.164	+16.712	+7.041	+1.182
	4	-73.206	+5.100	+5.606	+73.206	-0.000	-0.506
10	1	-78.960	-7.041	+0.736	+78.960	+12.141	-19.918
	2	-54.227	-5.879	+0.418	+54.227	+9.659	-15.956
	3	-16.712	-7.041	-1.182	+16.712	+12.141	-18.000
	4	-73.206	+0.000	+0.506	+73.206	+5.100	-5.606
11	1	+74.894	+274.330	+111.701	-74.894	-244.430	+17.986
	2	+52.835	+181.551	+66.747	-52.835	-161.351	+18.975
	3	+23.816	+25.055	-28.720	-23.816	-18.105	+39.510

4	+61.116	+298.800	+167.024	-61.116	-268.900	-25.099
12	1	+74.894	+244.430	-17.989	-74.894	-184.680
	2	+52.835	+161.351	-18.979	-52.835	-120.926
	3	+23.816	+18.105	-39.510	-23.816	-7.205
	4	+61.116	+268.900	+25.099	-61.116	-209.150
13	1	+74.894	+184.680	-125.266	-74.894	-95.030
	2	+52.835	+120.926	-89.548	-52.835	-60.326
	3	+23.816	+7.205	-45.838	-23.816	+6.845
	4	+61.116	+209.150	-94.414	-61.116	-119.500
14	1	+74.894	+95.030	-195.193	-74.894	+24.470
	2	+52.835	+60.326	-134.861	-52.835	+20.424
	3	+23.816	-6.845	-45.927	-23.816	+24.470
	4	+61.116	+119.500	-176.576	-61.116	+0.000
15	1	+74.894	-24.470	-212.833	-74.894	+143.970
	2	+52.835	-20.424	-144.836	-52.835	+101.174
	3	+23.816	-24.470	-38.099	-23.816	+42.095
	4	+61.116	+0.000	-206.451	-61.116	+119.500
16	1	+74.894	-143.970	-170.723	-74.894	+233.620
	2	+52.835	-101.174	-114.437	-52.835	+161.774
	3	+23.816	-42.095	-21.457	-23.816	+56.145
	4	+61.116	-119.500	-176.576	-61.116	+209.150
17	1	+74.894	-233.620	-76.325	-74.894	+293.370
	2	+52.835	-161.774	-48.699	-52.835	+202.174
	3	+23.816	-56.145	+3.103	-23.816	+67.045
	4	+61.116	-209.150	-94.414	-61.116	+268.900
18	1	+74.894	-293.370	+55.422	-74.894	+323.270
	2	+52.835	-202.174	+42.288	-52.835	+222.374
	3	+23.816	-67.045	+33.901	-23.816	+73.995
	4	+61.116	-268.900	+25.099	-61.116	+298.800
